

การพัฒนาอุปกรณ์ตรวจวิเคราะห์บนกระดาษสำหรับการตรวจวัดครีเอทินิน
ในปีสภาวะด้วยหลักการเอนไซม์

นางสาวขวัญฤทัย ตาละลักษณ์



จุฬาลงกรณ์มหาวิทยาลัย
CHULALONGKORN UNIVERSITY

บทคัดย่อและแฟ้มข้อมูลฉบับเต็มของวิทยานิพนธ์ตั้งแต่ปีการศึกษา 2554 ที่ให้บริการในคลังปัญญาจุฬาฯ (CUIR)

เป็นแฟ้มข้อมูลของนิสิตเจ้าของวิทยานิพนธ์ ที่ส่งผ่านทางบัณฑิตวิทยาลัย

The abstract and full text of theses from the academic year 2011 in Chulalongkorn University Intellectual Repository (CUIR)

วิทยานิพนธ์นี้เป็นส่วนหนึ่งของการศึกษาตามหลักสูตรปริญญาวิทยาศาสตรมหาบัณฑิต

สาขาวิชาชีวเคมีคลินิกและอนุทางกรแพทย์ ภาควิชาเคมีคลินิก
are the thesis authors' files submitted through the University Graduate School.

คณะสหเวชศาสตร์ จุฬาลงกรณ์มหาวิทยาลัย

ปีการศึกษา 2557

ลิขสิทธิ์ของจุฬาลงกรณ์มหาวิทยาลัย

DEVELOPMENT OF AN ENZYMATIC PAPER-BASED ANALYTICAL DEVICE FOR
THE DETERMINATION OF URINE CREATININE

Miss Kwanrutai Talalak



จุฬาลงกรณ์มหาวิทยาลัย

A Thesis Submitted in Partial Fulfillment of the Requirements
for the Degree of Master of Science Program in Clinical Biochemistry and Molecular
Medicine

Department of Clinical Chemistry

Faculty of Allied Health Sciences

Chulalongkorn University

Academic Year 2014

Copyright of Chulalongkorn University

หัวข้อวิทยานิพนธ์

การพัฒนาอุปกรณ์ตรวจวิเคราะห์บนกระดาษสำหรับการ

ตรวจวัดครีเอทินินในปัสสาวะด้วยหลักการเอนไซม์

โดย

นางสาวขวัญฤทัย ตาละลักษณ์

สาขาวิชา

ชีวเคมีคลินิกและอณูทางการแพทย์

อาจารย์ที่ปรึกษาวิทยานิพนธ์หลัก

ผู้ช่วยศาสตราจารย์ ดร. วนิดา หลายวัฒนไพศาล

คณะสหเวชศาสตร์ จุฬาลงกรณ์มหาวิทยาลัย อนุมัติให้หัวข้อวิทยานิพนธ์ฉบับนี้เป็นส่วนหนึ่ง
ของการศึกษาตามหลักสูตรปริญญาวิทยาศาสตรบัณฑิต

.....คณบดีคณะสหเวชศาสตร์

(รองศาสตราจารย์ ดร. ประวิตร เจนวรรณะกุล)

คณะกรรมการสอบวิทยานิพนธ์

.....ประธานกรรมการ

(รองศาสตราจารย์ ดร. รัชนา ศานติยานนท์)

.....อาจารย์ที่ปรึกษาวิทยานิพนธ์หลัก

(ผู้ช่วยศาสตราจารย์ ดร. วนิดา หลายวัฒนไพศาล)

.....กรรมการ

(ผู้ช่วยศาสตราจารย์ ดร. เทวิน เทนคำเนา)

.....กรรมการภายนอกมหาวิทยาลัย

(รองศาสตราจารย์ ดร. ปรินทร์ ชัยวิสุทธิทางกูร)

ขวัญฤทัย ตาละลักษณ์ : การพัฒนาอุปกรณ์ตรวจวิเคราะห์บนกระดาษสำหรับการตรวจวัดครีเอตินินในปัสสาวะด้วยหลักการเอนไซม์ (DEVELOPMENT OF AN ENZYMATIC PAPER-BASED ANALYTICAL DEVICE FOR THE DETERMINATION OF URINE CREATININE) อ.ที่ปริกษาวิทยานิพนธ์หลัก: ผศ. ดร. วนิตา หลายวัฒน์ไพศาล, 123 หน้า.

ครีเอตินินเป็นตัวบ่งชี้หนึ่งที่ถูกใช้ในการประเมินสมรรถภาพการทำงานของไต งานวิจัยนี้พัฒนาอุปกรณ์การตรวจวิเคราะห์บนกระดาษสำหรับตรวจวัดครีเอตินินในปัสสาวะด้วยหลักการเอนไซม์ที่มีราคาถูก หรือเรียกว่า enz-PAD โดยใช้ปริมาตรน้ำยาที่เหลือจากตลับน้ำยาสำเร็จรูปของเครื่องวิเคราะห์อัตโนมัติในห้องปฏิบัติการทางคลินิกมาสร้าง enz-PAD บนกระดาษ Whatman No.3 ที่มีขนาด 4 x 40 มิลลิเมตรและมีบริเวณในการดูดซับน้ำยา 2 ชนิดแยกส่วนกัน การตรวจวัดครีเอตินินในปัสสาวะทดสอบโดยจุ่ม enz-PAD ลงในหลุมที่มีตัวอย่างตรวจ เพื่อให้ครีเอตินินในตัวอย่างตรวจเคลื่อนที่ด้วยแรงแคปิลลารีของกระดาษมาทำปฏิกิริยากับน้ำยาที่ถูกดูดซับไว้ แล้วเกิดเป็นสารประกอบเชิงซ้อนที่มีสีสะสมอยู่ที่บริเวณตรวจวัดสีที่เกิดขึ้น เกิดจากปฏิกิริยาของเอนไซม์ครีเอตินินเนส เอนไซม์ครีเอตินเนส และเอนไซม์ซาโคซินออกซิเดสที่เปลี่ยนครีเอตินินในตัวอย่างตรวจเป็น H_2O_2 ซึ่งสามารถทำปฏิกิริยากับ 4-aminophenazone และ 2,4,6-triiodo-3-hydroxybenzoic acid โดยมีเอนไซม์เปอร์ออกซิเดสเป็นตัวเร่งปฏิกิริยาเกิดสารประกอบเชิงซ้อนสีชมพูของ quinoneimine บนพื้นที่สำหรับตรวจวัด การตรวจวัดครีเอตินินด้วย enz-PAD ที่พัฒนาขึ้น มีช่วงความเป็นเส้นตรง $2.5 - 25 \text{ mg dL}^{-1}$ ($r^2 = 0.983$) และความสามารถในการตรวจวัดต่ำสุดเท่ากับ 1.9 mg dL^{-1} เมื่อทำการตรวจวัดครีเอตินินในปัสสาวะที่ผ่านการเจือจางแล้วด้วย enz-PAD เปรียบเทียบกับวิธีที่ใช้ในห้องปฏิบัติการทางการแพทย์ทั้ง 2 วิธีคือ วิธีอัลคาไลน์พีเคเทแบบโคเนติก พบว่ามีความสัมพันธ์เชิงเส้น (r^2) เท่ากับ 0.977 และไม่มีความแตกต่างกันอย่างมีนัยสำคัญทางสถิติ ($p = 0.606$, paired sample t-test, $n = 40$) และวิธีเอนไซม์มีความสัมพันธ์เชิงเส้น (r^2) เท่ากับ 0.911 และไม่มีความแตกต่างกันอย่างมีนัยสำคัญทางสถิติ ($p = 0.858$, paired sample t-test, $n = 50$) ดังนั้นอุปกรณ์ตรวจวัดบนกระดาษที่พัฒนาขึ้นถือเป็นวิธีทางเลือกใหม่สำหรับตรวจกรองปริมาณครีเอตินินในปัสสาวะ เนื่องจากใช้งานง่าย ราคาถูก อีกทั้งยังมีประโยชน์อย่างมากสำหรับการใช้งานในประเทศกำลังพัฒนา

ภาควิชา เคมีคลินิก ลายมือชื่อนิสิต

สาขาวิชา ชีวเคมีคลินิกและอณูทางการแพทย์ ลายมือชื่อ อ.ที่ปรึกษาหลัก

ปีการศึกษา 2557

5576667037 : MAJOR CLINICAL BIOCHEMISTRY AND MOLECULAR MEDICINE

KEYWORDS: LAB-ON-PAPER / PAPER-BASED ANALYTICAL DEVICES / DEAD-VOLUME REAGENT / ENZYMATIC ASSAY / URINE CREATININE / LOW-COST DIAGNOSTIC

KWANRUTAI TALALAK: DEVELOPMENT OF AN ENZYMATIC PAPER-BASED ANALYTICAL DEVICE FOR THE DETERMINATION OF URINE CREATININE. ADVISOR: ASST. PROF. WANIDA LAIWATTANAPAISAL, 123 pp.

Creatinine is one of many markers used to investigate kidney function. This paper describes a low-cost enzymatic paper-based analytical device (enz-PAD) for determining urine creatinine. The disposable dead volumes of creatinine enzyme reagents from an automatic analyser cassette were utilised. Whatman No. 3 paper was cut into long rectangular shapes (4x40 mm) on which the enzyme reagents, R1 and R2, were adsorbed in two consecutive regions. The assay was performed by immersing test strips into urine samples contained in microwells to allow the creatinine in the sample to react with the immobilised active ingredients and, then, traverse via capillary action to the detection area where the chromogen products accumulated. The method is based on hydrogen peroxide (H_2O_2) formation via creatinine conversion using creatininase, creatinase, and sarcosine oxidase. The liberated H_2O_2 reacts with 4-aminophenazone and 2,4,6-triiodo-3-hydroxybenzoic acid to form quinoneimine with a pink-red colour at the detection zone. The linear range of the creatinine assay was 2.5 - 25 mg dL⁻¹ ($r^2 = 0.983$), and the detection limit was 1.9 mg dL⁻¹. The colorimetric enz-PADs for the creatinine assay were highly correlated and were not significantly different with the conventional kinetic alkaline picrate method ($r^2 = 0.977$; $p = 0.606$, paired sample t-test, $n = 40$) and enzymatic method ($r^2 = 0.911$; $p = 0.858$, paired sample t-test, $n = 50$) when real urine samples were evaluated. This simple and nearly zero-cost paper-based device provides a novel alternative method for screen for urinary creatinine.

Department: Clinical Chemistry Student's Signature

Field of Study: Clinical Biochemistry and Advisor's Signature

Molecular Medicine

Academic Year: 2014

กิตติกรรมประกาศ

วิทยานิพนธ์ฉบับนี้สำเร็จได้ด้วยความกรุณาของ ผู้ช่วยศาสตราจารย์ ดร.วนิดา หลายวัฒน์ไพศาล อาจารย์ที่ปรึกษาวิทยานิพนธ์ ซึ่งเป็นผู้ให้คำปรึกษาชี้แนะแนวทางในการแก้ปัญหา และแก้ไขข้อผิดพลาดต่างๆ ที่เกิดขึ้นในการทำงานวิจัย ตลอดจนติดตามความก้าวหน้าในการดำเนินการวิจัย ทั้งยังให้ความช่วยเหลือสนับสนุนในทุกๆ ด้าน จนกระทั่งงานวิจัยนี้สำเร็จ ลุล่วงไปได้ด้วยดี

กราบขอบพระคุณ รองศาสตราจารย์ ดร.รัชนา ศานติยานนท์ ประธานกรรมการในการสอบป้องกันวิทยานิพนธ์ ผู้ช่วยศาสตราจารย์ ดร.เทวิน เทนคำเนา กรรมการในการสอบป้องกันวิทยานิพนธ์ และ รองศาสตราจารย์ ดร.ปรินทร์ ชัยวิสุทธางกูร กรรมการสอบวิทยานิพนธ์ ภายนอกมหาวิทยาลัยที่กรุณาสละเวลามาเป็นกรรมการในการสอบวิทยานิพนธ์ในครั้งนี้

ขอขอบพระคุณคณาจารย์ในภาควิชาเคมีคลินิกที่คอยสั่งสอน ให้ความรู้และให้คำแนะนำในการทำงานวิจัย

ขอขอบคุณบุคลากรทุกท่านในคณะสหเวชศาสตร์ จุฬาลงกรณ์มหาวิทยาลัย ที่กรุณาให้ความสะดวกในด้านสถานที่ อุปกรณ์ และสารเคมีบางส่วนในการศึกษาวิจัย

ขอขอบพระคุณ นางสาวสริน แสงศักดิ์ และเจ้าหน้าที่ห้องปฏิบัติการโรงพยาบาล พญาไท 1 ที่เอื้อเฟื้อน้ำยาสำเร็จรูป Creatinine plus ver.2 ที่เหลือในตลับน้ำยาจากการตรวจวัดด้วยเครื่องวิเคราะห์อัตโนมัติ และขอขอบคุณอาสาสมัครที่เอื้อเฟื้อตัวอย่างปัสสาวะทั้งหมด 90 ตัวอย่าง เพื่อนำมาใช้ในงานวิจัยนี้

ขอขอบคุณเงินทุน 90 ปี จุฬาลงกรณ์มหาวิทยาลัย กองทุนรัชดาภิเษกสมโภช รุ่นที่ 25 ครั้งที่ 3/2556 (เลขที่ GCUGR11255725106M) และทุนอุดหนุนการศึกษา ระดับบัณฑิตศึกษา จากคณะสหเวชศาสตร์ จุฬาลงกรณ์มหาวิทยาลัย เงินทุนสำหรับนิสิตระดับปริญญาโทไปนำเสนอผลงานวิชาการในต่างประเทศ จากบัณฑิตศึกษา จุฬาลงกรณ์มหาวิทยาลัย และได้รับการสนับสนุนเงินทุนวิจัยบางส่วนจากทุนเมธีวิจัยอาวุโส สกว. ของศาสตราจารย์ ดร.อรรณพ ชัยลภากุล คณะวิทยาศาสตร์จุฬาลงกรณ์มหาวิทยาลัย

ขอบคุณ พี่ น้อง สาขาวิชาชีวเคมีคลินิกและอนุทางการแพทย์ โดยเฉพาะนางสาว จุฬาลักษณ์ น้อยพ่วง และนางสาวเต็มศิริ ทรงเจริญ ที่คอยให้กำลังใจและให้ความช่วยเหลือมาโดยตลอด สุดท้ายนี้ กราบขอบพระคุณ คุณพ่อ คุณแม่ ที่ให้ทุกสิ่งทุกอย่างกับผู้วิจัย

สารบัญ

	หน้า
บทคัดย่อภาษาไทย.....	ง
บทคัดย่อภาษาอังกฤษ.....	จ
กิตติกรรมประกาศ.....	ฉ
สารบัญ.....	ช
สารบัญรูปภาพ.....	ฅ
สารบัญตาราง.....	ฉ
บทที่ 1 บทนำ.....	1
1.1 ความเป็นมาและความสำคัญของปัญหา.....	1
1.4 ประโยชน์ที่คาดว่าจะได้รับ.....	5
1.5 ลำดับขั้นตอนในการเสนอผลการวิจัย.....	5
บทที่ 2 เอกสารและงานวิจัยที่เกี่ยวข้อง.....	6
2.1 ไตและหน้าที่ของไต.....	6
2.2 ครีเอทีน (creatinine).....	7
2.3 ครีเอทีนิน (creatinine) และประโยชน์ของการตรวจวัด.....	9
2.4 วิธีการตรวจวัดหาปริมาณครีเอทีนิน.....	11
2.4.1 วิธี alkaline picrate Jaffé reaction หรือ modified Jaffé reaction (kinetic assay).....	11
2.4.2 วิธีเอนไซม์ (enzymatic method).....	12
2.4.3 การตรวจหาปริมาณครีเอทีนินด้วยวิธีอื่นๆ.....	17
2.5 กระดาศและประโยชน์ของกระดาศ.....	20
2.5.1 วิธีการสร้างขอบเขตบนกระดาศ.....	21
2.5.2 ตัวอย่างเทคนิคในการตรวจวัดบนกระดาศ.....	26
บทที่ 3 วิธีการดำเนินการวิจัย.....	28

1. ประชากรที่ใช้ในการวิจัย.....	28
2. เครื่องมือและอุปกรณ์ที่ใช้ในการวิจัย.....	28
3 วิธีการดำเนินการวิจัย.....	33
3.1 ทดสอบความสามารถในการเกิดปฏิกิริยาของน้ำยา Creatinine plus ver.2 ใน หลอด ทดลองและบนกระดาษ.....	33
3.1.1 ทดสอบปฏิกิริยาของน้ำยาในหลอดทดลอง โดยทดสอบความไวในการเกิดสี ของน้ำยา โดยการวัด OD ที่ 552/659.....	36
3.1.2 ทดสอบความสามารถและปฏิกิริยาของน้ำยาบนกระดาษกรอง.....	36
3.2 การสร้างอุปกรณ์ตรวจวิเคราะห์บนกระดาษสำหรับการตรวจวัดครีเอตินินด้วย หลักการเอนไซม์.....	37
3.2.1 การออกแบบอุปกรณ์ตรวจวิเคราะห์บนกระดาษสำหรับการตรวจวัดครีเอตินิน นินด้วยหลักการเอนไซม์ ที่เหมาะสมต่อการตรวจวัด.....	37
3.2.2 การศึกษาชนิดของกระดาษกรองที่เหมาะสมต่อการสร้าง enz-PADs.....	38
3.2.3 การศึกษาสีของปฏิกิริยาที่เกิดขึ้นบนพื้นที่ตรวจวัดของ enz-PADs ที่ พัฒนาขึ้น.....	39
3.3 การศึกษาหาปริมาณโปรตีนรวมและการทำงานของเอนไซม์ของน้ำยา Creatinine plus ver.2.....	40
3.3.1 การตรวจหาปริมาณโปรตีนรวมด้วยน้ำยา Bradford (Bradford's reagent) .	41
3.3.2 การตรวจหาการทำงานของเอนไซม์ตัวแทนรวม.....	41
3.3.2.1 การทำงานของเอนไซม์ครีเอทีเนสในน้ำยา R1.....	42
3.3.2.2 การทำงานของเอนไซม์เปอร์ออกซิเดส ในน้ำยา R2.....	43
3.4 การหาสภาวะที่เหมาะสม (optimization) สำหรับการตรวจวัดระดับครีเอตินิน....	44
3.4.1 การศึกษาค่าความเป็นกรด-ด่าง (pH) ที่เหมาะสมของตัวอย่างที่ใช้ในการ ตรวจด้วย enz-PADs.....	44
3.4.2 การศึกษาหาระยะเวลาการอ่านผลที่เหมาะสมของปฏิกิริยาด้วย enz-PADs ...	45

3.5 การศึกษาคุณสมบัติของวิธีที่พัฒนาได้ (Characterisation).....	45
3.5.1 การศึกษาหาช่วงความเป็นเส้นตรง (Linearity range) ในการตรวจวัด.....	45
3.5.2 การศึกษาหาค่าความสามารถในการตรวจหาปริมาณครีเอตินินต่ำสุดที่สามารถตรวจพบได้ (limit of detection: LOD) ด้วย enz-PADs	46
3.5.3 การศึกษาสารรบกวนปฏิกิริยาการตรวจหาปริมาณครีเอตินินด้วย enz-PADs.....	46
3.5.4 การทดสอบหาความแม่นยำ (precision) และความสามารถในการทำซ้ำ (reproducibility) ของ enz-PADs	48
3.5.5 การทดสอบหาความคงตัว (stability) ของ enz-PADs	49
3.5.6 การตรวจวัดปริมาณครีเอตินินในตัวอย่างปัสสาวะเปรียบเทียบกับวิธีที่ใช้โดยทั่วไปในห้องปฏิบัติการทางการแพทย์.....	49
3.5.6.1 การสร้าง หลักการตรวจวัด และการแปลผลการตรวจวัดครีเอตินินด้วย enz-PADs	49
3.5.6.2 การเปรียบเทียบการตรวจวัดครีเอตินินระหว่าง enz-PADs และวิธีอัลคาไลน์พีเคเรทแบบโคเนติก	52
3.5.6.3 การเปรียบเทียบการตรวจวัดครีเอตินินระหว่าง enz-PADs และวิธีเอนไซม์ด้วยเครื่องตรวจวิเคราะห์อัตโนมัติ.....	54
บทที่ 4 ผลการทดลองและวิจารณ์ผลการทดลอง.....	55
1. ผลการทดสอบความสามารถในการเกิดปฏิกิริยาของน้ำยา Creatinine plus ver. 2 ในหลอดทดลองและบนกระดาษ.....	55
1.1 ผลการทดสอบปฏิกิริยาของน้ำยาในหลอดทดลอง โดยทดสอบความไวในการเกิดสีของน้ำยา โดยวัด OD ที่ 552/659.....	55
1.2 ผลการศึกษาการเกิดปฏิกิริยาบนกระดาษกรอง.....	56
2. ผลการศึกษาการสร้างอุปกรณ์ตรวจวิเคราะห์บนกระดาษสำหรับตรวจวัดครีเอตินินด้วยหลักการเอนไซม์.....	59

2.1 ผลการออกแบบ และการสร้าง enz-PADs ที่เหมาะสมต่อการตรวจวัด.....	59
2.2 ผลการศึกษาชนิดของกระดาษกรองที่เหมาะสมต่อการสร้าง enz-PADs	60
2.3 ผลการศึกษาสีของปฏิกิริยาที่เกิดขึ้นบนพื้นที่ตรวจวัดของ enz-PADs ที่พัฒนาขึ้น.....	62
3. ผลการทดสอบหาปริมาณโปรตีนรวมและการทำงานของเอนไซม์ของน้ำยา Creatinine plus ver.2.....	67
3.1 ผลการทดสอบหาปริมาณโปรตีนรวมของน้ำยา Creatinine plus ver.2.....	67
3.2 ผลการทดสอบหาการทำงานของเอนไซม์รวมของน้ำยา Creatinine plus ver.2.....	68
4. ผลการหาสภาวะที่เหมาะสม (optimization) สำหรับการตรวจวัดระดับครีเอตินิน	71
4.1 ผลการศึกษาค่าความเป็นกรด-ด่าง (pH) ที่เหมาะสมของตัวอย่างตรวจที่ใช้ในการตรวจด้วย enz-PADs	71
4.2 ผลการศึกษาระยะเวลาการอ่านผลที่เหมาะสมของปฏิกิริยาด้วย enz-PADs	73
5. ผลการศึกษาคูณสมบัติของวิธีที่พัฒนาได้ (Characterisation).....	74
5.1 ผลการทดสอบหาช่วงความเป็นเส้นตรง (Linearity range) ในการตรวจวัด.....	74
5.2 ผลการทดสอบค่าความสามารถในการตรวจหาปริมาณครีเอตินินต่ำสุดที่สามารถตรวจพบได้ (limit of detection: LOD) ด้วย enz-PADs.....	77
5.3 ผลการทดสอบหาสารรบกวนที่รบกวนการตรวจหาปริมาณครีเอตินินด้วย enz-PADs	79
5.4 ผลการทดสอบหาความแม่นยำ (precision) และความสามารถในการทำซ้ำ (reproducibility) ของ enz-PADs	84
5.5 ผลการทดสอบหาความคงตัว (stability) ของ enz-PADs	90
5.6 ผลการตรวจวัดปริมาณครีเอตินินในตัวอย่างปัสสาวะเปรียบเทียบกับวิธีอัลคาไลน์พิเครทแบบโคเนติก	92
5.7 ผลการตรวจวัดปริมาณครีเอตินินในตัวอย่างปัสสาวะด้วย enz-PADs ที่พัฒนาขึ้นเปรียบเทียบกับวิธีเอนไซม์ด้วยเครื่องตรวจวิเคราะห์อัตโนมัติ.....	96
บทที่ 5 สรุปผลการศึกษาวิจัย	101

สรุปผลการศึกษาวิจัย	101
รายการอ้างอิง	106
ภาคผนวก.....	114
ประวัติผู้เขียนวิทยานิพนธ์	123



จุฬาลงกรณ์มหาวิทยาลัย
CHULALONGKORN UNIVERSITY

สารบัญรูปภาพ

รูปที่ 2.1	แผนภาพกลไกการสังเคราะห์ครีเอทีนและการกลไกการเกิดครีเอทีนิน.....	8
รูปที่ 2.2	แผนภาพการแย่งจับกันระหว่างครีเอทีนินที่ถูกตรึงไว้บน platinum electrode และครีเอทีนินในตัวอย่างตรวจ.....	18
รูปที่ 2.3	ผลการตรวจวัดปริมาณครีเอทีนินด้วย enzyme-based bar-code-style	19
รูปที่ 2.4	แผนภาพการหลักการของ enzyme-based bar-code-style lateral-flow assay ใน การตรวจวัดครีเอทีนินในตัวอย่างตรวจ	19
รูปที่ 2.5	ขั้นตอนการสร้าง μ PADs ด้วยเทคนิคการพิมพ์ด้วยแสงสำหรับตรวจวัดกลูโคสและ โปรตีนในปัสสาวะ.....	22
รูปที่ 2.6	แบบที่ได้จากการพิมพ์ลายด้วย PDMS บนกระดาษ.....	22
รูปที่ 2.7	แบบที่ได้จากการตัดกระดาษเพื่อกำหนดขอบเขตในการเกิดปฏิกิริยา.....	23
รูปที่ 2.8	ขั้นตอนการสร้าง μ PADs โดยหลักการ ink jet printing	23
รูปที่ 2.9	ขั้นตอนการสร้าง μ PADs โดยหลักการ wax printing.....	24
รูปที่ 2.10	ขั้นตอนของเทคนิค wax screen-printing	25
รูปที่ 2.11	ขั้นตอนของเทคนิค wax dipping และชิ้นงานที่ได้	25
รูปที่ 2.12	ขั้นตอนการประกอบกระดาษกรองและกระดาษแยกเลือดด้วยเทคนิค wax dipping และชิ้นงานที่ได้	26
รูปที่ 3.1	แผนภาพแสดงบริเวณต่างๆ บน enz-PADs.....	37
รูปที่ 3.2	ขั้นตอนในการสร้าง enz-PADs สำหรับการตรวจหาปริมาณครีเอทีนินในปัสสาวะ	38
รูปที่ 3.3	ขั้นตอนในการสร้างและใช้งาน enz-PADs สำหรับการตรวจหาปริมาณครีเอทีนิน	39
รูปที่ 3.4	ตัวอย่าง enz-PADs และพื้นที่การตรึงน้ำยา.....	50
รูปที่ 3.5	หลักการทำงานของ enz-PADs ในการตรวจหาปริมาณครีเอทีนินในปัสสาวะ	52
รูปที่ 4.1	กราฟมาตรฐานของปริมาณครีเอทีนินที่ OD 552/659 นาโนเมตร ของน้ำยา Creatinine plus ver.2	56

รูปที่ 4.2 ผลการตรวจวัดปฏิกิริยาการเกิดสีบนกระดาษกรอง (Whatman no.1) เมื่อทำปฏิกิริยากับครีเอทีนในความเข้มข้นต่างๆ.....	57
รูปที่ 4.3 ผลการเตรียมน้ำยาแบบผสมบนกระดาษ และทิ้งไว้ที่อุณหภูมิห้อง	58
รูปที่ 4.4 แผนภาพส่วนประกอบต่างๆ บน enz-PADs	59
รูปที่ 4.5 กราฟแสดงผลการตรวจวัดความแม่นยำในการวัดสีในพื้นที่ตรวจวัด (precision of detections zones)	64
รูปที่ 4.6 กราฟมาตรฐานแสดงความสัมพันธ์ของปริมาณโปรตีนใน bovine serum albumin ที่ OD 595 nm ด้วย bradford's reagent	67
รูปที่ 4.7 กราฟมาตรฐานแสดงความสัมพันธ์ของปริมาณ H_2O_2 ที่ OD 570 nm ด้วย peroxidase activity kit	69
รูปที่ 4.8 ความสัมพันธ์ระหว่างความเข้มของสี (colour intensity) ของปฏิกิริยาบน enz-PADs ที่พัฒนาขึ้นเมื่อค่าความเป็นกรด-ด่างของตัวอย่างตรวจในปฏิกิริยาเปลี่ยนไป (pH)....	72
รูปที่ 4.9 ความสัมพันธ์ระหว่างความเข้มของสี (colour intensity) ของปฏิกิริยาที่พัฒนาขึ้นเมื่อระยะเวลาการรอปฏิกิริยาเปลี่ยนไป (reaction time)	73
รูปที่ 4.10 กราฟแสดงความสัมพันธ์ระหว่างความเข้มข้นของสารมาตรฐานครีเอทีนกับค่าความเข้มของสีที่เพิ่มขึ้น	75
รูปที่ 4.11 กราฟแสดงความสัมพันธ์ระหว่างระยะเวลาในการเก็บและเปอร์เซ็นต์ความคงตัวของ enz-PADs ในระยะเวลา 20 วัน.....	91
รูปที่ 4.12 กราฟแสดงความสัมพันธ์ของปริมาณครีเอทีนที่ตรวจวัดได้โดยวิธีที่พัฒนาขึ้น (enz-PADs) เทียบกับวิธีอัลคาไลน์ฟิเครทแบบโคเนติก.....	93
รูปที่ 4.13 ผลการเปรียบเทียบการตรวจวัดปริมาณครีเอทีนของวิธีที่พัฒนาขึ้นด้วยวิธีอัลคาไลน์ฟิเครทแบบโคเนติก โดยใช้สถิติ Bland and Altman plot และ Passing-bablok regression.....	95
รูปที่ 4.14 กราฟแสดงความสัมพันธ์ของปริมาณครีเอทีนที่ตรวจวัดได้โดยวิธีที่พัฒนาขึ้น (enz-PADs) เทียบกับวิธีเอนไซม์	97
รูปที่ 4.15 ผลการเปรียบเทียบการตรวจวัดปริมาณครีเอทีนของวิธีที่พัฒนาขึ้นด้วยวิธีเอนไซม์ โดยใช้สถิติ Bland and Altman plot และ Passing-bablok regression	100

สารบัญตาราง

ตารางที่ 2.1	ความสัมพันธ์ระหว่างค่า GFR และการดำเนินการของโรคไตในระยะต่างๆ.....	10
ตารางที่ 2.2	ตัวอย่างน้ำยาและสารตั้งต้นที่ใช้ในการตรวจวัดครีเอตินิน.....	14
ตารางที่ 3.1	เครื่องมือที่ใช้ในการวิจัย.....	28
ตารางที่ 3.2	วัสดุและอุปกรณ์ที่ใช้ในงานวิจัย.....	29
ตารางที่ 3.3	น้ำยาและสารเคมีที่ใช้ในงานวิจัย.....	30
ตารางที่ 3.4	รายละเอียดของน้ำยา Creatinine plus ver.2.....	34
ตารางที่ 3.5	ปริมาตรน้ำยาที่ใช้ในการตรวจวัดต่อหนึ่งการทดสอบด้วยเครื่องวิเคราะห์อัตโนมัติ Cobas c501.....	35
ตารางที่ 4.1	ผลการทดสอบของปฏิกิริยาของ enz-PADs ที่สร้างด้วยกระดาษกรอง (Whatman) เบอร์ 1, 3 และเบอร์ 42.....	61
ตารางที่ 4.2	เปรียบเทียบค่าความเข้มสีที่วัดได้ระหว่างการเกิดสีของปฏิกิริยาในส่วนของ detection zone ที่เรียบเนียน และเป็น rocket-like shape.....	62
ตารางที่ 4.3	ผลการทดสอบของปฏิกิริยาในส่วนของ detection zone ที่ถูกตรึงด้วยสารต่างๆ ของ enz-PADs ที่สร้างด้วยกระดาษกรองเบอร์ 3.....	65
ตารางที่ 4.4	ความเข้มสีของพื้นที่ขนาดเล็ก (17.5×22.5 pixels) ติดต่อกันจำนวน 16 ช่อง ซึ่งครอบคลุมพื้นที่ทั้งหมดบน detection zone.....	66
ตารางที่ 4.5	ผลการทดสอบหาปริมาณโปรตีนรวมของน้ำยา Creatinine plus ver.2.....	68
ตารางที่ 4.6	ผลการทดสอบหาการทำงานของเอนไซม์ของน้ำยา Creatinine plus ver.2.....	70
ตารางที่ 4.7	ผลการทดสอบหาค่า limit of detection ของครีเอตินินด้วย enz-PADs.....	77
ตารางที่ 4.8	ผลการทดสอบสารที่อาจมีผลรบกวนต่อปฏิกิริยาการตรวจหาปริมาณครีเอตินิน.....	81
ตารางที่ 4.9	การทดสอบความสามารถในการกำจัดครีเอตินินในตัวอย่างตรวจในบริเวณ R1 ของ enz-PADs.....	83
ตารางที่ 4.10	ผลการทดสอบความแม่นยำภายในวันเดียวกัน (within-day precision) ของ enz-PADs เมื่อทำการทดสอบกับสารมาตรฐานครีเอตินิน ความเข้มข้น 2.....	85

ตารางที่ 4.11 ผลการทดสอบความแม่นยำภายในวันเดียวกัน (within-day precision) ของ enz-PADs เมื่อทำการทดสอบกับตัวอย่างปัสสาวะที่มีค่าครีเอตินิน 3 ความเข้มข้น..	86
ตารางที่ 4.12 ผลการทดสอบความแม่นยำระหว่างวัน (between-day precision) ของ enz-PADs เมื่อทำการทดสอบกับสารมาตรฐานครีเอตินิน 2 ความเข้มข้น.....	87
ตารางที่ 4.13 ผลการทดสอบความแม่นยำระหว่างวัน (between-day precision) ของ enz-PADs เมื่อทำการทดสอบกับตัวอย่างปัสสาวะที่มีค่าครีเอตินิน 3 ความเข้มข้น.....	88
ตารางที่ ก.1 เตรียม phosphate buffer	115
ตารางที่ ก.2 การเตรียม Tris-HCl buffer.....	116
ตารางที่ ก.3 ผลการทดสอบค่าความคงตัว (stability) ของ enz-PAD	117
ตารางที่ ก.4 ผลการตรวจวัดปริมาณครีเอตินินในปัสสาวะเปรียบเทียบระหว่างวิธี Kinetic alkaline picrate method และ Enzymatic paper-based device.....	118
ตารางที่ ก.5 ผลการตรวจวัดปริมาณครีเอตินินในปัสสาวะเปรียบเทียบระหว่างวิธี Colorimetric enzymatic method (automatic analyser) และ Enzymatic paper-based device.....	120

บทที่ 1

บทนำ

1.1 ความเป็นมาและความสำคัญของปัญหา

ปัจจุบัน คนไทยมีการใส่ใจในสุขภาพกันมากขึ้น ทั้งนโยบายต่างๆ ที่รณรงค์ให้มีการรักษาสุขภาพทำให้การตรวจสุขภาพประจำปีหรือการตรวจคัดกรองโรคต่างๆ ขยายตัวเพิ่มขึ้นอย่างเป็นลำดับ ดังนั้นการพัฒนาการตรวจวิเคราะห์หรือชุดตรวจคัดกรองสารต่างๆ จึงเป็นที่น่าสนใจในวงการวิจัยทางการแพทย์เป็นอย่างมาก เพื่ออำนวยความสะดวกให้แก่ผู้ใช้งานและสามารถออกผลการทดสอบได้ทันที ทั้งยังเป็นแนวทางเลือกใหม่ที่สามารถเลือกใช้ทดแทนเทคโนโลยีในปัจจุบันที่มีข้อจำกัดในด้านของการใช้เครื่องมือในการตรวจวิเคราะห์ทางห้องปฏิบัติการทางการแพทย์ที่มีราคาแพง เคลื่อนย้ายได้ยาก เช่นเดียวกับแนวคิดการตรวจและทราบผลได้ทันที หรือทราบผล ณ จุดบริการผู้ป่วย (point of care testing: POCT) เช่น ชุดเครื่องตรวจระดับน้ำตาลในเลือดด้วยตนเองซึ่งไม่จำเป็นต้องใช้เครื่องตรวจวิเคราะห์ขนาดใหญ่หรือเครื่องวิเคราะห์อัตโนมัติที่มีราคาสูงก็สามารถทราบผลการทดสอบได้อย่างรวดเร็ว ขั้นตอนการทดสอบไม่ยุ่งยาก ทั้งยังง่ายในการเคลื่อนย้าย ทำให้สามารถใช้งานภาคสนามได้อีกด้วย จึงสมควรอย่างยิ่งที่จะมีการพัฒนาต่อยอดเทคนิคการตรวจคัดกรองสารทางชีวเคมีในสารน้ำในร่างกายมนุษย์ (เลือด ปัสสาวะ ฯลฯ) ให้สามารถใช้งานได้สะดวก รายงานผลได้อย่างรวดเร็ว ทั้งสามารถใช้อุปกรณ์ในการตรวจวัดที่หาได้ง่าย ราคาไม่แพง ง่ายต่อการเคลื่อนย้าย ไม่เพียงแต่จะเป็นการสร้างทางเลือกใหม่ในการตรวจวิเคราะห์ ทั้งยังช่วยในเรื่องของการลดต้นทุนในการตรวจวิเคราะห์ได้

การตรวจทดสอบสมรรถภาพของไตหรือการคัดกรองผู้ป่วยโรคไตเป็นหนึ่งใน การทดสอบทางห้องปฏิบัติการที่มีการส่งตรวจเป็นลำดับต้นๆ ทำให้มีความน่าสนใจในการพัฒนาวิธีการตรวจคัดกรองผู้ป่วยโรคไตเบื้องต้น เพื่อใช้ประโยชน์ในหน่วยปฏิบัติการสถานพยาบาลเคลื่อนที่และหน่วยพยาบาลขนาดเล็กย่อมได้ ผู้วิจัยเล็งเห็นถึงความสำคัญของการตรวจวัดค่าครีเอตินิน (creatinine) ซึ่งเป็นตัวบ่งชี้ที่ดีในการคัดกรอง วินิจฉัย ประเมินการรักษา และติดตามการรักษาภาวะโรคไตได้เป็นอย่างดี (1) ทั้งในผู้ที่มีโรคประจำตัวอื่นๆ เช่น โรคเบาหวาน ความดันโลหิตสูง ยังสามารถนำไปสู่โรคไตเรื้อรังได้หากรักษาไม่เหมาะสม หรือผู้ที่ได้รับยาบางชนิด นอกจากนี้ค่าครีเอตินินในปัสสาวะยังเป็นตัวบ่งชี้สำหรับ

การเจือจางของปัสสาวะอีกด้วย (2) และในปัจจุบันทางการแพทย์นิยมตรวจหาปริมาณครีเอตินินในปัสสาวะ เพื่อการนำผลการทดสอบที่ได้ไปแปลผลร่วมกับผลการทดสอบอื่นๆ สำหรับเป็นค่าที่นำมาใช้ในการ normalized (3) ค่าสัดส่วนระหว่างสารบ่งชี้อื่นๆ ในปัสสาวะร่วมกับปริมาณครีเอตินินในปัสสาวะ เช่น ไมโครอัลบูมิน (microalbumin) (4), โปรตีน (protein) (5), ซิสเตติน ซี (cystatin-c) (6), สารประกอบแอลฟา ไดคาร์บอนิล (α -dicarbonyl compounds) (3) และบิสฟีนอล เอ (bisphenol A: BPA) (7) เป็นต้น ดังนั้น ผู้วิจัยจึงสนใจที่พัฒนาชุดตรวจวิเคราะห์ปริมาณครีเอตินินขึ้น เพื่อประโยชน์ในการคัดกรอง วินิจฉัย ประเมินการรักษา ติดตามการรักษาภาวะโรคไต และประโยชน์อื่นๆ ต่อไป โดยเน้นพัฒนาให้สามารถใช้ได้ในรูปแบบ POCT

การตรวจวัดปริมาณครีเอตินินในปัสสาวะนั้นมีหลายวิธีในการตรวจวัด โดยหลักการที่นิยมใช้ในปัจจุบัน (8) คือ หลักการของแจฟฟี (alkaline picrate Jaffé reaction) (9) และเอนไซม์ (enzymatic method) (10) ซึ่งทั้งสองหลักการก็มีทั้งข้อดีและข้อจำกัดที่แตกต่างกันออกไป โดยหลักการ alkaline picrate การเตรียมน้ำยา มีหลายขั้นตอน ทั้งยังมีสารรบกวนอื่นๆ ที่ไม่ใช่ครีเอตินินสามารถเกิดปฏิกิริยาได้ เช่น วิตามินซี (ascorbic acid) โปรตีน กลูตาไทโอน (glutathione) ไพรูเวท (pyruvate) (11, 12) กลูโคส (glucose) (13) อัลบูมิน (14) ซัยโตคีโตน (cytoketone) (15) สารประกอบคาร์บอนิล (16) เป็นต้น แต่ก็มีจุดเด่นในแง่ของต้นทุนที่ถูกลง และง่ายในการตรวจวัด ในขณะที่หลักการตรวจวัดปริมาณครีเอตินินด้วยวิธีเอนไซม์ที่มีจุดเด่นในเรื่องของความจำเพาะในการตรวจวัดหาปริมาณครีเอตินินมากกว่า (17) ทั้งนี้ยังเป็นที่ยอมรับในวงการแพทย์ว่าเป็นวิธีที่แพทย์ให้ความเชื่อถือมากกว่าวิธีของแจฟฟี (18) และผลการตรวจวัดปริมาณครีเอตินินด้วยวิธีทางเอนไซม์ให้ผลการทดสอบค่าที่ใกล้เคียงกับการทดสอบด้วยวิธี isotope-dilution-mass spectrometry (IDMS) ซึ่งเป็นวิธีอ้างอิงมาตรฐานอีกด้วย (10) แต่อย่างไรก็ตาม วิธีการตรวจวัดทางเอนไซม์มีต้นทุนสูง เนื่องจากการใช้น้ำยาหรือเอนไซม์ในการเกิดปฏิกิริยาหลายชนิด และการตรวจวัดทางเอนไซม์นิยมตรวจด้วยเครื่องสเปกโตรโฟโตมิเตอร์ หรือใช้เครื่องวิเคราะห์อัตโนมัติ จำเป็นต้องใช้พื้นที่สำหรับวางหรือติดตั้งเครื่องมือ เมื่อติดตั้งแล้วเคลื่อนย้ายไม่สะดวก ทำให้ไม่เหมาะสมในการตรวจวิเคราะห์ผลแบบใกล้ผู้ป่วย แม้ว่าการตรวจวัดครีเอตินินด้วยหลักการของเอนไซม์จะมีต้นทุนสูง แต่เนื่องจากน้ำยาที่ใช้สำหรับตรวจวัดสารชีวภาพทางห้องปฏิบัติการทางการแพทย์ ที่ใช้เครื่องวิเคราะห์อัตโนมัติ นั้นพบว่า มีน้ำยาปริมาณหนึ่งหลงเหลืออยู่ในตลับน้ำยา (dead volume) โดยทั่วไปมักมีน้ำยาหลงเหลืออยู่ประมาณ 1 – 3 มิลลิลิตรต่อตลับน้ำยา เนื่องจากเป็น

ข้อจำกัดของ reagent probe ของเครื่องวิเคราะห์อัตโนมัติที่ใช้สำหรับดูดย่น้ำยาไม่สามารถดูดย่น้ำยาได้ระดับต่ำไปกว่าตัววัดระยะที่กำหนดไว้ในเครื่องมือชิ้นๆ ได้ (level sensor) และโดยปกติแล้วในห้องปฏิบัติการการแพทย์ทั่วไป จะมี dead volume ของน้ำยาที่เหลือในตลับน้ำยา และถูกทิ้งไปในแต่ละวัน อย่างไรก็ตาม ส่วนประกอบในน้ำยาที่เป็น dead volume นั้นๆ เช่น เอนไซม์ (enzymes) และสารตั้งต้น (substrate) ต่างๆ ยังอยู่ในสภาพที่ใช้งานได้ดี เพราะตลับน้ำยาที่นำมาใช้ยังอยู่ในระบบปิด มีเพียงรูเจาะจากหัวเข็มของ reagent probe เท่านั้น ซึ่งน้ำยาที่เหลือปริมาณน้อยๆ นี้โดยทั่วไปไม่เพียงพอสำหรับนำไปใช้ตรวจวิเคราะห์งานทางห้องปฏิบัติการที่เป็นงานประจำทั่วไป แต่สามารถนำไปใช้ประโยชน์ในงานวิเคราะห์ที่ปริมาณของน้ำยาน้อยๆ เช่น ในระบบของไหลจุลภาค (microfluidic system) ไม่ว่าจะเป็น PDMS microchip หรือ อุปกรณ์ตรวจวิเคราะห์ฐานกระดาษ

อุปกรณ์ฐานกระดาษ (paper-based analytical devices: PADs) ซึ่งเป็นอุปกรณ์การตรวจวัดที่เหมาะสมสำหรับการใช้งานในประเทศกำลังพัฒนาเช่นเดียวกับแนวคิดการตรวจและทราบผลได้ทันที (point of care testing: POCT) ซึ่งอุปกรณ์ฐานกระดาษเป็นอุปกรณ์ที่มีขนาดเล็กที่อาศัยน้ำยาและตัวอย่างในการเกิดปฏิกิริยาปริมาณน้อย (19) น้ำหนักเบา เคลื่อนย้ายได้ง่าย จึงเป็นที่นิยมในการพัฒนาและใช้งานเพื่อการตรวจวิเคราะห์ผลแบบใกล้ผู้ป่วย (POCT devices) ยิ่งไปกว่านั้นการสร้างอุปกรณ์ฐานกระดาษสามารถสร้างได้ง่ายและต้นทุนต่ำ (20) นอกจากนี้ยังทำลายได้ง่ายหลังการใช้งานและเป็นมิตรต่อสิ่งแวดล้อมอีกด้วย

ในงานวิจัยนี้ได้พัฒนาอุปกรณ์วิเคราะห์ฐานกระดาษสำหรับการตรวจหาปริมาณครีเอตินินในปัสสาวะเชิงปริมาณ จากการนำน้ำยาปริมาตรที่เหลือ (dead volume) จากเครื่องวิเคราะห์อัตโนมัติในห้องปฏิบัติการทางเคมีคลินิกมาประยุกต์ใช้ให้สามารถตรวจวัดบนกระดาษได้ ด้วยวิธีการเกิดสีของปฏิกิริยาด้วยเอนไซม์ (enzymatic colorimetric method) ในที่นี้ใช้น้ำยา Creatinine plus ver.2 ของบริษัท Roche diagnostic โดยน้ำยาประกอบไปด้วยกลุ่มของเอนไซม์ 4 ชนิดที่ทำงานร่วมกันตามหลักการของการตรวจวัดปริมาณครีเอตินิน ดังนี้ 1) เอนไซม์ครีเอตินินเนส (creatininase) 2) เอนไซม์ครีเอทีเนส (creatinase) 3) เอนไซม์ซาโคซีนออกซิเดส (sarcosine oxidase) เพื่อใช้ในการเปลี่ยนสารครีเอตินินให้เกิดผลิตภัณฑ์ที่สามารถติดตามปฏิกิริยาหรือตรวจวัดได้ คือไฮโดรเจนเปอร์ออกไซด์ (H_2O_2) (8) ซึ่งการเกิดไฮโดรเจนเปอร์ออกไซด์ในปฏิกิริยาของเอนไซม์นี้จะเป็นส่วนโดยตรงกับความเข้มข้นของปริมาณครีเอตินินในตัวอย่าง ซึ่งไม่สามารถมองเห็นได้

ด้วยตาเปล่าได้ แต่ในน้ำยาสำเร็จรูปมีสาร 2,4,6-triiodo-3-hydroxybenzoic acid (HTIB) และ 4-aminophenazone ซึ่งสามารถทำปฏิกิริยากับไฮโดรเจนเปอร์ออกไซด์โดยมี 4) เอนไซม์เปอร์ออกซิเดส (peroxidase) เป็นตัวเร่งปฏิกิริยา แล้วเกิดสารประกอบ quinone imine chromogen ซึ่งมีสีชมพูเกิดขึ้น ดังนั้นปริมาณของครีเอทีนินในตัวอย่างตรวจจะมีความสัมพันธ์กับความเข้มข้นของสีที่เกิดขึ้นบนกระดาษ การนำน้ำยาสำเร็จรูปที่เหลือใช้ดังกล่าวมาประยุกต์ใช้นี้ ทำให้ลดต้นทุนและค่าใช้จ่ายในการตรวจวิเคราะห์ได้มาก หรือเรียกได้ว่าต้นทุนแทบจะเป็นศูนย์ เพราะค่าใช้จ่ายมีเพียงค่ากระดาษ ซึ่งมีต้นทุนต่ำมากอยู่แล้ว และชุดตรวจครีเอทีนินดังกล่าวมีขนาดเล็ก กระทัดรัด น้ำหนักเบา สามารถพกพาไปใช้ระดับภาคสนามได้ ทำให้เหมาะสำหรับสถานบริการสาธารณสุขที่ห่างไกลได้ ดังนั้นการพัฒนาชุดตรวจในงานวิจัยนี้ จะเหมาะสมและเป็นประโยชน์ต่อประเทศที่กำลังพัฒนาในบางเขตพื้นที่ที่มีจำนวนการทดสอบน้อย ไม่คุ้มค่าในการลงทุนซื้อเครื่องตรวจวิเคราะห์อัตโนมัติ เช่น โรงพยาบาลชุมชน โรงพยาบาลส่งเสริมสุขภาพตำบล หรือสถานพยาบาลเคลื่อนที่ เป็นต้น นอกจากนี้ ยังไม่ต้องใช้เครื่องมือการวัดที่จำเพาะ เช่น สเปกโตรมิเตอร์ เนื่องจากเครื่องมือที่ใช้ในการตรวจวัดหาได้ง่ายและเคลื่อนย้ายสะดวก ได้แก่ เครื่องสแกน (scanner) หรือกล้องดิจิทัลทั่วไป และคอมพิวเตอร์พกพา (laptop) ทั้งยังเป็นอุปกรณ์ฐานกระดาษนำน้ำยาที่เหลือใช้จากเครื่องตรวจวิเคราะห์อัตโนมัติ มาใช้งานให้เกิดประโยชน์สูงสุดอีกด้วย

1.2 วัตถุประสงค์ของงานวิจัย

1. เพื่อพัฒนาอุปกรณ์ตรวจวิเคราะห์บนกระดาษสำหรับการตรวจวัดปริมาณครีเอทีนิน ที่มีต้นทุนต่ำ ด้วยหลักการเอนไซม์
2. เพื่อพัฒนาอุปกรณ์ตรวจวิเคราะห์บนกระดาษที่สามารถตรวจวัดครีเอทีนินในตัวอย่างปัสสาวะเชิงปริมาณได้

1.3 ขอบเขตของงานวิจัย

ขอบเขตงานวิจัยนี้เป็นการพัฒนาอุปกรณ์ตรวจวิเคราะห์บนกระดาษเพื่อตรวจวัดปริมาณครีเอทีนินในปัสสาวะเชิงปริมาณด้วยหลักการเอนไซม์ โดยทำการสร้าง enzymatic paper-based analytical devices (enz-PADs) และใช้น้ำยาปริมาตรที่เหลือจากตลับน้ำยาสำเร็จรูปของเครื่องวิเคราะห์อัตโนมัติ (dead volume) โดยอาศัยหลักการเกิดสีจากปฏิกิริยาเคมีของกลุ่มเอนไซม์ในน้ำยากับครีเอทีนิน ซึ่งความเข้มของสีที่เกิดขึ้นเป็นสัดส่วนกับความเข้มข้นของปริมาณครีเอทีนินในตัวอย่างตรวจ เป้าหมายในการพัฒนาอุปกรณ์ตรวจวิเคราะห์บนกระดาษในครั้งนี้ เพื่อให้สามารถตรวจวัดปริมาณครีเอทีนินในปัสสาวะได้ครอบคลุมทั้งในคนที่ เป็นโรคไตและในคนปกติ

1.4 ประโยชน์ที่คาดว่าจะได้รับ

1. สามารถพัฒนาวิธีการตรวจวัดระดับครีเอทีนินในปัสสาวะได้อย่างมีประสิทธิภาพ มีความไวและความจำเพาะสูง เสียค่าใช้จ่ายต่ำ และนำไปสู่การใช้ตรวจกรองโรค เพื่อป้องกันการเกิดโรคต่างๆ ในระยะยาว
2. สามารถพัฒนาวิธีการตรวจวัดระดับครีเอทีนินในปัสสาวะ ที่สามารถพกพาไปใช้ตรวจวัดได้ในระดับภาคสนาม ทำได้ง่าย และเป็นมิตรต่อสิ่งแวดล้อม
3. สามารถผลิตนวัตกรรมทางการแพทย์ เพื่อใช้ประโยชน์ในการวินิจฉัยหรือป้องกันการเกิดโรคที่ใช้งานได้ง่าย โดยอ่านปฏิกิริยาจากการเกิดสีบนกระดาษ
4. สามารถนำองค์ความรู้ที่ได้ ไปประยุกต์ใช้ในการพัฒนาวิธีการตรวจวัดขนาดเล็ก เช่นระบบ Lab-on-a-chip ที่สามารถพัฒนาเป็นการตรวจวัดแบบ Point-of-care-testing ร่วมกับภาคอุตสาหกรรม เพื่อผลิตผลิตภัณฑ์การตรวจวิเคราะห์โรคใช้เองภายในประเทศ และจะเป็นประโยชน์สูงสุดต่อสุขภาพโดยรวมของประชากรทั้งประเทศ
6. สามารถนำผลงานการวิจัยไปใช้ประโยชน์ได้ เช่น หน่วยงานด้านสาธารณสุขที่เกี่ยวข้องกับโรคไต หรือใช้ในการตรวจร่วมสารอื่นๆ ในปัสสาวะ เช่น โพรตีน กลูโคส เป็นต้น

1.5 ลำดับขั้นตอนในการเสนอผลการวิจัย

1. นำเสนอในที่ประชุมวิชาการระดับนานาชาติ
2. ตีพิมพ์ในวารสารนานาชาติ

บทที่ 2

เอกสารและงานวิจัยที่เกี่ยวข้อง

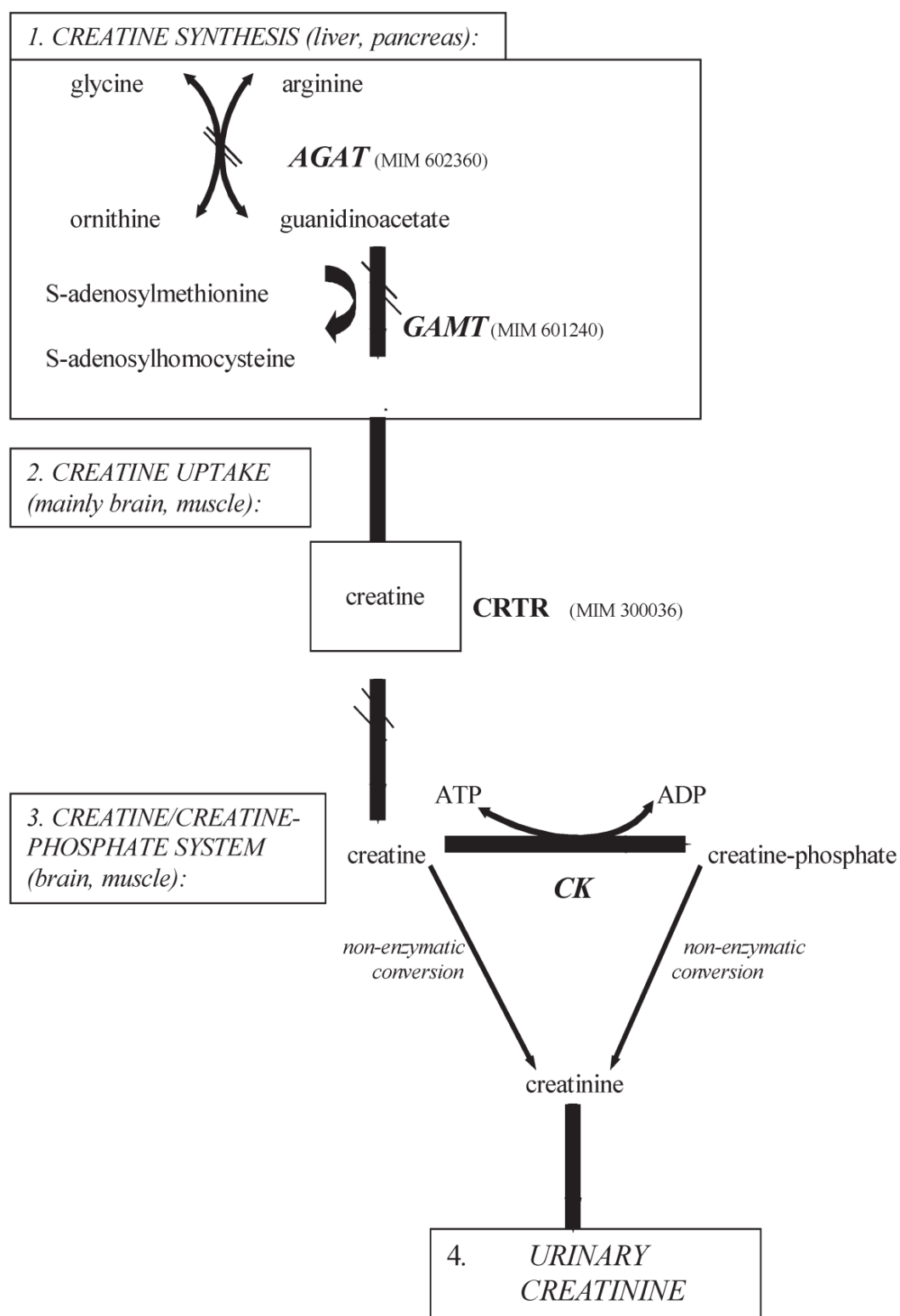
2.1 ไตและหน้าที่ของไต

ไตเป็นอวัยวะที่สำคัญของระบบขับถ่ายของร่างกาย ประกอบไปด้วยหน่วยไต (Nephron) ย่อยเล็ก ๆ จำนวนมาก ไตแต่ละข้างจะมีหน่วยไตประมาณ 1.0 – 1.25 ล้านหน่วย ซึ่งหน่วยไตประกอบด้วย กรวยไต (glomerulus) มีหน้าที่กรองสาร และท่อไต (tubule) ทำหน้าที่ขับถ่าย (secrete) และดูดซึมสารกลับ (reabsorb) (17)

ไตทำหน้าที่หลักที่สำคัญ 3 ประการ ได้แก่ 1) หน้าที่ในการกำจัดของเสียที่เกิดขึ้น โดยกำจัดน้ำส่วนเกิน ของเสียจากกระบวนการเมแทบอลิซึม (metabolism) สารพิษและสารแปลกปลอมผ่านปัสสาวะ ซึ่งจะเก็บรักษาสารที่จำเป็นต่อร่างกายโดยการดูดกลับที่ท่อไต เช่น โพรตีน กรดอะมิโน กลูโคส เป็นต้น 2) ทำหน้าที่ในการปรับสมดุลแร่ธาตุ แร่ด้นออกซิเจนของของเหลว ควบคุมสมดุลน้ำ และความเป็นกรด – ด่างของของเหลวในร่างกาย และ 3) ทำหน้าที่ในการสร้างฮอร์โมน ได้แก่ erythropoietin และ renin (17) ซึ่งของเสียที่เกิดจากกระบวนการเมแทบอลิซึมนั้น ประกอบไปด้วย 1) สารประกอบไนโตรเจน จำพวกโปรตีน (protein nitrogen) และ 2) สารประกอบไนโตรเจนที่ไม่ใช่สารจำพวกโปรตีน (non-protein nitrogen) เป็นส่วนใหญ่ ประกอบไปด้วย ยูเรีย (urea) ประมาณร้อยละ 45 กรดอะมิโน (amino acids) ร้อยละ 25 กรดยูริก (uric acid) ประมาณร้อยละ 15 และอีก ร้อยละ 15 ได้แก่ ครีเอตินิน ครีเอทีน แอมโมเนีย (NH₃) เป็นต้น ซึ่งสารประกอบ ยูเรีย ครีเอตินิน และกรดยูริก มีความสำคัญทางคลินิกเกี่ยวข้องกับโรคไต เพราะเป็นสารไร้ประโยชน์ (waste product) ที่ร่างกายไม่ต้องการ จึงถูกขับออกจากร่างกายโดยไต ดังนั้นเมื่อร่างกายขับสารเหล่านี้ ออกมาในปัสสาวะในปริมาณที่ผิดปกติไป จึงสามารถเป็นตัวบ่งชี้ถึงการทำหน้าที่ขับถ่ายของเสียของไตได้

2.2 ครีเอทีน (creatine)

ครีเอทีนเป็นสารอินทรีย์ที่มีไนโตรเจนเป็นองค์ประกอบ (21) ซึ่งเป็นที่สังเคราะห์ภายในร่างกายจากกรดอะมิโน 2 ชนิด คือ อาร์จินีน (arginine) และไกลซีน (glycine) ที่ได้จากการสลายตัวของโปรตีน กรดอะมิโนทั้งสองจะทำปฏิกิริยากันภายในไต ตับ เยื่อบุลำไส้เล็ก และตับอ่อน (17) โดยมีเอนไซม์ arginine:glycine amidinotransferase เป็นตัวเร่งปฏิกิริยา ได้เป็น guanidinoacetate ซึ่งจะถูกขนส่งไปยังตับ แล้วถูกเมทิลเลท (methylate) ด้วยหมู่เมทิล (methyl group: $-CH_3$) ที่ได้จากสารเมทไธโอนีน (methionine) เป็นครีเอทีนผ่านเข้าสู่กระแสเลือดและกระจายอยู่ในเซลล์กล้ามเนื้อเป็นส่วนใหญ่ และสมอง แล้วจะถูกฟอสฟอริเลท (phosphorylate) เป็นครีเอทีนฟอสเฟต (creatine phosphate) ด้วยเอนไซม์ creatine kinase ซึ่งครีเอทีนฟอสเฟตเป็นสารพลังงานสูงหรือเป็นแหล่งพลังงาน (source of energy) ให้กับกล้ามเนื้อ และพลังงานแก่สมอง (17, 21) ดังแสดงในรูปที่ 2.1 ในแต่ละวันครีเอทีนฟอสเฟตจะถูกเปลี่ยนจากเป็นครีเอทีนโดยปฏิกิริยาแบบทางเดียว (irreversible) ซึ่งเกิดขึ้นเองอย่างสม่ำเสมอ เพื่อปล่อยพลังงานออกมาใช้เกี่ยวกับการยืดหรือหดตัวของกล้ามเนื้อ ครีเอทีนสามารถพบได้ในปัสสาวะในเพศชาย 0 – 40 มิลลิกรัมต่อวัน ในขณะที่เพศหญิงพบได้ 0 – 80 มิลลิกรัมต่อวัน และเนื่องจากคนปกติปัสสาวะจะถูกขับออกมาปริมาณ 1 – 2 ลิตร (17) ดังนั้นอาจกล่าวได้ว่า ในสภาวะการขับปัสสาวะ 1.5 ลิตรต่อวัน (22) ในเพศชายจะพบ ครีเอทีนในปัสสาวะประมาณ 0 - 2.7 มิลลิกรัมต่อเดซิลิตร และในเพศหญิงจะพบครีเอทีนในปัสสาวะประมาณ 0 - 5.3 มิลลิกรัมต่อเดซิลิตร



รูปที่ 2.1 แผนภาพกลไกการสังเคราะห์ครีเอทีนและการกลไกการเกิดครีเอทีนิน (23)

2.3 ครีเอตินิน (creatinine) และประโยชน์ของการตรวจวัด

ครีเอตินินเป็นสารที่เกิดขึ้นตามธรรมชาติในร่างกาย มีแหล่งกำเนิดหลักจากกระบวนการสร้างพลังงานของกล้ามเนื้อหรือการสลายตัวของครีเอติน (24) จากการศึกษาที่ครีเอตินจะถูกฟอสฟอริเลต (phosphorylate) เป็นครีเอตินฟอสเฟต (creatine phosphate) ซึ่งเป็นสารที่มีหน้าที่เป็นแหล่งพลังงาน (source of energy) เกี่ยวกับการยึดหรือหดตัวของกล้ามเนื้อ (17)

ครีเอตินินเป็นตัวบ่งชี้ที่สำคัญตัวหนึ่งในการประเมินประสิทธิภาพในการทำงานของไตได้ในทางห้องปฏิบัติการ (1) เนื่องจากครีเอตินินเป็นผลิตภัณฑ์สุดท้ายหรือของเสียที่เกิดจากกระบวนการเมตาบอลิซึมภายในของครีเอตินที่มีในเซลล์กล้ามเนื้อ โดยครีเอตินินจะถูกสร้างภายในร่างกายในปริมาณที่คงที่ (25, 26) และถูกกำจัดออกจากเลือดโดยผ่านการกรองของหน่วยไต และขับออกมาทางปัสสาวะเกือบทั้งหมดในปริมาณคงที่ประมาณ 1.6– %1.7ต่อวัน (27) เมื่อมีปริมาณครีเอตินินเพิ่มขึ้นในเลือด หรือลดลงในปัสสาวะ ทำให้สามารถประเมินประสิทธิภาพการทำงานของไตได้ครีเอตินินเป็นตัวบ่งชี้ที่ดีในการคัดกรอง วินิจฉัย ประเมินการรักษาและติดตามการรักษาภาวะโรคไตได้เป็นอย่างดี ทั้งยังเป็นตัวบ่งชี้ที่เป็นที่ยอมรับในการติดตามผลกระทบต่อการรักษาของผู้ป่วยที่ฟอกไตอีกด้วย (25) โดยคนปกติจะสามารถตรวจพบครีเอตินินในกระแสเลือดและปัสสาวะได้ประมาณ 1.5 – 0.6 มิลลิกรัมต่อเดซิลิตร และ 20 – 300 มิลลิกรัมต่อเดซิลิตร (mg dL^{-1}) (28) ตามลำดับ ดังนั้นจึงสามารถใช้ปริมาณครีเอตินินประเมินหน้าที่หรือการทำงานของไต (Estimating glomerulus function) ได้ หากผลการตรวจวัดที่ได้ออกมาพบว่าครีเอตินินในกระแสเลือดมีค่าที่สูงหรือในปัสสาวะที่ต่ำผิดปกติแสดงให้เห็นถึงภาวะไตล้มเหลวทั้งเฉียบพลัน (acute kidney failure) และเรื้อรัง (chronic kidney failure) ทางเดินปัสสาวะอุดตัน (urinary tract obstructive) และภาวะพร่องไทรอยด์ฮอร์โมน (hypothyroidism) นอกจากนี้ครีเอตินินยังสามารถใช้เป็นสารมาตรฐานภายใน (internal standard) ในการตรวจวัดสารบ่งชี้วัดทางชีวภาพในปัสสาวะ (urinary biomarker) อื่นๆ เพื่อทำให้เป็นบรรทัดฐานเดียวกัน (normalize) (3) เช่น ค่ากลูโคส โปรตีนในปัสสาวะ เป็นต้น ทั้งยังสามารถใช้เป็นตัวบ่งชี้สำหรับภาวะที่ปัสสาวะถูกเจือจาง อย่างเช่นประโยชน์ในการตรวจหาสารยาได้บในนักกีฬาสารเสพติดในผู้ป่วยได้อีกด้วย (29)

นอกจากนี้แล้ว การตรวจสอบสมรรถภาพการทำงานของไตยังทำได้ด้วยการประเมินอัตราการกรองของไต (Glomerulus filtration rate: GFR) ในหน่วยมิลลิลิตรต่อนาที (mL/min) ซึ่งเป็นการตรวจวัดความสามารถของไตในการกรองสารโดยการเจาะเลือดตรวจหาค่าครีเอตินินในพลาสมา (Plasma creatinine; P_{cr}) ร่วมกับการเก็บปัสสาวะตลอด 24 ชั่วโมง เพื่อหาปริมาณครีเอตินินที่ขับออกมาในปัสสาวะ (U_{cr} และนำปริมาตรปัสสาวะในหนึ่งหน่วยมิลลิลิตรต่อนาที (V) มาใช้ในการคำนวณค่า GFR ดังสูตร (17)

$$GFR = \frac{U_{cr} \times V}{P_{cr}} \quad \text{หรือ} \quad \frac{\text{Creatinine}_{urine} \times \text{Volume}_{urine} \text{ (ml)}}{\text{Creatinine}_{serum} \times [\text{Time (hours)} \times 60]}$$

หากปรับตามพื้นที่ผิวกาย (body surface area) (A) จะมีหน่วยเป็นมิลลิลิตรต่อนาทีต่อ 1.73 ตารางเมตร ดังสูตร (17)

$$GFR = \frac{U_{cr} \times V}{P_{cr} \times 1.73 \times A}$$

โดยผลการคำนวณสามารถแปลผลได้ดังตารางที่ 2.1

ตารางที่ 2.1 ความสัมพันธ์ระหว่างค่า GFR และการดำเนินการของโรคไตในระยะต่างๆ

Glomerular Filtration Rate	Stage	
>90 mL/min/1.73 m ²	0	If no proteinuria/hematuria present, no risk factor.
>90 mL/min/1.73 m ²	1	With proteinuria or hematuria.
60–89 mL/min/1.73 m ²	2	Mild disease with decreased GFR.
30–59 mL/min/1.73 m ²	3	Moderate chronic kidney disease.
15–29 mL/min/1.73 m ²	4	Severe chronic kidney disease.
<15 mL/min/1.73 m ²	5	End-stage renal disease or end-stage renal failure.

ที่มา National Kidney Foundation Guideline (17)

แต่อย่างไรก็ตาม ในการประเมินในปัจจุบันการประเมินอัตราการกรองของไตนิยมใช้การคำนวณด้วยสูตรของ Cockcroft-Gault เนื่องจากการเก็บปัสสาวะ 24 ชั่วโมง เป็นขั้นตอนที่ค่อนข้างยุ่งยาก จึงนิยมคำนวณค่า Creatinine clearance จากปริมาณ serum creatinine ดังสูตร (17)

$$\text{Creatinine clearance} = \frac{(140 - \text{AGE in years}) \times \text{Weight in kg} \times 1.23 \text{ if male (1.04 if female)}}{\text{Serum creatinine } (\mu\text{mol/L})}$$

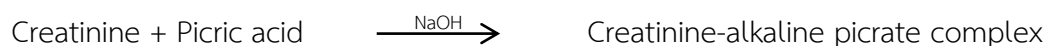
นอกจากสูตรข้างต้นแล้ว ยังมีสูตรอื่นๆ ในการคำนวณอีกมากมาย แต่อย่างไรก็ตาม การหาค่า Creatinine clearance นั้นก็มีข้อจำกัดในเรื่องของการใช้ระยะเวลา (time consuming) ในการเก็บตัวอย่าง ใช้แรงงานมาก (labour intensive) และเป็นวิธีที่ไม่เหมาะสมในทางปฏิบัติในการประเมินผลการทำงานของไตในคนไข้ที่ต้องได้รับการผ่าตัด (22) แต่อย่างไรก็ตามการประเมินประสิทธิภาพการทำงานของไตในปัจจุบัน ยังคงอาศัยใช้ค่า Creatinine clearance กันอย่างแพร่หลาย

2.4 วิธีการตรวจวัดหาปริมาณครีเอตินิน

หลักการในตรวจหาปริมาณครีเอตินินที่นิยมใช้ในปัจจุบัน ได้แก่

2.4.1 วิธี alkaline picrate Jaffé reaction หรือ modified Jaffé reaction (kinetic assay)

เป็นวิธีการตรวจหาปริมาณครีเอตินิน โดยไม่ต้องทำการตกตะกอนโปรตีนก่อน โดยสารครีเอตินินในตัวอย่างตรวจจะทำปฏิกิริยากับกรดพิคริก (picric acid) ในสารละลายที่เป็นด่างแล้วเกิดสารประกอบเชิงซ้อนสีส้มแดง ดังปฏิกิริยา (30)



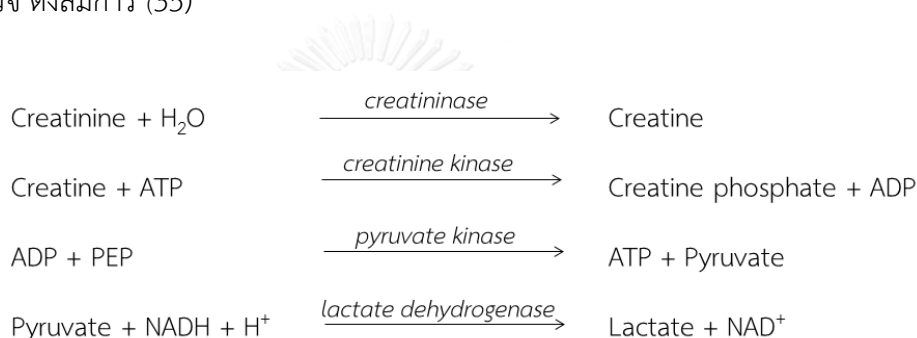
และหาปริมาณครีเอตินินในตัวอย่างจากค่าอัตราการดูดกลืนแสง (absorbance) ที่เพิ่มขึ้นในช่วงเวลาที่กำหนดของสารประกอบเชิงซ้อนของ creatinine-alkaline picrate complex ที่ความยาวคลื่น 490 - 500 นาโนเมตร จำนวน 2 ครั้ง โดยครั้งแรกอ่านค่าเป็น A1 หลังเกิดปฏิกิริยาแล้วเป็นเวลา 20 วินาที ระยะเวลาดังกล่าวเป็นการวัดความเข้มข้นที่เกิดจากสารที่ไม่ใช่ครีเอตินิน ซึ่งจะทำให้ปฏิกิริยาได้อย่างรวดเร็ว (fast reacting pseudo creatinine) และอ่านค่าที่สองเป็น A2 หลังจาก A1 เป็นเวลา 1 นาที จากนั้นใช้ค่าความแตกต่างของการดูดกลืนแสงที่เกิดขึ้น ซึ่งอัตราการดูดกลืนแสงที่เพิ่มขึ้นจะเป็นสัดส่วนโดยตรงกับความเข้มข้นของครีเอตินินในตัวอย่างตรวจ ซึ่งข้อจำกัดของวิธีแจฟฟี คือ การอ่านค่าการดูดกลืนแสง A2 หากอ่านช้ากว่าที่กำหนดจะมีสารรบกวนจำพวกที่ทำให้ปฏิกิริยาช้า (slow reacting pseudo creatinine) หรือสารรบกวนอื่นๆ ที่ไม่ใช่ครีเอตินินสามารถเกิดปฏิกิริยาได้ (non-specific chromogen) เช่น คีโตน กลูโคส (31) โปรตีน (albumin, IgG) (32) วิตามินซี และยาบางชนิด (cephalosporins) ทั้งสารบิลิรูบินปริมาณสูงยังให้ผลการทดสอบที่ผิดพลาดไปในทางค่าต่ำกว่าความเป็นจริงอีกด้วย (17) แต่อย่างไรวิธีแจฟฟี มีข้อดีคือ สามารถใช้น้ำยาสำเร็จรูปที่มีขายทั่วไปในท้องตลาด ที่มีราคาถูก ซึ่งมีขั้นตอนการตรวจวัดที่ไม่ซับซ้อน และสามารถประยุกต์ใช้ตรวจกับเครื่องวิเคราะห์อัตโนมัติได้ (33) ทำให้เป็นที่นิยมใช้ในห้องปฏิบัติการทางการแพทย์

2.4.2 วิธีเอนไซม์ (enzymatic method)

การตรวจหาปริมาณครีเอตินินในตัวอย่างด้วยการทำงานของกลุ่มของเอนไซม์ เพื่อเปลี่ยนครีเอตินินไปเป็นสารอื่นที่สามารถตรวจวัดเพื่อหาปริมาณของครีเอตินินได้ วิธีเอนไซม์ มีจุดเด่นในเรื่องของความจำเพาะในการตรวจวัดหาปริมาณครีเอตินิน (17) ทั้งนี้ยังมีความน่าเชื่อถือมากกว่าวิธีแจฟฟี (18) เนื่องจากสิ่งรบกวนปฏิกิริยาน้อยกว่าของวิธีแจฟฟี (34) สำหรับหลักการตรวจวัดปริมาณครีเอตินินด้วยเอนไซม์ มีดังนี้

2.4.2.1 หลักการตรวจโดยใช้เอนไซม์ครีเอทีนเนส (Creatininase)

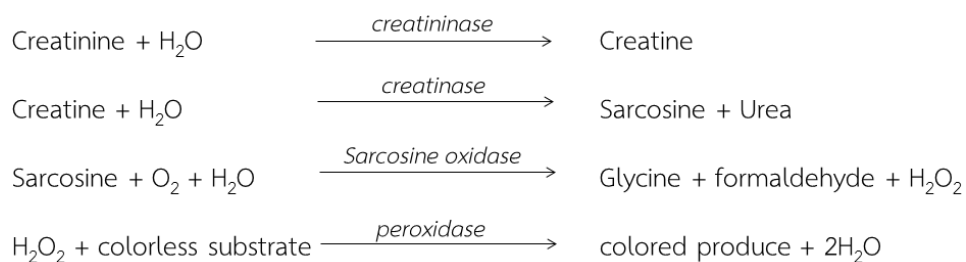
เป็นวิธีการตรวจหาปริมาณของครีเอทีนโดยใช้เอนไซม์ครีเอทีนเนส (Creatininase, Creatinine amidohydrolase; EC 3.5.2.1.0) ในการสลายครีเอทีน และใช้ปฏิกิริยาของเอนไซม์อื่นๆ ร่วมด้วย ได้แก่ ครีเอทีน ไคเนส ไพรูเวทไคเนส และแลคเตทดีไฮโดรจีเนส โดยอาศัยการติดตามปฏิกิริยาของ NADH ที่ลดลง หรือการออกซิเดชันของ NADH ไปเป็น NAD^+ ที่ค่าการดูดกลืนแสงที่ 340 นาโนเมตร (24) ด้วยเครื่องสเปกโตรมิเตอร์ ซึ่งค่าการดูดกลืนแสงที่ได้จะแปรผันตรงกับปริมาณความเข้มข้นของครีเอทีนในตัวอย่าง ตรวจ ดังสมการ (35)



แต่เนื่องจากวิธีการตรวจวัดข้างต้นนี้ อาศัยคุณสมบัติของการออกซิเดชันของ NADH ไปเป็น NAD^+ และอาศัยการวัดค่าการดูดกลืนแสงที่เปลี่ยนไปที่ความยาวคลื่น 340 นาโนเมตร จึงจำเป็นต้องมีเครื่องวัดการดูดกลืนแสงหรือสเปกโตรมิเตอร์ที่สามารถวัดได้ในช่วง UV ปัจจุบันวิธีการตรวจวัดนี้จึงไม่เป็นที่นิยม

2.4.2.2 หลักการตรวจโดยใช้เอนไซม์ครีเอทีนเนสและครีเอทีเนส (Creatininase และ Creatinase)

เป็นวิธีการตรวจหาปริมาณของครีเอทีนโดยใช้เอนไซม์ครีเอทีนเนส (EC 3.5.2.1.0) และครีเอทีเนส (EC 3.5.3.3) ซึ่งอาศัยปฏิกิริยาควคู่กับเอนไซม์ชาโคซิน ออกซิเดส และเปอร์ออกซิเดส และผลิตภัณฑ์สุดท้ายที่ได้ คือ H_2O_2 ที่จะทำปฏิกิริยาต่อไปกับสารตั้งต้น (substrate) แล้วเกิดสีต่อไป โดยความเข้มของสีที่เกิดขึ้นจะมีความสัมพันธ์กับปริมาณครีเอทีนในตัวอย่าง ดังสมการ (35)



จากสมการข้างต้น สามารถหาปริมาณครีเอตินินในตัวอย่างตรวจทางอ้อม โดยตรวจหาสารประกอบสีเชิงซ้อน (colored product) ที่เกิดขึ้นในปฏิกิริยา โดยการวัดค่าการดูดกลืนแสงที่ความยาวคลื่นจำเพาะกับผลิตภัณฑ์ที่เกิดขึ้นนั้นๆ ซึ่งค่าการดูดกลืนแสงที่ตรวจวัดได้จะแปรผันตรงกับปริมาณความเข้มข้นของครีเอตินินในตัวอย่าง การเกิดสารผลิตภัณฑ์ที่มีสี อาศัยการทำงานของเอนไซม์เปอร์ออกซิเดส เพื่อเร่งปฏิกิริยาระหว่าง H_2O_2 และสารตั้งต้นให้เกิดสารประกอบสีเชิงซ้อนที่สามารถตรวจวัดได้ ซึ่งที่ใช้จะขึ้นอยู่กับบริษัทผู้ผลิตที่แตกต่างกันไป ดังตัวอย่างในตารางที่ 2.2

ตารางที่ 2.2 ตัวอย่างน้ำยาและสารตั้งต้นที่ใช้ในการตรวจวัดครีเอตินิน

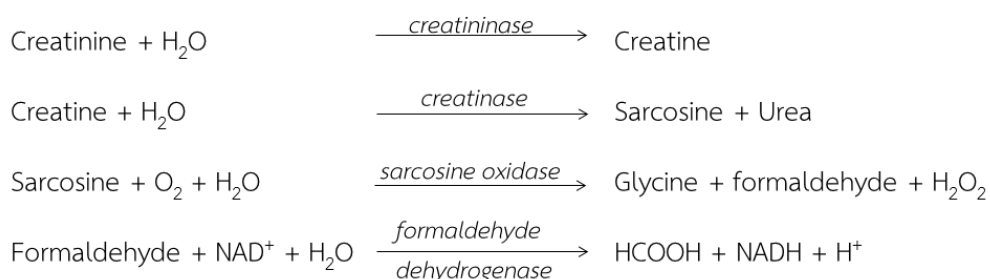
ชื่อน้ำยา (บริษัท)	สารตั้งต้น	ผลิตภัณฑ์	ความยาวคลื่นที่ใช้ตรวจวัด
Creatinine plus ver.2 (Roche)	4-aminophenazone + HTIB*	Quinone imine chromogen	522/659 nm
Creatinine Liquid Reagents Assay (Diazyme)	4-aminoantipyrine + Toos	Quinone dye	550 nm (λ_{max} 556)
CR-E Creatinine (Beckman coulter)	4-aminoantipyrine + ESPMT**	Quinoneimine	560 nm

* 2,4,6-triiodo-3-hydroxybenzoic acid

** N-ethyl-N-(3-sulfopropyl)-3-methylaniline

โดยหลักการข้างต้นมักถูกนำมาใช้กับการตรวจครีเอตินินในลักษณะ POCT โดยตรวจวัดด้วยหลักการทางเคมีไฟฟ้า ชนิดโพลารोगราฟิค (polarographic detection) อย่างไรก็ตาม การใช้เอนไซม์ครีเอตินิเนส และเอนไซม์ครีเอทีเนส ในการหาปริมาณครีเอตินินนี้ พบว่าบิลิรูบินและวิตามินซีมักรบกวนปฏิกิริยา ในน้ำยาตรวจจึงมีการเติมโพแทสเซียมเฮกซะไซยาโนเฟอร์เรต (potassium hexacyanoferrate(II)) หรือเอนไซม์ บิลิรูบินออกซิเดส (bilirubin oxidase) เพื่อในการกำจัดบิลิรูบินที่รบกวนปฏิกิริยา และเติมเอนไซม์แอสคอร์บิกออกซิเดส (ascorbic oxidase) เพื่อใช้ในการกำจัดวิตามินซีในสารตัวอย่างที่ทำการตรวจวัด นอกจากนี้แล้วยังมีการลดการรบกวนจากครีเอตินที่มีอยู่แล้วในตัวอย่าง (endogenous creatine) โดยการบ่มปฏิกิริยาด้วยเอนไซม์ครีเอทีเนส (creatinase) ก่อน เพื่อทำการกำจัดครีเอตินในตัวอย่างตรวจ (36)

นอกจากนี้ด้วยการใช้หลักการของเอนไซม์ครีเอตินิเนส และเอนไซม์ครีเอทีเนสนี้ยังมีการตรวจวัดการรีดักชันของ NAD^+ ด้วยฟอร์มัลดีไฮด์ (formaldehyde) ด้วยเอนไซม์ฟอร์มัลดีไฮด์ดีไฮโดรจีเนส (formaldehyde dehydrogenase) อีกด้วย ดังสมการ (36)

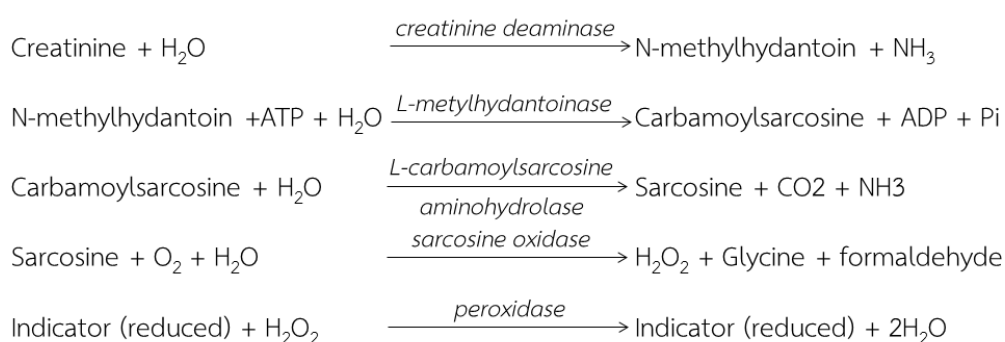


2.4.2.3 หลักการตรวจโดยใช้เอนไซม์ครีเอตินิน ดีอะมิเนส (Creatinine Deaminase, Creatinine iminohydrolase)

เป็นวิธีการตรวจที่ใช้เอนไซม์ครีเอตินิน ดีอะมิเนส (Creatinine Deaminase; EC 3.5.4.21.) ในการย่อยครีเอตินิน เพื่อให้เกิดผลิตภัณฑ์เป็นแอมโมเนีย (NH_3) ดังสมการ (36)



โดยแอมโมเนียที่เกิดขึ้นสามารถถูกวัดปริมาณได้ด้วยวิธี Berthelot reaction หรือ เกิดปฏิกิริยาควบคู่กับเอนไซม์แอล-เมทิลไฮแดนโทอินเนส (L-methylhydantoinase; N-methylhydantoin amidohydrolase) เอนไซม์แอล-คาร์บาโมอิลซาโคซีน อะมิโนไฮโดรเลส (L-carbamoylsarcosine aminohydrolase) ซาโคซีนออกซิเดส และเปอร์ออกซิเดส โดยมี ตัวติดตามปฏิกิริยาที่เปลี่ยนไป เช่น การใช้ bromophenol blue เป็นต้น ปฏิกิริยาการตรวจวัดครีเอตินิน ดังแสดงในสมการต่อไปนี้ (36)



ซึ่งข้อดีของการเพิ่มปฏิกิริยาโดยใช้เอนไซม์แอล-เมทิลไฮแดนโทอินเนส เป็นการหลีกเลี่ยงการตรวจวัดสารแอมโมเนียโดยตรง เนื่องจากแอมโมเนียเป็นสารที่ระเหยง่าย ทำให้เกิดความคาดเคลื่อนในการตรวจวัดได้ นอกจากนี้หลักการข้างต้นครีเอตินที่มีอยู่แล้วในตัวอย่างไม่รบกวนปฏิกิริยาการตรวจวัด (37)

2.4.2.4 หลักการตรวจแบบ dry chemistry

เป็นการตรวจหาปริมาณครีเอตินินด้วยหลักการของเอนไซม์ที่อาศัยปฏิกิริยา เช่นเดียวกับสมการในข้อ 2.4.2.3 โดยมีทั้งการตรวจวัดแอมโมเนียและเอ็น-เมทิลไฮแดนโทอินที่เกิดขึ้นอย่างสัมพันธ์กับปริมาณครีเอตินินในตัวอย่าง สำหรับการติดตามปฏิกิริยาของแอมโมเนียจะอาศัยการซึมผ่านของแอมโมเนียไปทำปฏิกิริยายังแถบตรวจที่มีตัวติดตามปฏิกิริยา คือ bromophenol blue ซึ่งจะเปลี่ยนสีตามความเข้มข้นของครีเอตินิน จากนั้นวัดค่าการดูดกลืนแสงที่เพิ่มขึ้นที่ 600 นาโนเมตร ทั้งนี้แถบตรวจจะมีแถบ blank เพื่อเปรียบเทียบปฏิกิริยา โดยบนแถบ blank จะไม่ถูกตรึงด้วยกลุ่มของเอนไซม์ (36) นอกจากนี้มีการติดตามปฏิกิริยาของเอ็น-เมทิลไฮแดนโทอิน ด้วยการพัฒนาชุดตรวจของบริษัท Roche

diagnostics โดยอาศัยปฏิกิริยาของกลุ่มเอนไซม์ข้างต้น ซึ่งผลิตภัณฑ์สุดท้ายที่เกิดขึ้นคือ H_2O_2 ที่สามารถเปลี่ยนตัวติดตามปฏิกิริยาให้เกิดสีที่เปลี่ยนไป

2.4.3 การตรวจหาปริมาณครีเอตินินด้วยวิธีอื่นๆ

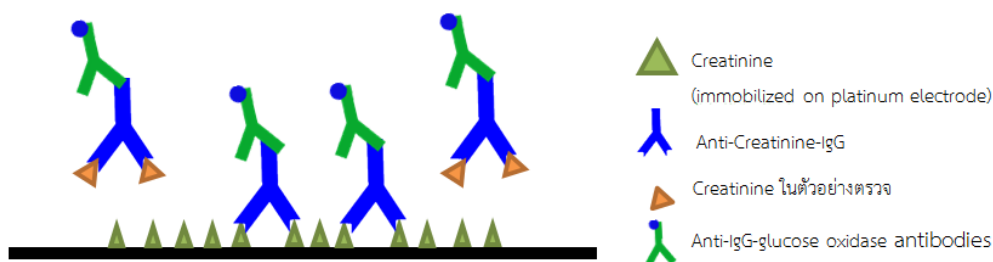
2.4.3.1 วิธีการตรวจวัดโดยใช้เทคนิคทางโครมาโทกราฟี (chromatography)

วิธีการตรวจวัดโดยใช้เทคนิคทางโครมาโทกราฟี เช่น Isotope-dilution mass spectrometry (IDMS) (38) เป็นวิธีอ้างอิงมาตรฐาน (gold standard method) ในการตรวจวัดปริมาณครีเอตินินในตัวอย่างตรวจวัดโดยใช้ creatinine- $^{13}C_2$ เป็นสารมาตรฐานภายในชนิดที่ติดฉลากด้วยคาร์บอนไอโซโทปอะตอม (labeled internal standard) และตรวจด้วยเทคนิค High Performance Liquid Chromatography (HPLC) (39) และ Capillary electrophoresis (40) แต่เทคนิคดังกล่าวก็ยังมีข้อจำกัด เช่น ใช้เวลาในการตรวจวัดนาน ทำให้ทราบผลการทดสอบช้า เครื่องมือที่ใช้มีราคาแพง ทั้งยังต้องมีขั้นตอนในการเตรียมตัวอย่างก่อนการทำการทดสอบและต้องใช้ผู้ที่มีประสบการณ์ หรือความชำนาญในการใช้เครื่องมือดังกล่าวในการตรวจวัดและแปลผลอีกด้วย (41) ดังนั้นหลักการดังกล่าวจึงไม่เหมาะสมในการใช้ในการตรวจในงานประจำในห้องปฏิบัติการ

2.4.3.2 เทคนิคทางเคมีไฟฟ้า (Electrochemical methods)

การตรวจวัดทางเคมีไฟฟ้า เป็นการนำหลักการ Jaffé reaction (40, 42) หรือวิธี alkaline picrate chromogenic assay ซึ่งส่วนใหญ่จะใช้แบบการปรับปรุงต่อจากวิธีแจฟฟีที่วัดแบบไคเนติก (modified kinetic Jaffé reaction) มาประยุกต์ เนื่องจากเป็นวิธีที่ง่ายในการตรวจวัดมีราคาถูก และมีเสถียรภาพ (stable) เหมาะกับการตรวจวัดทางเคมีไฟฟ้า และปัจจุบันนิยมใช้หลักการเอนไซม์ สำหรับตรวจวัดครีเอตินินด้วยหลักการเคมีไฟฟ้าเช่นกัน (11, 12) เนื่องจากวิธีเอนไซม์มีความจำเพาะสูง นอกจากนี้ยังมีการใช้หลักการทางภูมิคุ้มกันวิทยา (immunoassay) หรือการใช้แอนติบอดี แบบแย่งจับ (43) ดังแสดงในรูปที่ 2.2 โดยทำการตรึงครีเอตินินไว้บนอิเล็กโทรดชนิดแพลตินัม (platinum electrode) แล้วทำการบ่มตัวอย่างตรวจร่วมกับ anti-creatinine IgG และ anti-IgG-glucose oxidase ลง

ไปเพื่อให้ครีเอตินินในตัวอย่างกับที่อยู่บนเมมเบรนแย่งกันจับกับ anti-creatinine IgG เมื่อครบเวลาที่กำหนดจึงทำการล้างส่วนที่ไม่มีการจับกับครีเอตินินบนอิเล็กโทรดออกไป จากนั้นเติมกลูโคสลงไป เพื่อให้เกิดปฏิกิริยาทางเคมีกับเอนไซม์กลูโคสออกซิเดส เกิดผลิตภัณฑ์สุดท้ายเป็นไฮโดรเจนเปอร์ออกไซด์ (H_2O_2) ที่สามารถตรวจวัดได้ด้วยสัญญาณทางเคมีไฟฟ้า

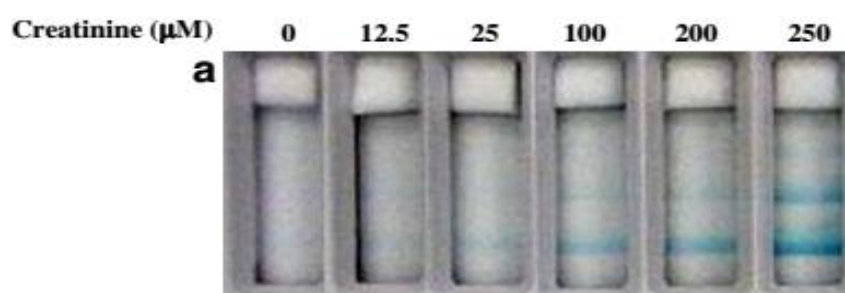


รูปที่ 2.2 แผนภาพการแย่งกันระหว่างครีเอตินินที่ถูกตรึงไว้บน platinum electrode และครีเอตินินในตัวอย่างตรวจ

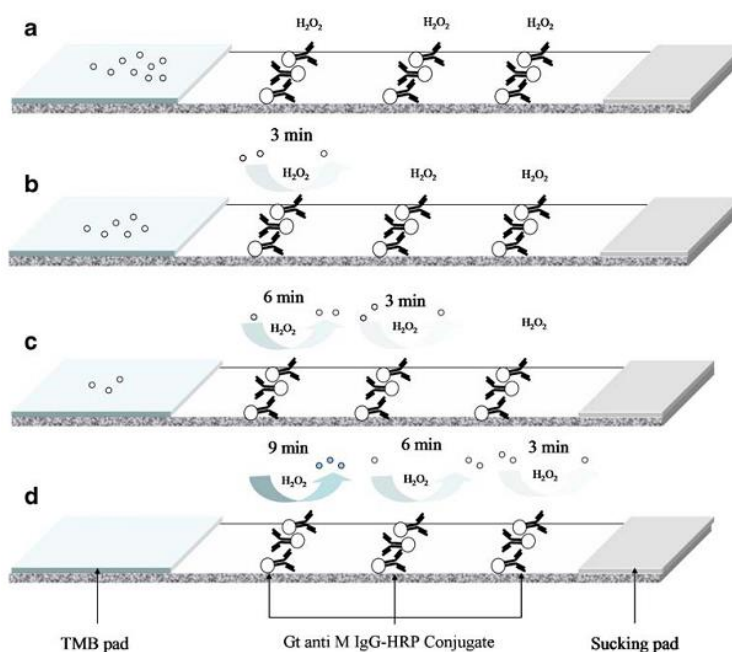
2.4.3.3 การตรวจวัดแบบให้ผลเร็ว (rapid test)

การตรวจวัดปริมาณครีเอตินินด้วยชุดการตรวจวัดที่ให้ผลการทดสอบแบบให้ผลเร็ว มีรายงานในงานวิจัย เช่น enzyme-based bar-code-style lateral-flow assay (44) เป็นการพัฒนาการตรวจหาปริมาณครีเอตินินด้วยการอาศัยการทำงานของเอนไซม์ ได้แก่ เอนไซม์ครีเอตินเนส เอนไซม์ครีเอทีเนสและเอนไซม์ซาโคซีนออกซิเดส จากนั้นครีเอตินินในตัวอย่างที่ถูกเปลี่ยนเกิดเป็น H_2O_2 จากนั้นเติมสารละลายซีเตรทฟอสเฟตบัฟเฟอร์ (citrate phosphate buffer) โดย H_2O_2 ที่เกิดขึ้น และ 3,3',5,5'-tetramethylbenzidine (TMB) ที่ถูกตรึงไว้บน peroxidase substrate pad จะถูกปล่อยออกมาแล้วเคลื่อนที่ไปทำปฏิกิริยากับ Goat anti-mouse IgG-horseradish peroxidase conjugate (Gt anti M IgG-HRP) ที่ถูกตรึงเป็นแถบไว้บนไนโตรเซลลูโลสเมมเบรน (nitrocellulose membrane) แล้วเกิดเป็นสารประกอบสีน้ำเงิน ซึ่ง H_2O_2 ที่เกิดขึ้นจะแปรผันตรงกับสัดส่วนของปริมาณครีเอตินินในตัวอย่าง ดังนั้น แถบสีน้ำเงินที่เกิดขึ้นจะเป็นสัดส่วนโดยตรงกับความเข้มข้นของครีเอตินิน โดยสามารถทำการตรวจวัดปริมาณครีเอตินินได้แบบกึ่งปริมาณ ในช่วง 0 – 400 ไมโครโมลาร์ (μM) ผลการทดสอบสามารถอ่านจากจำนวนแถบที่เกิดขึ้นโดยไม่ต้อง

อาศัยเครื่องมือในการอ่านผลอื่นๆ โดยผลการทดสอบหากขึ้น 1 แถบ หมายถึง มีปริมาณ ครีเอตินินในตัวอย่างน้อยกว่าหรือเท่ากับ 50 ไมโครโมลาร์ ผลการทดสอบให้สี 2 แถบ หมายถึง มีปริมาณครีเอตินินในตัวอย่างระหว่าง 50- 250 ไมโครโมลาร์ และหากผลการทดสอบให้สี 3 แถบ หมายถึง มีปริมาณครีเอตินินในตัวอย่างระหว่าง 250 - 400 ไมโครโมลาร์ และระยะเวลาในการอ่านผลการทดสอบ คือ 19 นาที ตัวอย่างการเกิดแถบสีจากผลการทดสอบ ดังรูปที่ 2.3 และหลักการการของ strip ดังรูปที่ 2.4



รูปที่ 2.3 ผลการตรวจวัดปริมาณครีเอตินินด้วย enzyme-based bar-code-style lateral-flow assay (44)



รูปที่ 2.4 แผนภาพการหลักการของ enzyme-based bar-code-style lateral-flow assay ในการตรวจวัดครีเอตินินในตัวอย่างตรวจ (44)

นอกจากนี้ยังมียังมีการพัฒนาการตรวจวัดครีเอตินินในปัสสาวะด้วยแถบจุ่ม (urine dipstick) ด้วยหลักการรวมตัวกับสี (dye-binding) โดยสารประกอบทองแดง-ครีเอตินิน (copper-creatinine complexes) จะทำปฏิกิริยากับ 3,3',5,5'-tetramethylbenzidine (TMB) และ diisopropyl benzene dihydroperoxide (DBDH) และอาศัยการทำงานของ เอนไซม์เปอร์ออกซิเดส (peroxidase activity) ในการเปลี่ยนสารตั้งต้นแล้วเกิดสารประกอบสี ซึ่งสัมพันธ์กับปริมาณครีเอตินินในตัวอย่าง และสามารถตรวจครีเอตินินได้ในช่วง 100 – 3000 มิลลิกรัมต่อลิตร วิธีนี้มีข้อจำกัดในเรื่องของการรบกวนปฏิกิริยาจากฮีโมโกลบิน แม้จะมีการลดการรบกวนลงด้วยการเติมสาร 4-hydroxy-2-methyl quinolone แต่อย่างไรก็ตามการทดสอบตัวอย่างปัสสาวะที่มีเลือดปน หรือให้ผลบวกกับ dipstick blood test ไม่ควรทดสอบด้วยวิธีที่พัฒนาขึ้นดังกล่าว (45)

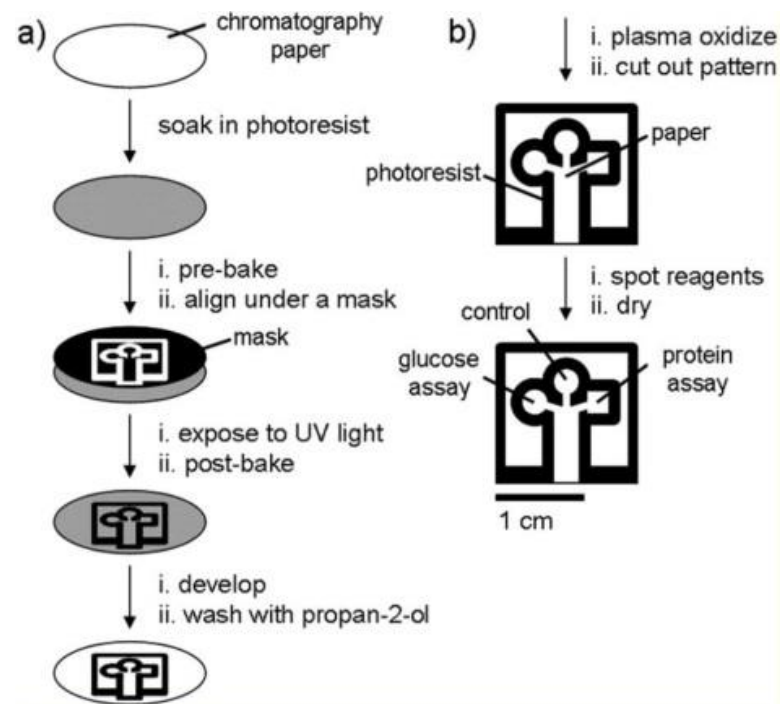
2.5 กระดาษและประโยชน์ของกระดาษ

กระดาษเป็นวัสดุที่ย่อยสลายได้ตามธรรมชาติ หาซื้อได้ทั่วไปและราคาถูก กระดาษถูกนำมาใช้ในชีวิตประจำวัน เช่น การเขียน การวาดภาพ การพิมพ์และการบรรจุภัณฑ์ เป็นต้น นอกจากนั้นแล้วกระดาษก็ยังถูกนำมาใช้งานเกี่ยวกับการวิเคราะห์สารในห้องปฏิบัติการอีกด้วย ในทางห้องปฏิบัติการกระดาษมักถูกใช้ในการกรองสารและงานโครมาโทกราฟี ปัจจุบันกระดาษถูกนำมาใช้อย่างกว้างขวางเพื่อการวิเคราะห์สารเคมีต่างๆ เช่น การวัดสารเคมีเชิงคุณภาพบนกระดาษ การหาปริมาณของสารที่ต้องการทราบบนกระดาษ หรือใช้ในการทำชุดตรวจทราบผลเร็ว (strip and dipsticks) และปัจจุบันในงานวิจัยมีการนำกระดาษมาประยุกต์ใช้เพื่อพัฒนาเครื่องตรวจวัดที่สามารถทราบผลได้ทันทีที่เรียกว่าห้องปฏิบัติการบนกระดาษ (lab-on-paper) หรืออุปกรณ์ตรวจวัดของไหลจุลภาคฐานกระดาษ (microfluidic paper-based analytical devices; μ PADs) ซึ่งเป็นการย่อส่วนห้องปฏิบัติการให้เล็กลง ให้สามารถตรวจวิเคราะห์สารต่างๆ ได้บนกระดาษแผ่นเล็กๆ ได้เนื่องจากกระดาษนั้นมีราคาที่ถูก มีคุณสมบัติในการดูดซับสารละลายจึงทำให้สารละลายสามารถไหลผ่านกระดาษได้โดยแรงแคปิลลารี (capillary action) โดยไม่ต้องอาศัยแรงจากภายนอก (46) นอกจากนี้ กระดาษยังมีขนาดบาง เล็ก สะดวกต่อการเคลื่อนย้าย มีความเข้ากันได้กับสารน้ำในร่างกาย ง่ายต่อการกำจัด เป็นมิตรต่อสิ่งแวดล้อม และสามารถสร้างแบบสำหรับการทดสอบต่างๆ ได้ ง่าย ทั้งยังใช้เป็นวัสดุสำหรับการตรวจวัดสารด้วยหลักการเกิดสีอย่างแพร่หลายอีกด้วย

2.5.1 วิธีการสร้างขอบเขตบนกระดาษ

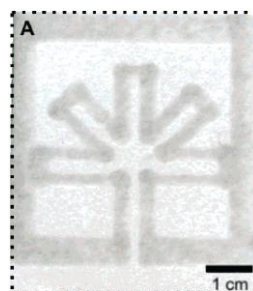
ขอบเขตในการทดสอบปฏิกิริยาของสารต่างๆ บนกระดาษสามารถสร้างได้จากการสร้างแบบให้มีพื้นที่ส่วนที่ชอบน้ำ (hydrophilic) และส่วนไม่ชอบน้ำ (hydrophobic) เพื่อให้ส่วนที่เป็นส่วนที่ชอบน้ำสามารถใช้เป็นพื้นที่ในการเกิดปฏิกิริยาได้ เนื่องจากส่วนนี้จะยอมให้สารละลายเคลื่อนที่หรือไหลไปตามท่อที่สร้างขึ้นบนกระดาษด้วยแรงแคปิลลารีได้ ซึ่งความสามารถในการไหลของสารละลายบนกระดาษนั้น ขึ้นอยู่กับชนิดของกระดาษและความกว้างของท่อส่วนที่ชอบน้ำ ทั้งนี้ยังขึ้นอยู่กับสถานะแวดล้อม เช่น อุณหภูมิ และความชื้นด้วย

(47) เทคนิคการสร้างแบบของชุดทดสอบบนกระดาษ เพื่อสร้างขอบเขตในการทดสอบสารต่าง ๆ ที่พบในได้ปัจจุบัน มีดังนี้ เทคนิคพิมพ์ด้วยแสง (photolithography) (46) การพิมพ์ลายโดยใช้วัสดุพอลิเมอร์ (polydimethylsiloxane; PDMS) (48) การตัดกระดาษ (paper cutting) เพื่อกำหนดขอบเขต (49) การพิมพ์ด้วยหมึกพิมพ์ (ink jet printing) (50) การพิมพ์ด้วยขี้ผึ้ง (wax printing) (51) การสกรีนด้วยขี้ผึ้ง (wax screen-printing) (52) และการจุ่มกระดาษลงในสารละลายขี้ผึ้ง (wax dipping) (53) เพื่อกำหนดขอบเขตของพื้นที่สำหรับปฏิกิริยาที่ต้องการตรวจวัด เป็นต้น โดยเทคนิคการพิมพ์ด้วยแสงเริ่มถูกนำมาใช้สร้างแบบบนกระดาษเมื่อ Whitesides และคณะ (46) ใช้แสงในการพิมพ์ลวดลายบนกระดาษ โดยแช่กระดาษกรองในสารที่มีปฏิกิริยาไวต่อแสงอัลตราไวโอเลต (photoresist) แล้วฉายแสงอัลตราไวโอเลต (UV light) ผ่านแบบฟิล์มใส (transparency film) ที่เป็นแม่แบบ เพื่อทำให้เกิดการกระบวนการเปลี่ยนแปลงสารบนกระดาษให้เป็นโพลีเมอร์ ซึ่งจะได้พื้นที่ส่วนที่ไม่ชอบน้ำเป็นตัวกำหนดขอบเขตในการเกิดปฏิกิริยา และส่วนที่ไม่ถูกฉายแสงจะไม่ถูกเปลี่ยนแปลงเป็นสารโพลีเมอร์บนกระดาษ ทำให้สามารถล้างสารออกได้ เพื่อให้ได้ส่วนที่ชอบน้ำซึ่งเป็นพื้นที่ที่สามารถยอมให้สารละลายผ่านได้สำหรับเกิดปฏิกิริยาต่อไป ดังรูปที่ 2.5



รูปที่ 2.5 ขั้นตอนการสร้าง μ PADs ด้วยเทคนิคการพิมพ์ด้วยแสงสำหรับตรวจวัด กลูโคสและโปรตีนในปัสสาวะ (46)

ต่อมา Bruzewicz และคณะ (48) ได้พัฒนาการพิมพ์ลายบนกระดาษโดยละลาย PDMS ใน เฮกเซน อัตราส่วน 3:1 โดยใช้เครื่องพิมพ์แบบตั้งโต๊ะที่ประยุกต์ขึ้นมา เพื่อสร้างส่วนที่ไม่ชอบ น้ำบนกระดาษ ดังรูปที่ 2.6



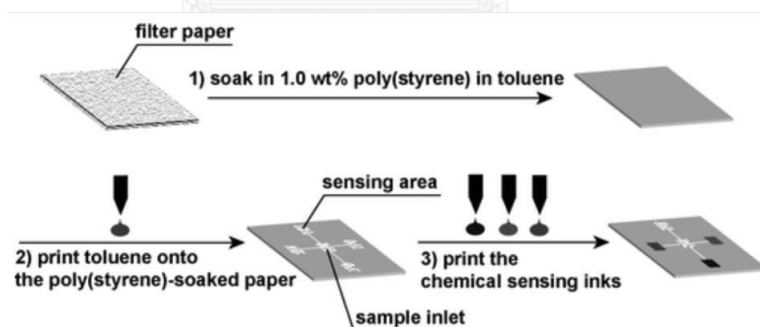
รูปที่ 2.6 แบบที่ได้จากการพิมพ์ลายด้วย PDMS บนกระดาษ (48)

Erin และคณะใช้การตัดกระดาษ เพื่อการกำหนดขอบเขตการเกิดปฏิกิริยาด้วยรูปแบบต่างๆ (49) ดังรูปที่ 2.7



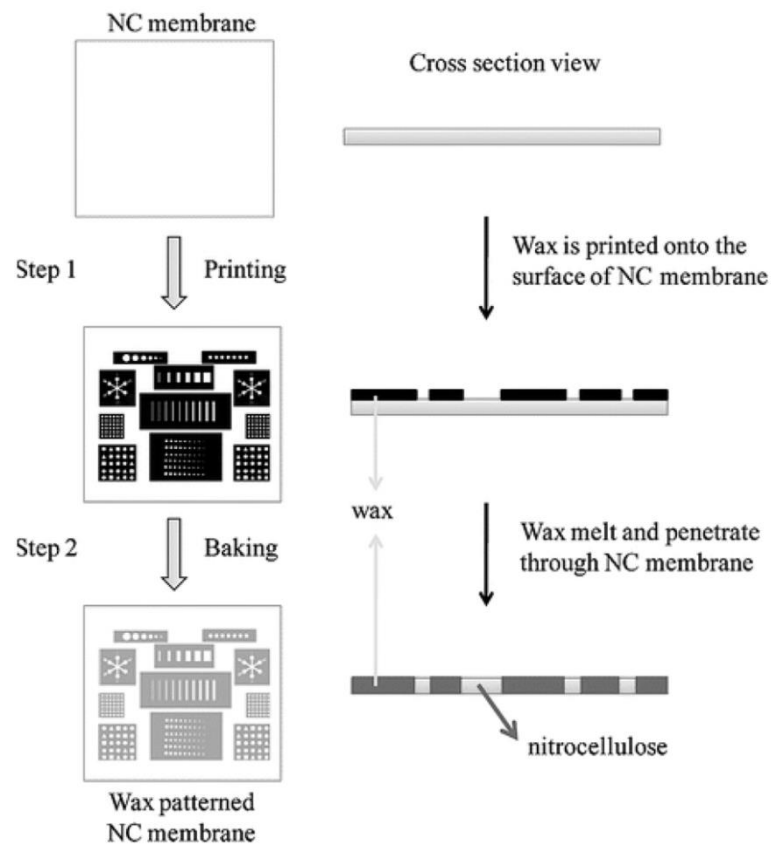
รูปที่ 2.7 แบบที่ได้จากการตัดกระดาษเพื่อกำหนดขอบเขตในการเกิดปฏิกิริยา (49)

Abe และคณะ (50) ใช้วิธีแช่กระดาษกรองด้วยโพลีสไตรีนที่ถูกละลายในโทลูอีน แล้วประยุกต์ใช้เครื่องพิมพ์แบบอิงค์เจตในการพิมพ์ตัวทำละลายหรือโทลูอีนลงบนกระดาษ เพื่อให้ไปละลายส่วนที่เป็นโพลีเมอร์อยู่ ซึ่งจะได้พื้นที่ว่างที่สามารถใช้ในการเกิดปฏิกิริยาต่อไป ดังรูปที่ 2.8



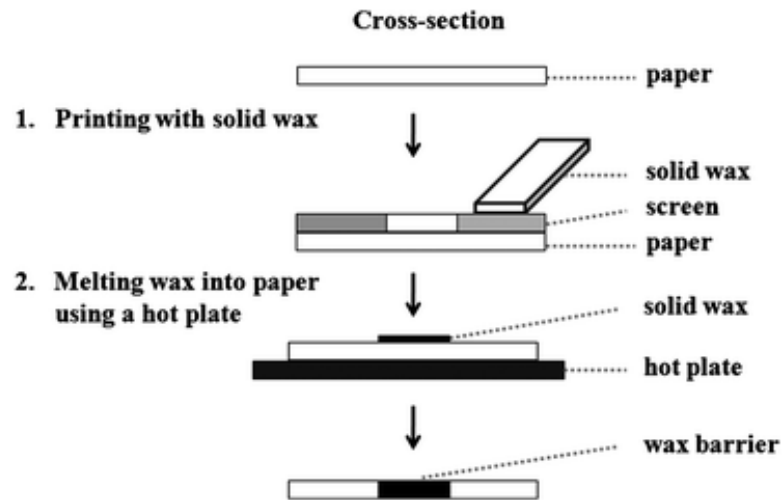
รูปที่ 2.8 ขั้นตอนการสร้าง μ PADs โดยหลักการ ink jet printing (50)

Lu และคณะได้เริ่มใช้เทคนิค wax printing เพื่อกำหนดขอบเขตของพื้นที่ในการเกิดปฏิกิริยา (51) ดังรูปที่ 2.9



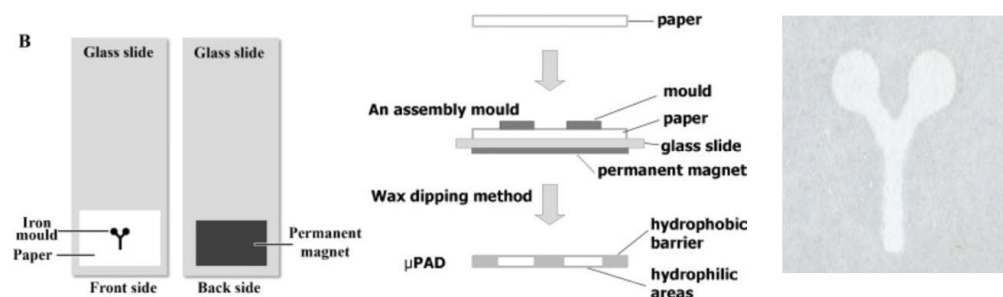
รูปที่ 2.9 ขั้นตอนการสร้าง μ PADs โดยหลักการ wax printing (51)

นอกจากนี้การสร้างห้องปฏิบัติการบนกระดาษโดยทีมนักวิจัยไทย เช่น การพิมพ์สกรีนด้วยสีผึ้ง (wax screen-printing) โดย Dungchai และคณะ (52) ซึ่งเป็นวิธีที่ทำการดูเทียบไขลงบนตะแกรงที่เป็นแม่แบบสำหรับสกรีนแบบลงกระดาษกรอง แล้วนำไปอุ่นที่อุณหภูมิ 100 องศาเซลเซียสเพื่อให้เทียนไขทำหน้าที่กั้นขอบเขตบนกระดาษ ดังรูปที่ 2.10

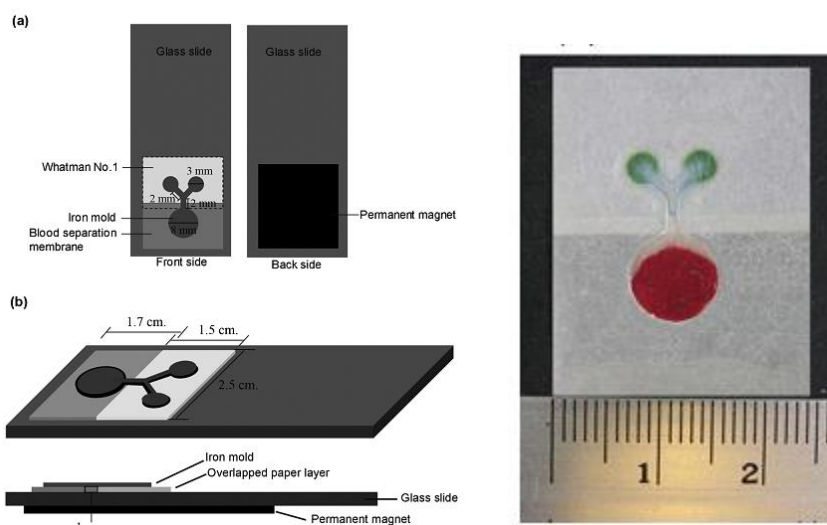


รูปที่ 2.10 ขั้นตอนของเทคนิค wax screen-printing (52)

และการจุ่มด้วยขี้ผึ้ง (wax dipping) โดย Songjaroen และคณะ (53) วิธีนี้ใช้แม่พิมพ์เหล็กวางบนกระดาษกรองที่วางบนกระจกสไลด์ แล้วใช้แม่เหล็กติดด้านหลังของกระจกสไลด์ เพื่อยึดแม่พิมพ์แผ่นเหล็กไว้ชั่วคราว จากนั้นจุ่มชิ้นส่วนที่ประกอบเข้าด้วยกันลงในขี้ผึ้งเหลว รอเย็นเพื่อให้ขี้ผึ้งเกาะตัวบนกระดาษแล้วแกะแบบออกเพื่อให้ได้ชิ้นงานที่ต้องการ ดังรูปที่ 2.11 และมีการประยุกต์ใช้ในการแยกเลือดด้วยการประกอบกระดาษกรองเข้ากับกระดาษแยกเลือดชนิด LF1 (blood separation membrane) เพื่อสร้างอุปกรณ์ตรวจวัดปริมาณโปรตีนบนกระดาษได้ในขั้นตอนเดียว (54) โดยเม็ดเลือดแดงจะถูกกักเก็บไว้ในกระดาษแยกเลือด และพลาสมาจะถูกแยกออกมาทำตามแนวท่อที่ออกแบบไว้แล้วเคลื่อนที่ไปทำปฏิกิริยากับน้ำยาที่ตรึงไว้บนกระดาษ และแปลผลการตรวจวัดปริมาณโปรตีนที่สัมพันธ์กับความเข้มของสีที่เกิดขึ้น ดังรูปที่ 2.12



รูปที่ 2.11 ขั้นตอนของเทคนิค wax dipping และชิ้นงานที่ได้ (53)



รูปที่ 2.12 ขั้นตอนการประกอบกระดาษกรองและกระดาษแยกเลือดด้วยเทคนิค wax dipping และชิ้นงานที่ได้ (54)

2.5.2 ตัวอย่างเทคนิคในการตรวจวัดบนกระดาษ

ในปัจจุบันมีงานวิจัยที่ทำการตรวจวัดสารต่างๆ บนกระดาษเป็นจำนวนมาก เช่น การตรวจน้ำตาลและกรดยูริก (55) การตรวจวัดปริมาณน้ำตาลและโปรตีน (53) ซึ่งจะติดตามปริมาณสารที่ต้องการวัดด้วยการดูความเข้มสีที่เกิดขึ้นบนกระดาษโดยสัมพันธ์กับความเข้มชั้น (colorimetric method) นอกจากหลักการดังกล่าวแล้ว ยังมีและการตรวจวัดน้ำตาลกลูโคสในเลือดครบส่วนบนกระดาษ โดยมีการใช้กระดาษแยกเลือดในการแยกเฉพาะซีรัมให้ไหลออกมาตามท่อเพื่อไปยังพื้นที่เกิดปฏิกิริยาด้วยหลักการของเอนไซม์ (enzymatic method) (56) และการตรวจวัดปริมาณคอเรสเตอรอลโดยใช้ขั้วชนิดแกรฟีนประยุกต์ที่ผลิตขึ้นมา (graphene /polyvinylpyrrolidone/ polyaniline nanocomposite) โดยหลักการทางเคมีไฟฟ้า (electrochemistry) ชนิดแอมเพอโรเมทรี (amperometry) เพื่อติดตามปริมาณของไฮโดรเจนเปอร์ออกไซด์ที่เกิดขึ้นในปฏิกิริยา ซึ่งเป็นสัดส่วนโดยตรงกับความเข้มชั้นของสารที่ต้องการวิเคราะห์ (57) การตรวจหา alpha-fetoprotein (AFP), cancer antigen 125 (CA125) และ carcinoembryonic antigen (CEA) บนกระดาษด้วยหลักการ chemiluminescence ELISA (58) เป็นต้น

นอกจากนี้ยังมีการตรวจวัดบนกระดาษโดยอาศัยหลักการวัดระยะทางในการไหลของสารในปฏิกิริยา เช่น การตรวจวัดหาปริมาณของกลูต้าไธโอนบนกระดาษโดย Cate และคณะ (59) โดยวัดระยะทางในการเคลื่อนที่ของกลูต้าไธโอนที่จับกับอนุภาคเงินระดับนาโนเมตร หากมีปริมาณกลูต้าไธโอนที่แตกต่างกันจะทำให้เกิดการเกาะกลุ่มกับอนุภาคเงินระดับนาโนเมตรใหญ่ขึ้นตามสัดส่วนความเข้มข้น ส่งผลให้อัตราเร็วในการไหลของสารมีความแตกต่างกันไปด้วย นั่นคือ หากมีปริมาณกลูต้าไธโอนมาก มีการเกาะกลุ่มของอนุภาคเงินระดับนาโนมาก การเคลื่อนที่จะช้าลงกว่าเมื่อมีปริมาณกลูต้าไธโอนน้อยกว่า

Khan และคณะใช้เทคนิคการจับกลุ่มกันอย่างจำเพาะของแอนติเจนและแอนติบอดีมาใช้ในการตรวจหมู่เลือด แต่เปลี่ยนพื้นที่การทำปฏิกิริยาจากสไลด์แก้วมาเป็นกระดาษกรอง โดยอ่านผลจากการวิเคราะห์ถ่ายภาพเคลื่อนไหวของการเกิดปฏิกิริยาแล้วนำไปวิเคราะห์ด้วยโปรแกรมสำเร็จรูป (Image-Pro Plus 5.0 software) เพื่อแปลผลเป็นหมู่เลือดต่อไป (60) นอกจากนี้ Ballerini และคณะใช้เทคนิคการจับกลุ่มของแอนติเจนและแอนติบอดีที่จำเพาะต่อกันเช่นเดียวกับหลักการของวิธีหลอดทดลองและสไลด์ แต่เลือกใช้เทคนิคที่ประหยัดขึ้นใช้วัสดุที่หาได้ง่าย ราคาถูก อย่างเช่น ด้าย (thread) ที่มีส่วนประกอบของเซลลูโลส (Cellulose) และโพลีเอสเตอร์ (Polyester) มาใช้ในการตรวจ ทั้งใช้น้ำยาและสิ่งส่งตรวจที่ปริมาณน้อยกว่าเทคนิคอื่นๆ เพื่อใช้ประโยชน์ในบางพื้นที่ที่ต้องการใช้ในงานฉุกเฉิน โดยแปลผลจากความยาวของซีรัมที่เคลื่อนที่ไปได้ไกลกว่าเมื่อแอนติเจนบนเม็ดเลือดแดงทำปฏิกิริยากับแอนติบอดีที่จำเพาะนั้นๆ (61) ยิ่งไปกว่านั้นมีการพัฒนาการตรวจหมู่เลือด Rh และ ABO แบบ cell grouping และ serum grouping ภาพในชุดตรวจเดียวกันอีกด้วย (20)

บทที่ 3

วิธีการดำเนินการวิจัย

1. ประชากรที่ใช้ในการวิจัย

ตัวอย่างปัสสาวะแรกหลังตื่นนอนตอนเช้า หรือ first morning midstream urine จำนวน 90 ตัวอย่าง โดยใช้ตัวอย่างปัสสาวะจากอาสาสมัครผู้ที่มีสุขภาพดี เพื่อใช้ในการทดสอบเปรียบเทียบผลการทดสอบระหว่างวิธีที่พัฒนาขึ้นและวิธีวิธีอัลคาไลน์ไคเนติกแบบโคเนติก (conventional kinetic alkaline picrate) ที่นิยมใช้ทั่วไปทางห้องปฏิบัติการในการตรวจวัดปริมาณครีเอตินิน จำนวน 40 ตัวอย่าง และใช้ในการทดสอบเปรียบเทียบผลการทดสอบระหว่างวิธีที่พัฒนาขึ้นและวิธีตรวจปริมาณครีเอตินินด้วยหลักการเอนไซม์ (enzymatic method) จำนวน 50 ตัวอย่าง ซึ่งงานวิจัยนี้ได้ผ่านการพิจารณาจริยธรรมจากคณะกรรมการจริยธรรมการวิจัยในคน กลุ่มสหสถาบัน ชุดที่ 1 จุฬาลงกรณ์มหาวิทยาลัย (COA No. 159/2557)

2. เครื่องมือและอุปกรณ์ที่ใช้ในการวิจัย

ตารางที่ 3.1 เครื่องมือที่ใช้ในการวิจัย

ลำดับ	เครื่องมือที่ใช้ในงานวิจัย	บริษัท และประเทศที่ผลิต
1	เครื่องปั่นเหวี่ยง (MIKRO 200)	Hettich, Germany
2	เครื่องวัดการดูดกลืนแสง (Evolution 600)	Thermal Scientific, USA
3	เครื่องวัดความเป็นกรด - ด่าง (pH)	Thermal Scientific, USA
4	เครื่องอ่าน microplate (Synergy Mx)	BioTeK, USA
5	เครื่องกวนสารละลายพร้อมให้ความร้อน พร้อมเครื่องวัดอุณหภูมิ	IKA® C-MAG HS7, China
6	เครื่องผสมสาร (vortex)	Scientific Industries, USA
7	เครื่องผลิตน้ำ MilliQ	Millipore, USA
8	ตู้อบฆ่าเชื้อ (autoclave) รุ่น HVP-50	Hiclave™, Japan

ตารางที่ 3.1 เครื่องมือที่ใช้ในการวิจัย (ต่อ)

ลำดับ	เครื่องมือที่ใช้ในงานวิจัย	บริษัท และประเทศที่ผลิต
9	เครื่องชั่งสาร	Mettler Toledo, Switzerland
10	เครื่องสแกนเอกสาร (HP Deskjet F(370	HP, USA
11	เครื่องปริ้นเอกสาร (HP LaserJet P1102)	HP, USA

ตารางที่ 3.2 วัสดุและอุปกรณ์ที่ใช้ในงานวิจัย

ลำดับ	วัสดุและอุปกรณ์ที่ใช้ในงานวิจัย	บริษัท และประเทศที่ผลิต
1	กระดาษกรอง Whatman No.1, 3 และ 42	Whatman™, England
2	กระดาษแยกเลือด Whatman ชนิด VF1, VF2 และ MF1	Whatman™, England
3	กระปุกเก็บปัสสาวะ	บริษัท กรุงเทพอินเตอร์โปรดักส์ จำกัด ประเทศไทย
4	96-well plates	Corning® , USA
5	ขวด Duran	CHOTT DURAN®, Germany
6	Glassware ได้แก่ Erlenmeyer flask, beaker, Cylinder	PYREX, USA
7	Volumetric pipette	HBG, Germany
8	Microcentrifuge tube	Axygen® Scientific, USA
9	Auto pipette	Gilson,Inc.,USA
10	Pipette tip (20, 200, 1000 µL)	Gilson,Inc.,USA
11	Corning tube (15, 50 mL)	Corning® , USA

ตารางที่ 3.3 น้ำยาและสารเคมีที่ใช้ในงานวิจัย

ลำดับ	น้ำยาและสารเคมี	การใช้งาน	บริษัทและประเทศที่ผลิต
1	ซีฟิ่งขาว	สร้างขอบเขตของกระดาษ ให้มีคุณสมบัติไม่ชอบน้ำ	ร้านศึกษาภัณฑ์พาณิชย์ ประเทศไทย
2	น้ำยา creatinine plus ver.2 (ref.03263991, lot no. 687743)	สำหรับประยุกต์ใช้น้ำยา ปริมาตรเหลือ เพื่อใช้ในการ สร้าง enz-PAD สำหรับ ตรวจหาปริมาณครีเอตินิน	Roche Diagnostics, Germany
3	Creatinine (C ₄ H ₇ N ₃ O)	สำหรับใช้เป็นสาร มาตรฐานครีเอตินิน	Merck, Germany
4	น้ำยา Bio-Rad Protein assay	สำหรับตรวจหาปริมาณ โปรตีนทั้งหมดของน้ำยา	Bio-Rad, USA
5	Peroxidase Activity Assay Kit	สำหรับการตรวจหาการ ทำงานของเอนไซม์เปอร์ ออกซิเดส ในน้ำยา R2	Sigma-Aldrich, Germany
6	Creatine anhydrous (H ₂ NC(=NH)N(CH ₃)CH ₂ CO ₂ H)	สำหรับการตรวจหาการ ทำงานของเอนไซม์ ครีเอทีเนสในน้ำยา R1	Sigma-Aldrich, Germany
7	p – dimethylamino- benzaldehyde	สำหรับการตรวจหาการ ทำงานของเอนไซม์ ครีเอทีเนสในน้ำยา R1	Sigma-Aldrich, Germany
8	Dimethylsulfoxide (DMSO)	สำหรับการตรวจหาการ ทำงานของเอนไซม์ ครีเอทีเนสในน้ำยา R1	Sigma-Aldrich, Germany

ตารางที่ 3.3 น้ำยาและสารเคมีที่ใช้ในงานวิจัย (ต่อ)

ลำดับ	น้ำยาและสารเคมี	การใช้งาน	บริษัทและประเทศที่ผลิต
9	Hydrochloric acid (HCl)	สำหรับการตรวจหาการทำงานของของเอนไซม์ครีเอทีเนสในน้ำยา R1 (DAB solution) และสำหรับเตรียมสารละลายทริส-ไฮโดรคลอไรด์บัฟเฟอร์	Sigma-Aldrich, Germany
10	D-(+)-Glucose	สำหรับการทดสอบสารรบกวนการตรวจวัดปริมาณครีเอทีนินด้วย enz-PADs	Sigma-Aldrich, USA
11	Human serum albumin	สำหรับการทดสอบสารรบกวนการตรวจวัดปริมาณครีเอทีนินด้วย enz-PADs	Sigma-Aldrich, USA
12	Hemoglobin	สำหรับการทดสอบสารรบกวนการตรวจวัดปริมาณครีเอทีนินด้วย enz-PADs	Sigma-Aldrich, USA
13	Ascorbic acid	สำหรับการทดสอบสารรบกวนการตรวจวัดปริมาณครีเอทีนินด้วย enz-PADs	Sigma-Aldrich, USA

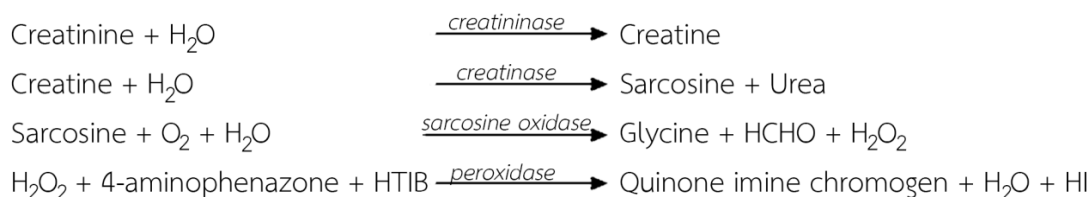
ตารางที่ 3.3 น้ำยาและสารเคมีที่ใช้ในงานวิจัย (ต่อ)

ลำดับ	น้ำยาและสารเคมี	การใช้งาน	บริษัทและประเทศที่ผลิต
14	Bilirubin	สำหรับการทดสอบสาร รบกวนการตรวจวัด ปริมาณครีเอทีนินด้วย enz-PADs	Fluka, Germany
15	Uric acid (C ₅ H ₄ N ₄ O ₃)	สำหรับการทดสอบสาร รบกวนการตรวจวัด ปริมาณครีเอทีนินด้วย enz-PADs	Sigma-Aldrich, Germany
16	Creatine monohydrous (C ₄ H ₉ N ₃ O ₂ · H ₂ O)	สำหรับการทดสอบสาร รบกวนการตรวจวัด ปริมาณครีเอทีนินด้วย enz-PADs	Merck, Germany
17	Potassium dihydrogen phosphate (KH ₂ PO ₄)	สำหรับเตรียมสารละลาย โพแทสเซียมฟอสเฟต บัฟเฟอร์	Merck, Germany
18	Di-potassium hydrogen phosphate (K ₂ HPO ₄)	สำหรับเตรียมสารละลาย โพแทสเซียมฟอสเฟต บัฟเฟอร์	Merck, Germany
19	Tris (hydroxymethyl) aminomethane	สำหรับเตรียมสารละลาย ทริส-ไฮโดรคลอไรด์ บัฟเฟอร์	Bio-Rad, USA
20	Creatinine Liquicolor	ตรวจวัดปริมาณครีเอทีนิน ในตัวอย่างปัสสาวะ	Human diagnostic, Germany

3 วิธีการดำเนินการวิจัย

3.1 ทดสอบความสามารถในการเกิดปฏิกิริยาของน้ำยา Creatinine plus ver.2 ในหลอดทดลองและบนกระดาษ

น้ำยา Creatinine plus ver.2 ของบริษัท Roche diagnostics ใช้หลักการทางเอนไซม์ (enzymatic colorimetric method) ในการตรวจวัดปริมาณครีเอตินินในตัวอย่างตรวจ โดยน้ำยาดังกล่าวใช้ประกอบการตรวจวัดปริมาณครีเอตินินด้วยเครื่องวิเคราะห์อัตโนมัติ COBAS c501 โดยในงานวิจัยนี้ได้นำเอาน้ำยาปริมาตรที่เหลือจากการที่ reagent probe สำหรับชุดน้ำยาของเครื่องวิเคราะห์อัตโนมัติไม่สามารถดูนำมาใช้งานไดมาประยุกต์ใช้ เพื่อพัฒนาอุปกรณ์ตรวจวิเคราะห์บนกระดาษสำหรับหาปริมาณครีเอตินินในปัสสาวะด้วยหลักการเอนไซม์ โดยหลักการและการเกิดสีของน้ำยาเป็นดังสมการ



กล่าวคือ เมื่อนำน้ำยา Creatinine plus ver.2 มาทำปฏิกิริยากับสารครีเอตินินในตัวอย่างตรวจ เอนไซม์ครีเอตินินเนส เอนไซม์ครีเอทีเนส และเอนไซม์ซาร์โคซีนออกซิเดสจะทำหน้าที่ในการเปลี่ยนครีเอตินินในตัวอย่างตรวจ เกิดเป็นไกลซีน ฟอรัมาลดีไฮด์ และ H_2O_2 จากนั้น H_2O_2 ที่เกิดขึ้น ซึ่งจะ เป็นสัดส่วนโดยตรงกับปริมาณครีเอตินินจะทำปฏิกิริยากับ 4-aminophenozone และ 2,4,6-triiodo-3-hydroxybenzoic acid โดยมีเอนไซม์เปอร์ออกซิเดสเป็นตัวเร่งปฏิกิริยา เกิดสารประกอบเชิงซ้อนสีชมพูแดง (quinone imine chromogen) ซึ่งความเข้มของสีที่เกิดขึ้นของ quinone imine chromogen จะเป็นสัดส่วนโดยตรงกับปริมาณครีเอตินินในตัวอย่างตรวจ ส่วนประกอบของน้ำยา Creatinine plus ver.2 จำนวน 1 กล่อง ประกอบไปด้วยน้ำยา 2 ขวด ได้แก่ น้ำยาขวดที่ 1 (R1) และน้ำยาขวดที่ 2 (R2) ซึ่งประกอบไปด้วยสารต่างๆ โดยสารหรือเอนไซม์แต่ละชนิดมีปริมาณของความเข้มข้น (คำนวณจากเอกสารแนบประกอบน้ำยา) ดังตารางที่ 3.4

น้ำยา R1 ประกอบไปด้วยเอนไซม์ครีเอทีเนส และเอนไซม์ซาโคซีนออกซิเดส ซึ่งเอนไซม์ทั้งสองชนิด จะทำปฏิกิริยากับตัวอย่างตรวจก่อน เพื่อกำจัดครีเอทีนที่มีในตัวอย่างก่อนเกิดเป็น H_2O_2 ซึ่งเอนไซม์คาตาเลส (catalase) ในน้ำยา R1 จะทำหน้าที่ในการกำจัด H_2O_2 ที่เกิดขึ้นนั้น จากนั้นเมื่อเติมน้ำยา R2 ที่มีเอนไซม์ครีเอทีนเนส และเอนไซม์เปอร์ออกซิเดสเข้าไปในปฏิกิริยา ครีเอทีนในตัวอย่างตรวจจะเริ่มทำปฏิกิริยากับกลุ่มของเอนไซม์ทั้ง 4 ชนิด ดังสมการข้างต้น สำหรับเอนไซม์แอสคอร์เบทออกซิเดส (ascorbate oxidase) ในน้ำยา R1 เป็นเอนไซม์สำหรับลดการรบกวนปฏิกิริยาการตรวจวัดจากวิตามินซี และโพแทสเซียมเฮกซะไฮยาโนเฟอร์เรต (42) ในน้ำยา R2 เป็นสารสำหรับลดการรบกวนปฏิกิริยาการตรวจวัดจากบิลิรูบินในตัวอย่างตรวจ (35)

การหาปริมาณครีเอทีนในตัวอย่างตรวจด้วยเครื่องวิเคราะห์อัตโนมัติด้วยน้ำยา Creatinine plus ver.2 ใช้ปริมาตรของน้ำยารวม 115 ไมโครลิตร และใช้ตัวอย่างปริมาตร 2 ไมโครลิตร โดยมีการเจือจางตัวอย่างก่อน 50 เท่า ดังแสดงในตารางที่ 3.5

ตารางที่ 3.4 รายละเอียดของน้ำยา Creatinine plus ver. 2

รายละเอียดน้ำยา	ความเข้มข้น
R1	
Creatinase	0.0190 U/ μ l
Sarcosine oxidase	0.0079 U/ μ l
Ascorbate oxidase	0.0020 U/ μ l
HTIB	0.0120 mg/ μ l
N-tris-(hydroxymethyl)methyl-3-aminopropanesulfonic acid (TAPS)	0.3 μ mol/ μ l
Catalase	0.0001 U/ μ l

ตารางที่ 3.4 ข้อมูลรายละเอียดของน้ำยา Creatinine plus ver.2 (ต่อ)

รายละเอียดน้ำยา	ความเข้มข้น
R2	
Creatininase	0.0299 U/ μ l
Peroxidase	0.0010 U/ μ l
4-aminophenazone	0.5 mg/ μ l
Potassium hexacyanoferrate (II)	0.06 mg/ μ l
N-tris-(hydroxymethyl)methyl-3-aminopropanesulfonic acid (TAPS)	0.5 μ mol/ μ l

ตารางที่ 3.5 ปริมาณน้ำยาที่ใช้ในการตรวจวัดต่อหนึ่งการทดสอบ ด้วยเครื่องวิเคราะห์อัตโนมัติ Cobas c501

Serum, plasma, urine*	Reagent volume (μ L)	Diluent (H ₂ O) (μ L)
R1	77	
Sample	2	5
R2	38	
Total volume	122	

* Pre-dilution factor = 20

3.1.1 ทดสอบปฏิกิริยาของน้ำยาในหลอดทดลอง โดยทดสอบความไวในการเกิดสีของน้ำยา โดยการวัด OD ที่ 552/659

เพื่อทดสอบประสิทธิภาพในการตรวจวัดของน้ำยาปริมาตรที่เหลือจากการใช้งานของเครื่องวิเคราะห์อัตโนมัติที่สามารถตรวจวิเคราะห์ได้ มีความไวในการตรวจวัดอย่างไร และความเข้มข้นของสีที่เกิดขึ้นเมื่อทำปฏิกิริยากับสารมาตรฐานครีเอตินินที่ความเข้มข้นต่างๆ โดยทำการทดสอบด้วยการทำปฏิกิริยาระหว่างน้ำยา Creatinine plus ver.2 กับสารมาตรฐานครีเอตินินใน 96-wells plate ตามขั้นตอนในเอกสารแนบประกอบน้ำยา ดังแสดงในตารางที่ 3.5 โดยทำการเติมน้ำยา R1 ลงในหลุมปฏิกิริยาหลุมละ 77 ไมโครลิตร จากนั้นเติมสารมาตรฐานครีเอตินินที่ความเข้มข้นต่างๆ ได้แก่ ความเข้มข้น 0, 1.25, 2.5, 5, 12.5, 50, 100, 200, 300 และ 400 มิลลิกรัมต่อเดซิลิตร หลุมละ 2 ไมโครลิตร ตามด้วยเติมน้ำกลั่น หลุมละ 5 ไมโครลิตร จากนั้นผสมให้เข้ากันโดยเขย่า 96-well plate บ่มทิ้งไว้เป็นเวลา 3 นาที เมื่อครบเวลาแล้วเติมน้ำยา R2 หลุมละ 38 ไมโครลิตร แล้วผสมให้เข้ากันโดยเขย่า plate อีกครั้ง จากนั้นทำการบ่มปฏิกิริยาที่อุณหภูมิห้อง เป็นเวลา 15 นาที เมื่อครบเวลาทำการวัด OD ที่ 522/659 นาโนเมตร แบบ endpoint ด้วยเครื่อง microplate reader (Synergy Mx, BioTek) โดยค่า OD ที่ 522 นาโนเมตรเป็นการวัดสีของปฏิกิริยาที่เกิดขึ้น (สีชมพู) และค่า OD ที่ 659 นาโนเมตร เป็นการวัดสีของสิ่งรบกวน (background) จากสีของตัวอย่างตรวจ (สีเหลือง) จากนั้นนำค่า OD ที่ 552 นาโนเมตร ลบกับ OD ที่ 659 นาโนเมตร เพื่อให้ได้ OD 552 - 659 นาโนเมตร และนำผลการทดสอบที่ได้ไปสร้างกราฟมาตรฐานแสดงความสัมพันธ์ระหว่างความเข้มข้นของครีเอตินิน (mg dL^{-1}) และค่าการดูดกลืนของแสงต่อไป แล้วศึกษาความไวในการทดสอบโดยดูค่าจากความชัน (a) ของกราฟเส้นตรง จากสมการ $y = ax + b$

3.1.2 ทดสอบความสามารถและปฏิกิริยาของน้ำยาบนกระดาษกรอง

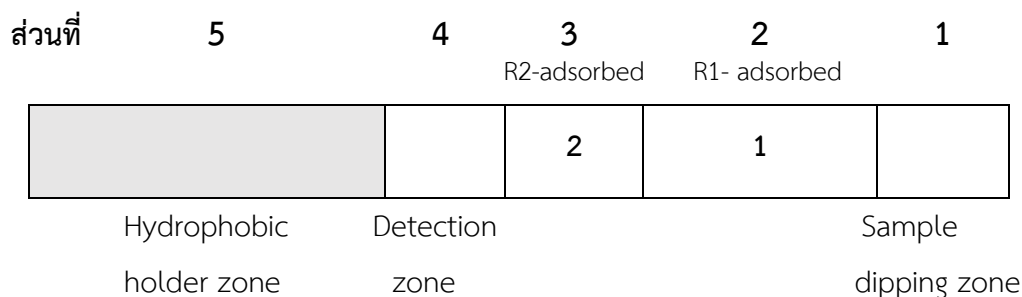
เพื่อศึกษาปฏิกิริยาการเกิดสีบนกระดาษ โดยทำการทดสอบเบื้องต้นกับกระดาษกรอง Whatman No.1 เนื่องจากเป็นกระดาษที่นิยมในงานทางวิทยาศาสตร์และงานวิจัยทั่วไป ราคาถูก มีจำหน่ายทั่วไปในท้องตลาด โดยผสมน้ำยา R1 และ R2 ใน สัดส่วน 77 ไมโครลิตร ต่อ 38 ไมโครลิตร เพื่อให้ได้น้ำยาพร้อมใช้งาน (mix reagent) จากนั้นตริงน้ำยาที่ผสมแล้ว จำนวน 3 ไมโครลิตรลงบนกระดาษกรอง (ปริมาตรพอดีกับพื้นที่ทดสอบบนกระดาษกรอง) จากนั้นรอให้น้ำยาที่ตริงลงบน

กระดาษกรองแห้งสนิทเป็นเวลา 10 นาที แล้วหยดสารมาตรฐานครีเอทีนิน 0, 1.25, 2.5, 5, 12.5, 50, 100, 200, 300 และ 400 มิลลิกรัมต่อเดซิลิตร จำนวน 3 ไมโครลิตร ลงบนกระดาษที่ตรงน้ำยาไว้ สังเกตปฏิกิริยาที่เกิดขึ้นบนกระดาษ จากนั้นรอปฏิกิริยาเป็นเวลา 10 นาที และทำการบันทึกผลการทดสอบด้วยเครื่องสแกนเอกสาร (HP Deskjet F370)

3.2 การสร้างอุปกรณ์ตรวจวิเคราะห์บนกระดาษสำหรับการตรวจวัดครีเอทีนินด้วยหลักการเอนไซม์

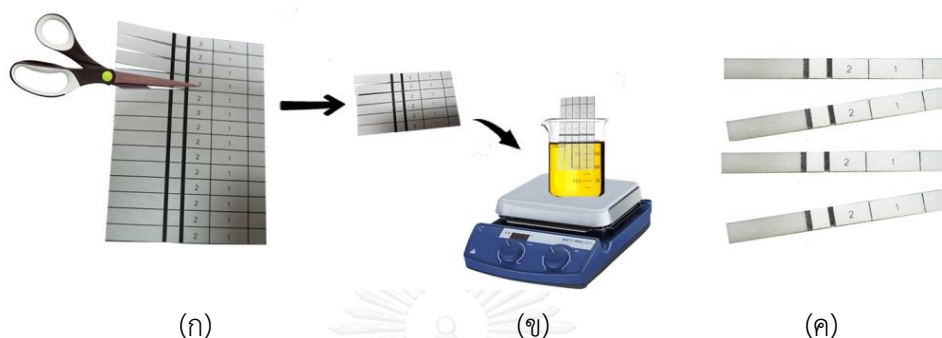
3.2.1 การออกแบบอุปกรณ์ตรวจวิเคราะห์บนกระดาษสำหรับการตรวจวัดครีเอทีนินด้วยหลักการเอนไซม์ ที่เหมาะสมต่อการตรวจวัด

ในขั้นตอนการออกแบบอุปกรณ์ตรวจวิเคราะห์บนกระดาษสำหรับการตรวจวัดครีเอทีนินด้วยหลักการเอนไซม์ (enzymatic paper-based analytical devices, enz-PADs) ที่ใช้ในวิจัยนี้ ใช้โปรแกรม Microsoft Office Word 2010 สำหรับออกแบบรูปร่างและขนาดของพื้นที่ในการตรวจวัด และการสร้างเส้นขอบเขตของการทดสอบบนกระดาษโดย HP LaserJet P1102 printer สำหรับแบบ enz-PADs ที่เหมาะสมสำหรับการตรวจวัดนั้น มีการออกแบบให้มี 5 ส่วน อันได้แก่ ส่วนที่ 1 พื้นที่สำหรับจุ่มตัวอย่าง ส่วนที่ 2 พื้นที่สำหรับตรงน้ำยา R1 ส่วนที่ 3 พื้นที่สำหรับตรงน้ำยา R2 ส่วนที่ 4 พื้นที่สำหรับการอ่านปฏิกิริยาที่เกิดขึ้น และ ส่วนที่ 5 พื้นที่สำหรับจับ PADs โดยออกแบบให้เป็นชนิด hydrophobic holder zone ซึ่งเป็นพื้นที่ส่วนที่กั้วน้ำหรือไม่ชอบน้ำ จึงสามารถกั้นไม่ให้สารผสมที่เกิดจากปฏิกิริยาไหลผ่าน ทำให้สารละลายทั้งหมดที่เกิดขึ้นในปฏิกิริยาสิ้นสุดและหยุดเคลื่อนที่ ณ บริเวณพื้นที่ตรวจวัด ด้วยเทคนิค wax dipping เพื่อให้การเกิดปฏิกิริยาสมบูรณ์ และสามารถบันทึกผลการทดสอบและแปลผลต่อไป ดังแสดงในรูปที่ 3.1



รูปที่ 3.1 แผนภาพแสดงบริเวณต่างๆ บน enz-PADs

สำหรับ hydrophobic holder zone ผู้วิจัยสร้างขอบเขตจำกัดพื้นที่ในการไหลของสารโดยใช้เทคนิค wax dipping (53) ด้วยการจุ่มปลายในส่วนของ hydrophobic holder zone ลงในขี้ผึ้งที่กำลังหลอมละลายที่อุณหภูมิ 108 ± 3 องศาเซลเซียส เป็นเวลา 3 วินาที ดั่งขั้นตอนการสร้าง enz-PADs ในรูปที่ 3.2



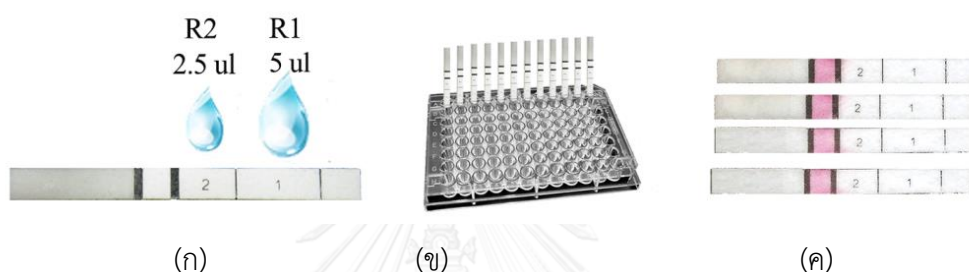
รูปที่ 3.2 ขั้นตอนในการสร้าง enz-PADs สำหรับการตรวจหาปริมาณครีเอทีนินในปัสสาวะ โดยออกแบบและพิมพ์แบบที่ได้ลงบนกระดาษกรอง จากนั้นตัดแยกแบบตามภาพ (ก) นำด้านสำหรับจับ hydrophobic holder zone จุ่มลงในขี้ผึ้งที่กำลังหลอมเหลวที่อุณหภูมิ 108 ± 3 องศาเซลเซียส เป็นเวลา 3 วินาที ดังภาพ (ข) ปลอ่ยให้ขี้ผึ้งจับตัวแข็งแล้วตัดแยก PADs ออกจากกันดังภาพ (ค)

3.2.2 การศึกษาชนิดของกระดาษกรองที่เหมาะสมต่อการสร้าง enz-PADs

ในงานวิจัยนี้ เลือกใช้กระดาษกรอง Whatman เพื่อนำมาใช้ในการพัฒนาอุปกรณ์วิเคราะห์ฐานกระดาษ เนื่องจากกระดาษกรองเป็นวัสดุที่ราคาถูก ทั้งยังมีคุณสมบัติที่เหมาะสมต่อการไหลของของเหลวคือ แรงแคปิลลารี โดยไม่อาศัยแรงจากภายนอก (46) นอกจากนี้กระดาษยังมีขนาดรูพรุนที่แตกต่างกันให้เลือกใช้หลายขนาด ทำให้มีอัตราการไหลของของเหลวที่ระยะเวลาต่างๆ กัน จึงสามารถเลือกใช้ให้เหมาะสมกับการนำมาพัฒนา enz-PADs สำหรับการตรวจวัดปริมาณครีเอทีนินได้เป็นอย่างดี

ในการศึกษาเลือกใช้กระดาษกรองที่เหมาะสมในการสร้าง enz-PADs กระดาษกรองเบอร์ 1, 3 และ 42 ถูกเลือกนำมาใช้ในการทดสอบปฏิกิริยา โดยทำการสร้าง PADs ด้วยกระดาษกรองทั้ง 3 ชนิดดังรูปที่ 3.2 (ค) ซึ่งแบบที่ใช้ันั้นได้ผ่านการทดสอบปริมาตรน้ำยาที่เหมาะสมในการตรึงเรียบร้อยแล้ว ได้แก่ ทำการตรึงน้ำยา R1 บนพื้นที่ R1 ปริมาตร 5 ไมโครลิตร และตรึงน้ำยา R2 บนพื้นที่ R2

ปริมาตร 2.5 ไมโครลิตร โดยอัตราส่วนของน้ำยา R1 ต่อ R2 ที่ใช้ในงานวิจัยนี้ เป็นไปตามเอกสารประกอบน้ำยา Creatinine plus ver.2 คือ 2 : 1 จากนั้นรอให้น้ำยาที่ตรึงไว้แห้งเป็นเวลา 30 นาที แล้วนำ enz-PADs ที่ผ่านการตรึงน้ำยามาทดสอบด้วยสารมาตรฐานครีเอตินินความเข้มข้นต่างๆ ดังแสดงขั้นตอนในรูปที่ 3.3 สังเกตและบันทึกผลการทดสอบ ผู้วิจัยเลือกใช้กระดาษกรองเบอร์ที่ให้ผลการทดสอบที่ดีที่สุด ทั้งผลการทดสอบในเรื่องการไหลของสารและสีที่เกิดจากปฏิกิริยา เพื่อให้เกิดปฏิกิริยาที่สมบูรณ์ และให้ผลการทดสอบที่ชัดเจนที่สุดต่อไป



รูปที่ 3.3 ขั้นตอนในการสร้างและใช้งาน enz-PADs สำหรับการตรวจหาปริมาณครีเอตินิน (ก) ตรึงน้ำยา R1 บน R1 zone (หมายเลข 1) ปริมาตร 5 ไมโครลิตร และตรึงน้ำยา R2 บน R2 zone (หมายเลข 2) ปริมาตร 2.5 ไมโครลิตร จากนั้นปล่อยให้ น้ำยาแห้งที่อุณหภูมิห้อง เป็นเวลา 30 นาที จะได้ enz-PADs พร้อมใช้งาน (ข) แสดงลักษณะการจุ่ม enz-PADs ลงใน sample wells (96-well plate) (ค) แสดงตัวอย่างของ enz-PADs ที่ทำการทดสอบเรียบร้อยแล้ว

3.2.3 การศึกษาสีของปฏิกิริยาที่เกิดขึ้นบนพื้นที่ตรวจวัดของ enz-PADs ที่พัฒนาขึ้น

ทำการสร้าง enz-PADs ด้วยกระดาษกรองเบอร์ 3 เช่นเดียวกับข้อ 3.2.2 โดยทำการทดสอบเพิ่มเติมเพื่อหาสารที่เหมาะสมในการตรึงบนส่วนพื้นที่ตรวจวัดก่อนนำมาใช้ทดสอบตรวจหาปริมาณครีเอตินิน เนื่องจากกระดาษกรองเมื่อมีการสัมผัสกับน้ำหรือสารละลายเยื่อของเซลลูโลสจะมีการพองตัว (62) จึงสันนิษฐานว่าการตรึงสารละลายบนพื้นที่ตรวจวัดก่อนนำมาทดสอบปฏิกิริยา เพื่อวัดความเข้มข้น จะทำให้ปฏิกิริยาที่เกิดขึ้นเรียบเนียนขึ้นได้จึงทำการทดสอบตรึงน้ำกลั่น (distilled water) และ 100 มิลลิโมลาร์ของสารละลายโพแทสเซียมฟอสเฟต ปริมาตร 2.5 ไมโครลิตร เปรียบเทียบกับการไม่ตรึงสารใดๆ ลงบนพื้นที่ตรวจวัดพร้อมๆ กับการตรึงน้ำยาแล้วทำการทดสอบ

กับสารมาตรฐานครีเอตินความเข้มข้น 10 มิลลิกรัมต่อเดซิลิตร จากนั้นอ่านค่าความเข้มสีบนพื้นที่เกิดปฏิกิริยาด้วยโปรแกรม Adobe photoshop CS2 ด้วยขนาดของพื้นที่การวัดคงที่ที่ 70X90 pixels ซึ่งครอบคลุมพื้นที่ของพื้นที่ตรวจวัดเกือบทั้งหมด จากนั้นเลือกใช้สารที่ให้ผลการทดสอบที่ดีที่สุดในการตรึงบนพื้นที่ตรวจวัด

3.3 การศึกษาหาปริมาณโปรตีนรวมและการทำงานของเอนไซม์ของน้ำยา Creatinine plus ver.2

เนื่องจากในงานวิจัยนี้ได้นำเอาน้ำยา Creatinine plus ver.2 ของบริษัท Roche diagnostic ส่วนที่เหลือจากกันตลับน้ำยาจากการที่ reagent probe สำหรับดูน้ำตาลของเครื่องวิเคราะห์อัตโนมัติไม่สามารถดูน้ำตาลมาได้มาประยุกต์ใช้ในการสร้าง enz-PADs เพื่อใช้ในการตรวจหาปริมาณครีเอตินในปัสสาวะ จึงนำน้ำยาสำเร็จรูป Creatinine plus ver.2 ซึ่งประกอบด้วยน้ำยา R1 และ R2 มาทำการตรวจหาปริมาณโปรตีนและการทำงานของเอนไซม์ตัวแทนรวมในน้ำก่อนนำมาใช้งานจริง เพื่อให้ทราบถึงคุณสมบัติของน้ำยาที่นำมาใช้ในการสร้าง enz-PADs ในงานวิจัยนี้และป้องกันความหลากหลายของความเข้มข้นและการทำงานของเอนไซม์ในน้ำยาในการผลิตแต่ละครั้งของน้ำยา (reagent's lot) ด้วยการตรวจหาปริมาณโปรตีนรวมด้วยน้ำยา Bradford's (BioRad) และการทำงานของตัวแทนเอนไซม์ (enzyme activity) ในน้ำยา R1 และ R2 คือ เอนไซม์ครีเอทีเนส และ เอนไซม์เปอร์ออกซิเดส ตามลำดับ เนื่องด้วยน้ำยา Creatinine plus ver.2 มีอายุในการใช้งานหลังเปิดใช้เป็นเวลา 2 เดือน และผู้วิจัยใช้น้ำยาดังกล่าวอายุตั้งแต่ 2 สัปดาห์ (หลังเปิดใช้งานสำหรับเครื่องวิเคราะห์อัตโนมัติ) มาใช้ในการสร้าง enz-PADs ดังนั้นจึงทำการตรวจวัดปริมาณโปรตีนและการทำงานของตัวแทนรวมในน้ำยา 2 ชุด ได้แก่ น้ำยาอายุน้ำยา 2 สัปดาห์ (ก่อนการใช้งาน (และน้ำยาอายุน้ำยา 2 เดือน (น้ำยาหลังการใช้งาน) ดังนั้น ตัวอย่างที่ทำการทดสอบ 4 ตัวอย่าง คือ น้ำยา R1 อายุ 2 สัปดาห์, น้ำยา R2 อายุ 2 สัปดาห์, น้ำยา R1 อายุ 2 เดือน และน้ำยา R2 อายุ 2 เดือน โดยทำการเตรียมตัวอย่างหรือน้ำยาที่ใช้ในการตรวจวัดทั้งสองกลุ่มดังนี้ คือ นำน้ำยา R1 ผสมรวมกัน จำนวน 10 กล่อง และ R2 ผสมรวมกัน จำนวน 10 กล่อง เพื่อให้ได้ปริมาณที่มากพอต่อการใช้งานในงานวิจัยนี้แล้วนำมาวัดหาปริมาณโปรตีนและการทำงานของตัวแทนเอนไซม์รวมของน้ำยาทั้งสองระหว่างการใช้งาน

3.3.1 การตรวจหาปริมาณโปรตีนรวมด้วยน้ำยา Bradford (Bradford's reagent)

ทำการเจือจาง Bradford's reagent 1 ส่วน ด้วยน้ำกลั่น 4 ส่วน เพื่อใช้เป็น working reagent จากนั้นเตรียมสารมาตรฐาน bovine serum albumin (BSA) ความเข้มข้น 0, 0.2, 0.4, 0.6, 0.8 และ 1.0 มิลลิกรัมต่อมิลลิลิตร โดยใช้ น้ำกลั่นเป็นตัวเจือจาง เพื่อใช้ในการสร้างกราฟมาตรฐานที่ใช้ในการเทียบหาความเข้มข้นของโปรตีนในน้ำยาต่อไป จากนั้นทดสอบตัวอย่างที่เตรียมไว้ทั้ง 4 ตัวอย่าง พร้อมกับการสร้างกราฟมาตรฐานด้วยการใช้ Bradford's reagent ปริมาตร 500 ไมโครลิตร ผสมกับตัวอย่าง ปริมาตร 10 ไมโครลิตร เขย่าให้เข้ากัน บ่มในที่มืดที่อุณหภูมิห้องเป็นเวลา 15 นาที จากนั้นวัดค่า OD ที่ 595 นาโนเมตร และสร้างกราฟมาตรฐานแสดงความสัมพันธ์ของปริมาณโปรตีนใน BSA ที่ OD 595 นาโนเมตร ด้วย Bradford's reagent และคำนวณหาปริมาณโปรตีนในตัวอย่างต่อไป

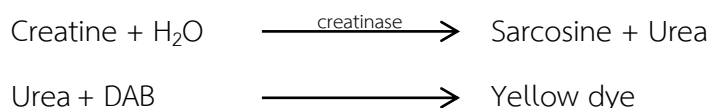
3.3.2 การตรวจหาการทำงานของเอนไซม์ตัวแทนรวม

ทำการตรวจหาปริมาณการทำงานของตัวแทนเอนไซม์ในน้ำยา R1 เอนไซม์ คือ เอนไซม์ ครีเอทีเนส และน้ำยา R2 คือ เอนไซม์เปอร์ออกซิเดส โดยใช้ตัวอย่างชุดเดียวกับการทดสอบข้างต้น ในการหาค่าการทำงานของเอนไซม์นี้ เพื่อให้ทราบถึงปริมาณการทำงานของเอนไซม์ที่มีในน้ำยาที่ถูกนำมาใช้ในงานวิจัย และป้องกันปัญหาของความหลากหลายของน้ำยาในแต่ละครั้งของการผลิต (lot-to-lot variation)

Enzyme activity (Unit) คือ ปริมาณ (μmole or μg) ของสารตั้งต้นที่เปลี่ยนแปลงโดยปฏิกิริยาเฉพาะของเอนไซม์จำนวนหนึ่งภายในหนึ่งหน่วยเวลา (min or sec)

3.3.2.1 การทำงานของเอนไซม์ครีเอทีเนสในน้ำยา R1

สำหรับน้ำยา R1 ถูกทำการตรวจวัดหาปริมาณการทำงานของเอนไซม์รวมของเอนไซม์ครีเอทีเนส 2 ตัวอย่าง (total creatinase activity in R1 reagent) ได้แก่ น้ำยา R1 อายุ 2 สัปดาห์ และน้ำยา R1 อายุ 2 เดือน โดยหลักการตรวจวัดเป็นไปตามสมการ



การสร้างสารประกอบสีเหลืองในปฏิกิริยาของ *p*-dimethylaminobenzaldehyde (DAB) และยูเรีย ตามสมการ Ehrlich reaction (63) วัด OD ด้วยเครื่องสเปกโตรโฟโตมิเตอร์ที่ 435 นาโนเมตร

สามารถหาได้โดยเติมสารละลายตั้งต้น (substrate คือ 0.1 M creatine solution) ปริมาตร 200 ไมโครลิตร ลงใน 96-well plate และตั้งทิ้งไว้ที่อุณหภูมิ 37 องศาเซลเซียส เป็นเวลา 5 นาที จากนั้นเติมตัวอย่างตรวจ (enzyme solution คือ R1) ปริมาตร 20 ไมโครลิตร ลงใน 96-well plate ผสมให้เข้ากัน บ่มทิ้งไว้ที่ 37 องศาเซลเซียส เป็นเวลา 10 นาที จากนั้นเติมสารละลาย DAB (ภาคผนวก) ปริมาตร 400 ไมโครลิตร เพื่อหยุดปฏิกิริยา บ่มทิ้งไว้ที่ 25 องศาเซลเซียส เป็นเวลา 20 นาที จากนั้นนำไปวัด OD ที่ 435 นาโนเมตร โดยทำการเทียบกับ blank ที่ทำการทดสอบไปพร้อมกับการตรวจวัดตัวอย่าง โดยผสมสารละลายตั้งต้น (0.1 M creatine solution) ปริมาตร 200 ไมโครลิตร กับสารละลาย DAB ปริมาตร 400 ไมโครลิตร และตั้งทิ้งไว้ที่อุณหภูมิ 37 องศาเซลเซียส เป็นเวลา 10 นาที เติมตัวอย่างตรวจ (R1) ปริมาตร 20 ไมโครลิตร ลงใน 96-well plate ผสมให้เข้ากัน บ่มทิ้งไว้ที่ 25 องศาเซลเซียส เป็นเวลา 20 นาที วัด OD ที่ 435 นาโนเมตร จากนั้นหาการทำงานของเอนไซม์จากสูตร

$$\begin{aligned} \text{Volume activity (U/ml)} &= \frac{\Delta\text{OD} (\Delta\text{OD test} - \Delta\text{OD blank}) \times V_t \times 11 \times \text{df}}{4.65 \times 1.0 \times t \times V_s} \\ &= \Delta\text{OD} \times 7.33 \times \text{df} \end{aligned}$$

3.3.2.2 การทำงานของเอนไซม์เปอร์ออกซิเดส ในน้ำยา R2

สำหรับการตรวจหาการทำงานของเอนไซม์เปอร์ออกซิเดส ในน้ำยา R2 ถูกทำการตรวจวัดหาปริมาณการทำงานของเอนไซม์รวมของเปอร์ออกซิเดส 2 ตัวอย่าง (total peroxidase activity in R2 reagent) ได้แก่ น้ำยา R2 อายุ 2 สัปดาห์ และน้ำยา R2 อายุ 2 เดือน หาได้จาก peroxidase activity kit (Sigma-Aldrich) จากการสร้างกราฟมาตรฐาน H_2O_2 (standard curve for colorimetric detection) โดยเตรียมสารละลาย H_2O_2 ความเข้มข้น 0.1 มิลลิโมลาร์ โดยทำการเจือจางจาก 12.5 มิลลิโมลาร์ของสารละลาย H_2O_2 ปริมาตร 10 ไมโครลิตรด้วย assay buffer ปริมาตร 1,240 ไมโครลิตร จากนั้นเติมสารละลาย H_2O_2 ความเข้มข้น 0.1 มิลลิโมลาร์ ลงใน 96-well plate ปริมาตร 0, 10, 20, 30, 40 และ 50 ไมโครลิตร ตามลำดับ (ทำซ้ำ 2 ครั้ง) จากนั้นเติม assay buffer ให้แต่ละหลุมได้ปริมาตร 50 ไมโครลิตร เพื่อเจือจางให้สารละลายมาตรฐาน H_2O_2 มีความเข้มข้น 0 (blank), 1, 2, 3, 4 และ 5 นาโนโมลต่อหลุมของสารมาตรฐาน (nmole/well standard) และเตรียม reaction mix โดยใช้ Fluorescent Peroxidase Substrate : HRP Positive control ในอัตราส่วน 2 : 48 จากนั้นเติม reaction mix ลงในแต่ละหลุม ปริมาตร 50 ไมโครลิตร ผสมให้เข้ากัน ตามด้วยบ่มที่อุณหภูมิห้อง เป็นเวลา 5 นาที เมื่อครบเวลา วัดค่า OD ที่ความยาวคลื่น 570 นาโนเมตร แล้วนำค่าที่ได้มาสร้างกราฟมาตรฐาน H_2O_2 จากนั้นนำกราฟมาตรฐานที่ได้ใช้ในการเทียบหาปริมาณการทำงานของเอนไซม์เปอร์ออกซิเดสต่อไป โดยการเตรียมตัวอย่างที่จะใช้ในการตรวจวัดทำได้โดยการเจือจางตัวอย่างด้วย assay buffer สำหรับในการทดสอบจะใช้ตัวอย่างตรวจที่ทำการเจือจางแล้ว เติมนลงในหลุม ปริมาตรหลุมละ 50 ไมโครลิตร จากนั้นเตรียม master reaction mix โดยใช้ assay buffer : Fluorescent Peroxidase Substrate : 12.5 มิลลิโมลาร์ของสารละลาย H_2O_2 ในอัตราส่วน 46 : 2 : 2 ทดสอบค่าการทำงานของเอนไซม์เปอร์ออกซิเดสในตัวอย่าง โดยการเติม master reaction mix ลงในแต่ละหลุม ปริมาตร 50 ไมโครลิตร ผสมให้เข้ากันโดย pipetting จากนั้นบ่มที่อุณหภูมิ 37 องศาเซลเซียส (หรือ 25 องศาเซลเซียส) เป็นเวลา 3 นาที แล้วทำการวัดค่า OD ที่ 570 นาโนเมตร เป็น T(initial) และวัด OD ต่อไปเรื่อยๆ ทุกๆ 2 นาที ในสภาวะไร้แสงตลอดระยะเวลาการบ่มที่อุณหภูมิ 37 องศาเซลเซียส (หรือ 25 องศา

เซลล์เซียส) จนกระทั่ง OD ของตัวอย่างนั้นๆ ได้ค่า OD ใกล้เคียงกับ linear range ค่าสูงสุดของกราฟมาตรฐาน ซึ่งจะถูกทำการวัดที่ 570 นาโนเมตร เป็น T(final) จากนั้น นำค่า OD ของ T(initial) และ T(final) มาใช้ในการคำนวณ ดังนี้

$$\text{Peroxidase activity (milliunit/mL)} = \frac{B \times \text{Sample Dilution Factor}}{(\text{Reaction Time}) \times V}$$

เมื่อ B = จำนวนโมลของ H₂O₂ (nmol) ที่ reduced ไประหว่าง T(initial) และ T(final)

3.4 การหาสภาวะที่เหมาะสม (optimization) สำหรับการตรวจวัดระดับครีเอทีนิน

3.4.1 การศึกษาค่าความเป็นกรด-ด่าง (pH) ที่เหมาะสมของตัวอย่างที่ใช้ในการตรวจด้วย enz-PADs

ในการศึกษาค่า pH ที่เหมาะสมของตัวอย่างทำการทดสอบโดยหาค่าความเข้มของสีที่เกิดขึ้นในส่วนของพื้นที่ตรวจวัดบน enz-PADs เมื่อทำปฏิกิริยากันระหว่างน้ำยาที่ถูกตรึงไว้กับตัวอย่างตรวจในที่นี้ใช้สารมาตรฐานครีเอทีนินที่ทำการเจือจางด้วย buffer ที่ pH ต่างๆ เพื่อให้ได้ความเข้มข้นของครีเอทีนินที่ใช้ในการทดสอบ คือ 5 และ 20 มิลลิกรัมต่อเดซิลิตร จากนั้นทำการจุ่มแถบตรวจลงในสารมาตรฐานครีเอทีนินที่ความเข้มข้นต่างๆ แล้วจับเวลาในการไหลของสารจนกระทั่งสารละลายไหลครอบคลุมในส่วนของพื้นที่ตรวจวัด เป็นเวลา 4 นาที แล้วยก enz-PADs ขึ้นจากหลุมตัวอย่าง รอให้สารละลายบน enz-PADs แห้ง ทำการบันทึกภาพโดยการสแกนด้วยเครื่องสแกนเอกสาร (HP Deskjet F370) หลังจากยก enz-PADs ขึ้นจากหลุมตัวอย่างเป็นเวลา 5 นาที แล้วนำไปหาค่าความเข้มของสีในพื้นที่อ่านปฏิกิริยา เพื่อใช้ในการแปลผลการทดสอบแล้วสร้างกราฟความสัมพันธ์ระหว่างค่า pH ของตัวอย่างตรวจและความเข้มของสีที่ได้จากปฏิกิริยาที่เกิดขึ้นในส่วนของพื้นที่ตรวจวัดบน enz-PADs จากนั้นเลือกใช้บัฟเฟอร์ที่เหมาะสมสำหรับเจือจางตัวอย่างปัสสาวะที่ใช้สีของปฏิกิริยาที่ดีที่สุดเพื่อนำไปใช้ในการทดสอบต่อไป

3.4.2 การศึกษาหาระยะเวลาการอ่านผลที่เหมาะสมของปฏิกิริยาด้วย enz-PADs

ในการศึกษาหาระยะเวลาที่เหมาะสมของการอ่านผลการทดสอบ ทำการทดสอบโดยหาค่าความเข้มข้นของสีที่เกิดขึ้นในส่วนของพื้นที่ตรวจวัดบน enz-PADs เมื่อทำปฏิกิริยากันระหว่างน้ำยาที่ถูกตรึงไว้กับตัวอย่างตรวจ เช่นเดียวกับข้อ 3.4.1 โดยใช้ 100 มิลลิโมลาร์ของสารละลายโพแทสเซียมฟอสเฟสบัฟเฟอร์ ที่ pH 7.5 เป็นตัวเจือจางสารมาตรฐานครีเอทีนิน เมื่อสารละลายไหลครอบคลุมในส่วนของพื้นที่ตรวจวัด เป็นเวลา 4 นาที จากนั้นทำการยก enz-PADs ขึ้นจากหลุมตัวอย่าง แล้วจับเวลาต่อเนื่องเป็นเวลา 15 นาที โดยสารละลายบนพื้นที่ตรวจวัดจะแห้งภายใน 3 นาทีแรก จากนั้นตั้งแต่นาทีที่ 3 ถึงนาทีที่ 15 ทำการสแกนผลการทดสอบทุกๆ 1 นาที เป็นจำนวน 13 ครั้ง นำผลการทดสอบที่ได้นำไปหาค่าความเข้มข้นบนพื้นที่ตรวจวัดแล้วสร้างกราฟความสัมพันธ์ระหว่างระยะเวลาในการอ่านผลการทดสอบกับความเข้มข้นของสีที่เกิดขึ้นจากปฏิกิริยาบน enz-PADs เพื่อหาระยะเวลาที่เหมาะสมในการอ่านผลการทดสอบต่อไป

3.5 การศึกษาคุณสมบัติของวิธีที่พัฒนาได้ (Characterisation)

3.5.1 การศึกษาหาช่วงความเป็นเส้นตรง (Linearity range) ในการตรวจวัด

ในการทดสอบช่วงความเป็นเส้นตรงในการตรวจวัดหาปริมาณครีเอทีนินด้วย enz-PADs ทำโดยการทดสอบปฏิกิริยาต่อสารมาตรฐานครีเอทีนินที่ความเข้มข้นต่าง ๆ ได้แก่ 0, 2.5, 5, 7.5, 10, 15, 20, 25 และ 40 มิลลิกรัมต่อเดซิลิตร โดยใช้ปริมาตรของสารมาตรฐาน 50 ไมโครลิตร เติมลงใน 96-wells plate โดย blank จะใช้ 100 มิลลิโมลาร์ของสารละลายโพแทสเซียมฟอสเฟสบัฟเฟอร์ที่ pH 7.5 เป็นตัวแทนของครีเอทีนินความเข้มข้นที่ 0 มิลลิกรัมต่อเดซิลิตร จากนั้นจุ่มแถบ enz-PADs ลงในหลุมเป็นเวลา 4 นาที ยกแถบ enz-PADs ขึ้นพร้อมกับซับสารละลายส่วนเกินออกด้วยกระดาษกรอง Whatman เบอร์ 1 จับเวลาต่อเป็นเวลา 7 นาที ดังนั้นระยะเวลาของปฏิกิริยาในการตรวจวัดคือ 11 นาที บันทึกผลการทดสอบด้วยเครื่องสแกนและแปลผลการทดสอบเป็นความเข้มข้นของสีที่เกิดขึ้นด้วยโปรแกรม Adobe photoshop CS2 โดยแต่ละความเข้มข้นทำการตรวจซ้ำกัน 3 ครั้ง และสร้างกราฟมาตรฐานแสดงความสัมพันธ์ระหว่างความเข้มข้นของครีเอทีนินและความเข้มข้นของสีที่เกิดขึ้นเมื่อทำการตรวจวัดด้วย enz-PADs เพื่อศึกษาช่วงความเป็นเส้นตรงในการตรวจวัดครีเอทีนินที่พัฒนาขึ้น

3.5.2 การศึกษาหาค่าความสามารถในการตรวจหาปริมาณครีเอตินินต่ำสุดที่สามารถตรวจพบได้ (limit of detection: LOD) ด้วย enz-PADs

การทดสอบค่าความสามารถในการตรวจหาปริมาณครีเอตินินต่ำสุดที่สามารถตรวจพบได้ ด้วย enz-PADs ที่พัฒนาได้ วิธีที่มี limit of detection (LOD) ต่ำๆ จะสามารถตรวจวัดสารที่มีปริมาณน้อยๆ ได้ดีหรือมีความไวมาก ซึ่งวิธีการการหาค่า LOD สามารถหาได้จากการทดลองวัด blank หรือตัวอย่างครีเอตินินที่ความเข้มข้น 0 มิลลิกรัมต่อเดซิลิตร 20 ครั้ง ซึ่งในงานวิจัยนี้ใช้ 100 มิลลิโมลาร์ของสารละลายโพแทสเซียมฟอสเฟตบัฟเฟอร์ ที่ pH 7.5 เป็น blank จากนั้นนำค่าความเข้มของสีที่วัดได้มาคำนวณหาส่วนเบี่ยงเบนมาตรฐาน (9) และนำมาหาค่า LOD จากสูตร

$$\text{Limit of detection (LOD)} = \frac{3 \times SD}{S}$$

เมื่อ SD คือ standard derivation ที่ได้จากการวัด blank 20 ครั้ง และ S คือ sensitivity ซึ่งหาได้จากค่าความชันจากการทำกราฟมาตรฐาน

3.5.3 การศึกษาสารรบกวนปฏิกิริยาการตรวจหาปริมาณครีเอตินินด้วย enz-PADs

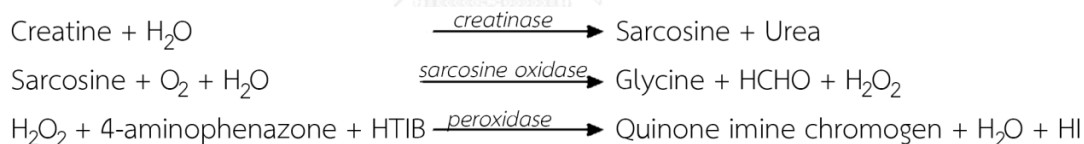
การศึกษาหาสารที่มีอยู่ในปัสสาวะที่อาจมีผลกระทบในการตรวจหาปริมาณครีเอตินิน สารที่มีการรายงานว่ามีการรบกวนในปฏิกิริยาการตรวจหาปริมาณครีเอตินิน อันได้แก่ กลูโคส (glucose) โปรตีนไข่ขาว (human serum albumin) ฮีโมโกลบิน (haemoglobin) วิตามินซี (ascorbic acid) บิลิรูบิน (bilirubin) และกรดยูริก (uric acid) (26) ถูกเลือกมาใช้ในการทดสอบโดยทำการเติมสารดังกล่าวลงไปในการมาตรฐานครีเอตินินที่ทราบความเข้มข้น และให้มีปริมาณสารครีเอตินินสุดท้ายมีความเข้มข้นที่ 10 มิลลิกรัมต่อเดซิลิตร จากนั้นทำการตรวจหาปริมาณครีเอตินินด้วย enz-PADs ที่พัฒนาขึ้น แล้วนำมาคำนวณหา %Measurment เปรียบเทียบกับปริมาณครีเอตินินก่อนและหลังการเติมสารรบกวนแต่ละตัวด้วยการคำนวณหาค่าความเข้มข้นจากความเข้มของสีที่ได้จากการตรวจหาปริมาณครีเอตินิน 10 มิลลิกรัมต่อเดซิลิตร จากสูตร

$$\% \text{Measurment} = \frac{\text{Creatinine concentration (no added)}}{\text{Creatinine concentration (added)}} \times 100$$

นอกจากนี้สารครีเอตินถูกนำมาทดสอบหาความเข้มข้นสูงสุดที่ไม่มีผลต่อการรบกวนปฏิกิริยาการตรวจวัดหาปริมาณของครีเอตินด้วย enz-PADs เนื่องจากครีเอตินเป็นสารที่สามารถพบได้ในปัสสาวะ ซึ่งปริมาณครีเอตินที่พบได้ในปัสสาวะจะแตกต่างกันไปในแต่ละบุคคล ต่างเพศ ต่างวัย (21) ซึ่งครีเอตินสามารถพบได้ในปัสสาวะในเพศชาย 0 – 40 มิลลิกรัมต่อวัน ในขณะที่เพศหญิงพบได้ 0 – 80 มิลลิกรัมต่อวัน และเนื่องจากคนปกติปัสสาวะจะถูกขับออกมาปริมาณ 1 – 2 ลิตร (17) ดังนั้นอาจกล่าวได้ว่า ในสภาวะการขับปัสสาวะ 1.5 ลิตรต่อวัน (22) ในเพศชายจะพบครีเอตินในปัสสาวะประมาณ 0 - 2.7 มิลลิกรัมต่อเดซิลิตร และในเพศหญิงจะพบครีเอตินในปัสสาวะประมาณ 0 - 5.3 มิลลิกรัมต่อเดซิลิตร และจากปฏิกิริยาของเอนไซม์ครีเอตินเนสสามารถเปลี่ยนครีเอตินไปเป็นครีเอตินได้ดังสมการ

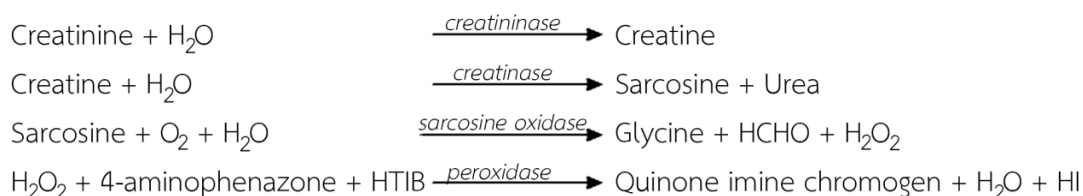


ดังนั้นครีเอตินที่มีอยู่แล้วในตัวอย่างปัสสาวะจะสามารถดำเนินปฏิกิริยาไปได้จนถึงปฏิกิริยาขั้นสุดท้ายและเกิดสีของ quinone imine chromogen ได้ดังสมการ



จึงมีการทดสอบความสามารถของน้ำยา R1 ซึ่งประกอบไปด้วยเอนไซม์ครีเอตินเนสและเอนไซม์ซาโคซีนออกซิเดสในการกำจัดครีเอตินในตัวอย่างตรวจ แล้วเกิดเป็น H_2O_2 ก่อนในพื้นที่ R1 บน enz-PADs จากนั้นเอนไซม์คาตาเลส (catalase) ในน้ำยา R1 จะทำหน้าที่ในการกำจัด H_2O_2 ที่เกิดขึ้นนั้น ตัวอย่างตรวจจะเคลื่อนที่ด้วยแรงแคปิลลารีของกระดาษนำเอาน้ำยา R1 เคลื่อนที่มาพร้อมกันแล้วเคลื่อนที่พาไปรวมตัวกับน้ำยา R2 ในพื้นที่ R2 ซึ่งมีสารโซเดียมเอไซด์ (sodium azide: NaN_3) ที่ทำหน้าที่ในการยับยั้งการทำงานของเอนไซม์คาตาเลส (64) และที่สำคัญในน้ำยา R2 มีเอนไซม์ครีเอตินเนส และเอนไซม์เปอร์ออกซิเดสอยู่มากเกินพอที่จะทำหน้าที่ในการเปลี่ยนครีเอตินที่มีอยู่ในตัวอย่างตรวจ เมื่อมีกลุ่มเอนไซม์ครบปฏิกิริยา คือ เอนไซม์ครีเอตินเนส เอนไซม์ครีเอตินเนส เอนไซม์ซาโคซีนออกซิเดส และเอนไซม์เปอร์ออกซิเดส ครีเอตินในตัวอย่างตรวจจะถูกเปลี่ยนเกิด

เป็นผลิตภัณฑ์ H_2O_2 ที่จะทำหน้าที่เปลี่ยนสารตั้งต้นให้เกิดสารประกอบเชิงซ้อนสีชมพูบนพื้นที่การตรวจวัด ซึ่งเป็นขั้นตอนในการตรวจหาปริมาณครีเอตินินในตัวอย่างอย่างแท้จริง ดังสมการ



ดังนั้น เพื่อเป็นการทดสอบความสามารถของ enz-PADs ที่พัฒนาขึ้นจากการใช้น้ำยาสำเร็จรูป Creatinine plus ver.2 ปริมาตรที่เหลือจากเครื่องวิเคราะห์อัตโนมัติ ในการกำจัด สารครีเอตินในตัวอย่างบนพื้นที่ R1 ก่อนเคลื่อนที่ไปยังพื้นที่ R2 สารครีเอติน แอนไฮดรัส (creatinine anhydrous) จึงถูกนำมาทดสอบหาความเข้มข้นสูงสุดที่เดิมลงในตัวอย่างตรวจ แล้วไม่รบกวนปฏิกิริยาการตรวจวัด ปริมาณครีเอตินิน ของ enz-PADs

3.5.4 การทดสอบหาความแม่นยำ (precision) และความสามารถในการทำซ้ำ (reproducibility) ของ enz-PADs

ทำการศึกษาความแม่นยำของ enz-PADs ที่พัฒนาขึ้น โดยนำ enz-PADs มาทดสอบกับสารมาตรฐานครีเอตินิน 5 และ 20 มิลลิกรัมต่อเดซิลิตร โดยทำการเตรียม enz-PADs ในสภาวะและเวลาเดียวกัน จำนวน 20 ชิ้น (ความเข้มข้นละ 10 ชิ้น) จากนั้นนำไปทดสอบค่าความแม่นยำภายใน 1 วัน (with-in day precision) ($n = 10$) และเตรียม enz-PADs สำหรับการตรวจวัดตัวอย่างในแต่ละวัน วันละ 20 ชิ้น (ความเข้มข้นละ 10 ชิ้น เป็นเวลาติดต่อกัน (3 วัน เพื่อทดสอบหาแม่นยำระหว่างวัน (between day precision) ($n = 30$))

นอกจากนี้ทำการทดสอบความแม่นยำกับตัวอย่างปัสสาวะที่มีค่าครีเอตินิน 12, 170 และ 330 มิลลิกรัมต่อเดซิลิตร ซึ่งเป็นตัวแทนค่าครีเอตินิน ค่าต่ำ กลาง และสูง ตามลำดับ โดยทำการเตรียม enz-PADs ในสภาวะและเวลาเดียวกัน จำนวน 60 ชิ้น จากนั้นนำไปทดสอบค่าความแม่นยำภายใน 1 วัน (with-in day precision) ($n = 20$) และเตรียม enz-PADs สำหรับการตรวจวัดตัวอย่างทั้ง 3 ระดับในแต่ละวัน วันละ 9 ชิ้น (ความเข้มข้นละ 3 ชิ้น เป็นเวลาติดต่อกัน (10 วัน เพื่อทดสอบหาแม่นยำระหว่างวัน (between day precision) ($n = 30$) แล้วนำมาหาค่าเฉลี่ย (mean) และส่วน

เบี่ยงเบนมาตรฐาน (9) จากนั้นนำผลที่ได้คำนวณหาค่าความแปรปรวน หรือ % coefficient of variations (%CV) ต่อไป

3.5.5 การทดสอบหาความคงตัว (stability) ของ enz-PADs

ศึกษาความคงตัวของ enz-PADs ที่พัฒนาขึ้น โดยทำการสร้าง enz-PADs ขึ้นในสถานะเดียวกัน จำนวน 180 อัน สำหรับใช้ทดสอบหาค่าความคงตัวระยะเวลา 20 วัน วันละ 9 อัน ซึ่งประกอบไปด้วย ทดสอบกับตัวอย่าง ได้แก่ สารมาตรฐานครีเอทีนความเข้มข้น 0, 5 และ 20 มิลลิกรัมต่อเดซิลิตร อย่างละ 3 ซ้ำ จากนั้นนำ enz-PADs ที่ได้ปิดผนึกด้วยเครื่องผนึกสุญญากาศ (vacuum sealer) เก็บไว้ในตู้เย็น 2-4 องศาเซลเซียส จนกว่าจะครบกำหนดเวลาในการทดสอบ โดยในแต่ละวันที่ทำการทดสอบจะนำค่าจากการทดสอบ enz-PADs ที่ถูกเตรียมขึ้นใหม่ ทดสอบกับสารมาตรฐานครีเอทีนที่ความเข้มข้น 10 มิลลิกรัมต่อเดซิลิตร ในวันนั้นๆ เป็นค่าเทียบมาตรฐาน เพื่อใช้ในการคำนวณหาค่าความเข้มข้นของตัวอย่างที่ทำการทดสอบ จากนั้นนำผลการทดสอบที่ได้คำนวณหาค่าเปอร์เซ็นต์ความคงตัวของ enz-PADs ดังสูตร

$$\text{เปอร์เซ็นต์ความคงตัวของ enz-PADs (\%)} = \frac{\text{ความเข้มข้นของครีเอทีนที่วัดได้ในแต่ละวัน} \times 100}{\text{ความเข้มข้นของครีเอทีนที่วัดได้ของ enz-PADs ที่เตรียมใหม่}}$$

3.5.6 การตรวจวัดปริมาณครีเอทีนในตัวอย่างปัสสาวะเปรียบเทียบกับวิธีที่ใช้โดยทั่วไปในห้องปฏิบัติการทางการแพทย์

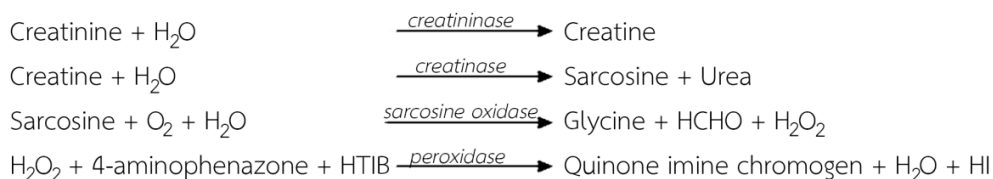
3.5.6.1 การสร้าง หลักการตรวจวัด และการแปลผลการตรวจวัดครีเอทีนด้วย enz-PADs

สำหรับการเตรียม enz-PADs ถ้าไม่กล่าวเป็นอย่างอื่น PADs จะถูกตรึงน้ำยา R1 ปริมาตร 5 ไมโครลิตร บริเวณช่องเลข 1 น้ำยา R2 ปริมาตร 2.5 ไมโครลิตร บริเวณช่องเลข 2 และ 100 มิลลิโมลาร์ของสารละลายโพแทสเซียมฟอสเฟตบัฟเฟอร์ ที่ pH 7.5 ปริมาตร 2.5 ไมโครลิตร บริเวณพื้นที่ตรวจวัด จากนั้นรอให้น้ำยาทั้งสองชนิดแห้งสนิทเป็นเวลา 30 นาที ดังรูปที่ 3.4



รูปที่ 3.4 ตัวอย่าง enz-PADs และพื้นที่การตรึงน้ำยา

หลักการการตรวจวัดหาปริมาณครีเอตินินในตัวอย่างตรวจเป็นไปตามหลักการของน้ำยา Creatinine plus ver.2 ดังสมการ

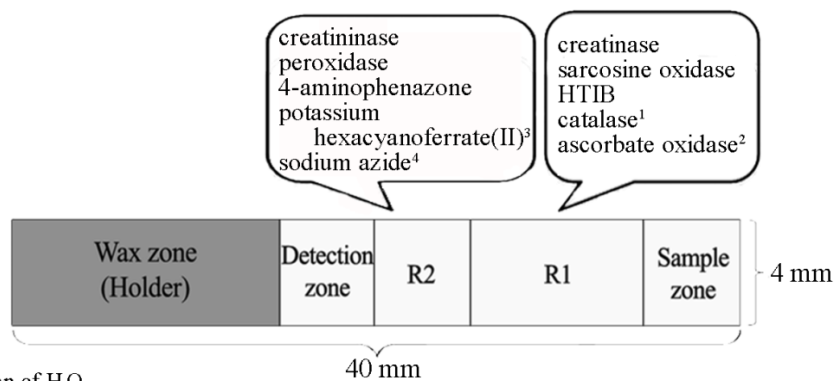


กล่าวคือ น้ำยา Creatinine plus ver.2 ประกอบไปด้วยน้ำยา R1 และน้ำยา R2 ซึ่งใช้ในการตรวจหาปริมาณครีเอตินินในตัวอย่างตรวจด้วยหลักการเอนไซม์ เอนไซม์ที่ทำหน้าที่ในการตรวจหาปริมาณครีเอตินิน คือ เอนไซม์ครีเอทีเนส (ในน้ำยา R1) เอนไซม์ซาโคซีนออกซิเดส (ในน้ำยา R1) เอนไซม์ครีเอทีเนส (ในน้ำยา R2) และเอนไซม์เปอร์ออกซิเดส (ในน้ำยา R2) โดยกลุ่มของเอนไซม์ดังกล่าวทำงานดังสมการข้างต้น เพื่อเปลี่ยนครีเอตินินในตัวอย่างตรวจเกิดเป็น H_2O_2 แล้วเปลี่ยน 4-aminophenazone และ HTIB โดยมีเอนไซม์เปอร์ออกซิเดสเร่งปฏิกิริยาเกิดเป็นสารประกอบเชิงซ้อนสีชมพูของ quinone imine chromogen ที่มีความสัมพันธ์โดยตรงกับความเข้มข้นของครีเอตินินในตัวอย่าง

สำหรับหลักการการทำงานของ enz-PADs ในการตรวจหาปริมาณครีเอตินินในตัวอย่างตรวจนั้น สามารถอธิบายได้ดังรูปที่ 3.5 ตัวอย่างตรวจจะทำปฏิกิริยากับน้ำยาบนพื้นที่ R1 ของ enz-PADs หากตัวอย่างตรวจมีครีเอทีนอยู่ เอนไซม์ครีเอทีเนส และเอนไซม์ซาโคซีนออกซิเดสในพื้นที่ R1 จะทำปฏิกิริยากับครีเอทีนแล้วเกิด H_2O_2 ซึ่งจะถูกกำจัดออก

จากปฏิกิริยาด้วยเอนไซม์คาตาเลสที่ผสมอยู่ในน้ำยา R1 นั้น ในระยะทาง 10 มิลลิเมตร เป็นเวลาประมาณ 2 นาที และเอนไซม์คาตาเลสจะถูกยับยั้งการทำงานด้วย NaN_3 (64) ที่มีอยู่ในน้ำยา R2 เมื่อสารผสมระหว่างตัวอย่างตรวจและน้ำยา R1 ที่ถูกดูดซับไว้บนพื้นที่ R1 เคลื่อนที่มายังพื้นที่ R2 ที่มีเอนไซม์ครีเอทีนเนส และเอนไซม์เปอร์ออกซิเดสถูกดูดซับไว้ ทำให้เอนไซม์สำหรับการตรวจวัดครีเอทีนเนสเกิดปฏิกิริยาและเกิดสารประกอบเชิงซ้อนสีชมพู (quinone imine chromogen) เคลื่อนที่จนถึงพื้นที่ตรวจวัด ซึ่งเป็นพื้นที่สำหรับการอ่านปฏิกิริยาที่เกิดขึ้น และสารละลายทั้งหมดจะสิ้นสุดและหยุดเคลื่อนที่ เนื่องจากมี hydrophobic holder zone เป็นส่วนที่กั้นน้ำหรือไม่ชอบน้ำกันไม่ให้สารผสมที่เกิดจากปฏิกิริยาไหลผ่านไปได้ ระยะเวลาตั้งแต่เริ่มจุ่ม enz-PADs ลงในหลุมตัวอย่างทั้งสิ้นรวมเป็น 4 นาที เมื่อครบเวลาแล้วทำการยก enz-PADs จากหลุม แล้วทำการซับน้ำส่วนเกินออก จากนั้นจับเวลาต่อไปอีก 7 นาที เพื่อการเกิดปฏิกิริยาและการพัฒนาของสีของ quinone imine ที่สมบูรณ์บนพื้นที่ตรวจวัดและบันทึกผลการทดสอบด้วยเครื่องสแกนภาพ (HP Deskjet F370) ด้วยความละเอียด 600 dot per inch (dpi) ชนิดไฟล์ JPEG จากนั้นหาค่าความเข้มของสีในพื้นที่ตรวจวัดขนาด 90 X 70 pixels ในโหมดสี (RGB mode) จาก histogram panel ด้วยโปรแกรม Photoshop CS2 ซึ่งค่าความเข้มสีที่ได้จากโปรแกรมเป็นค่าเฉลี่ยความเข้มสีในพื้นที่ที่ทำการตรวจวัดทั้งหมด จากนั้นสร้างกราฟมาตรฐานเพื่อใช้ในการคำนวณเทียบค่าปริมาณครีเอทีนเนสในตัวอย่างปัสสาวะที่ทำการตรวจไปพร้อมๆ กันต่อไป

นอกจากนี้ในพื้นที่ R1 มีเอนไซม์แอสคอร์เบทออกซิเดส สำหรับการกำจัดวิตามินซี ซึ่งเป็นสารรบกวนปฏิกิริยาและพื้นที่ R2 มีโพแทสเซียมเฮกซะไซยาโนเฟอร์เรต (42) สำหรับการกำจัดบิลิรูบิน ซึ่งเป็นสารรบกวนปฏิกิริยาอีกด้วย (36)



- ¹ for elimination of H₂O₂
² for elimination of interference from ascorbic acid
³ for elimination of interference from bilirubin
⁴ for inhibition of catalase

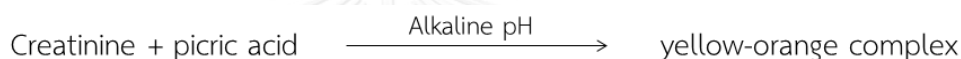
รูปที่ 3.5 หลักการทำงานของ enz-PADs ในการตรวจหาปริมาณครีเอทีนินในปัสสาวะ

3.5.6.2 การเปรียบเทียบการตรวจวัดครีเอทีนินระหว่าง enz-PADs และวิธีอัลคาไลน์พีเคทแบบโคเนติก

ในการตรวจวัดปริมาณครีเอทีนินในตัวอย่างปัสสาวะช่วงกลางจากเวลาแรกในการตื่นนอนตอนเช้าจากอาสาสมัครสุขภาพดีจำนวน 40 ราย นำปัสสาวะที่ได้มาปั่นตกตะกอนที่ 3,000 รอบต่อนาที เป็นเวลา 5 นาที จากนั้นนำส่วนใสมาเจือจางด้วย 100 มิลลิโมลาร์ของสารละลายโพแทสเซียมฟอสเฟตบัฟเฟอร์ ที่ pH 7.5 10-20 เท่า ก่อนการทดสอบด้วย enz-PADs ที่พัฒนาขึ้น

ก่อนการทำการตรวจวัดตัวอย่างปัสสาวะ จะทำการสร้างกราฟมาตรฐานแสดงความสัมพันธ์ระหว่างปริมาณครีเอทีนินและความเข้มสีที่ได้ก่อน เพื่อนำไปใช้ในการเปรียบเทียบผลการทดสอบที่ได้ โดยทำ enz-PADs พร้อมใช้งานจุ่มลง 96-wells plate ที่มีสารมาตรฐานครีเอทีนินที่ความเข้มข้นต่างๆ ได้แก่ 0, 2.5, 5, 7.5, 10, 15, 20 และ 25 มิลลิกรัมต่อเดซิลิตร ทำซ้ำความเข้มข้นละ 3 ครั้ง จากนั้นสร้างกราฟมาตรฐานเพื่อใช้ในการคำนวณเทียบค่าปริมาณครีเอทีนินในตัวอย่างปัสสาวะที่ทำการตรวจไปพร้อมๆ กันต่อไป โดยขั้นตอนในการทดสอบเป็นไปตามข้อ 3.5.6.1

จากนั้นนำตัวอย่างปัสสาวะทั้ง 40 ตัวอย่างที่ผ่านการปั่นตกตะกอนแล้ว นำเอาส่วนใสมาทำการเจือจางปัสสาวะด้วยน้ำกลั่น 50 เท่า ก่อนนำมาทำการตรวจหาปริมาณครีเอตินินด้วยวิธีอัลคาไลน์พิกเรทแบบไคเนติก (kinetic alkaline picrate method) โดยใช้น้ำยาตรวจวิเคราะห์ทางเคมีคลินิกที่ใช้ทั่วไปทางห้องปฏิบัติการทางการแพทย์ (Creatinine Liquicolor, Human diagnostic, Germany) ตามวิธีที่พัฒนามาจากวิธีของแจฟฟี คือในสภาวะเป็นด่างครีเอตินิน จะรวมตัวกับ picric acid ได้เป็นสารประกอบสีเหลืองส้ม อัตราการเกิดสี (ความเข้มของสี) เป็นสัดส่วนโดยตรงกับความเข้มข้นของครีเอตินินในตัวอย่างตรวจ การวัดใช้ rate – blanking เพื่อลดการรบกวนจากบิลิรูบิน ดังสมการ



ทำการวัด OD ที่ 500 nm ด้วยเครื่องสเปกโตรมิเตอร์ (Evolution 600) โดยทำการเตรียมน้ำยาพร้อมใช้งาน (working reagent) ดังนี้ 1) เจือจาง NaOH ด้วยน้ำกลั่นในอัตราส่วน 1 : 4 (1 + 4) 2) ผสมสารละลายกรดพิกริก (Picric acid solution) กับ NaOH ที่ทำการเจือจางแล้วจาก 1) ในอัตราส่วน 1 : 1 (1 + 1) 3) เจือจางตัวอย่างปัสสาวะด้วยน้ำกลั่น 50 เท่า จากนั้นผสม working reagent 1000 ไมโครลิตร กับตัวอย่างตรวจ 100 ไมโครลิตร ผสมให้เข้ากัน แล้วจับเวลา 30 วินาที แล้วอ่านค่า OD ที่ 500 นาโนเมตร กำหนดให้เป็น A1 จากนั้นจับเวลาต่อไปอีก 2 นาที เมื่อครบเวลาอ่านค่า OD ที่ 500 นาโนเมตรอีกครั้ง กำหนดให้เป็น A2 จากนั้นนำค่า A2 - A1 นำค่า OD ที่ได้ไปเปรียบเทียบกับ OD ที่ได้จากการตรวจวัดค่าสารมาตรฐานครีเอตินินที่ความเข้มข้น 2 มิลลิกรัมต่อเดซิลิตร เมื่อได้ค่าความเข้มข้นครีเอตินินในตัวอย่างตรวจแล้ว นำผลที่ได้มาศึกษาความสอดคล้องของผลการตรวจวัดปริมาณครีเอตินินที่ได้จาก enz-PADs ที่พัฒนาขึ้นในงานวิจัยนี้ โดยนำมาศึกษาความสัมพันธ์ระหว่างสองวิธีโดยใช้สถิติ paired sample t-test เพื่อใช้ในการเปรียบเทียบค่าเฉลี่ยของการตรวจวัดทั้งสองวิธี ทดสอบความสัมพันธ์โดยใช้วิเคราะห์ค่า correlation coefficient โดยใช้โปรแกรม

Sigmaplot และศึกษาความสอดคล้องของวิธีตรวจทั้งสองด้วยสถิติ Bland and Alman plot และ Passing-bablok regression

3.5.6.3 การเปรียบเทียบการตรวจวัดครีเอทีนินระหว่าง enz-PADs และวิธี เอนไซม์ด้วยเครื่องตรวจวิเคราะห์อัตโนมัติ

ทำการทดสอบตรวจหาค่าครีเอทีนินในตัวอย่างปัสสาวะช่วงกลางจากเวลาแรกในการตื่นนอนตอนเช้าจากอาสาสมัครจำนวน 50 ตัวอย่าง มาทำการปั่นตกตะกอนที่ 3,000 รอบต่อนาที เป็นเวลา 5 นาที จากนั้นนำส่วนใสมาเจือจางด้วย 100 มิลลิโมลาร์ของ สารละลายโพแทสเซียมฟอสเฟตบัฟเฟอร์ ที่ pH 7.5 จำนวน 10 - 20 เท่า สำหรับการตรวจวัดปริมาณครีเอทีนินด้วย enz-PADs ทำเช่นเดียวกับข้อที่ 3.5.6.2 สำหรับผลการตรวจวัดค่าความเข้มของสีที่ได้ที่ต่ำกว่าค่าของ blank จะทำการลดการเจือจางตัวอย่างปัสสาวะนั้นๆ ลงจนสามารถวัดได้ด้วย enz-PADs ที่พัฒนาขึ้น โดยผลการทดสอบที่ได้จากวิธี enz-PADs จะถูกนำมาเปรียบเทียบกับค่าการตรวจวัดครีเอทีนินในตัวอย่างเดียวกัน ด้วยหลักการเอนไซม์เช่นกัน คือ colorimetric enzymatic method โดยตัวอย่างปัสสาวะที่เก็บจากอาสาสมัคร 50 ราย จะถูกนำส่งไปยังบริษัท โปรเฟสชันแนล ลาโบราทอรี แมเนจเม้นท์ คอร์ป จำกัด (Professional Laboratory Management) หรือ Prolab เพื่อตรวจหาปริมาณครีเอทีนิน แล้วนำมาศึกษาความสัมพันธ์ระหว่างสองวิธีโดยใช้สถิติ paired sample t-test เพื่อใช้ในการเปรียบเทียบค่าเฉลี่ยของการตรวจวัดทั้งสองวิธี ทดสอบความสัมพันธ์โดยวิเคราะห์ค่า correlation coefficient โดยใช้โปรแกรม Sigmaplot และศึกษาความสอดคล้องของวิธีตรวจทั้งสองด้วยสถิติ Bland and Alman plot และ Passing-bablok regression ต่อไป

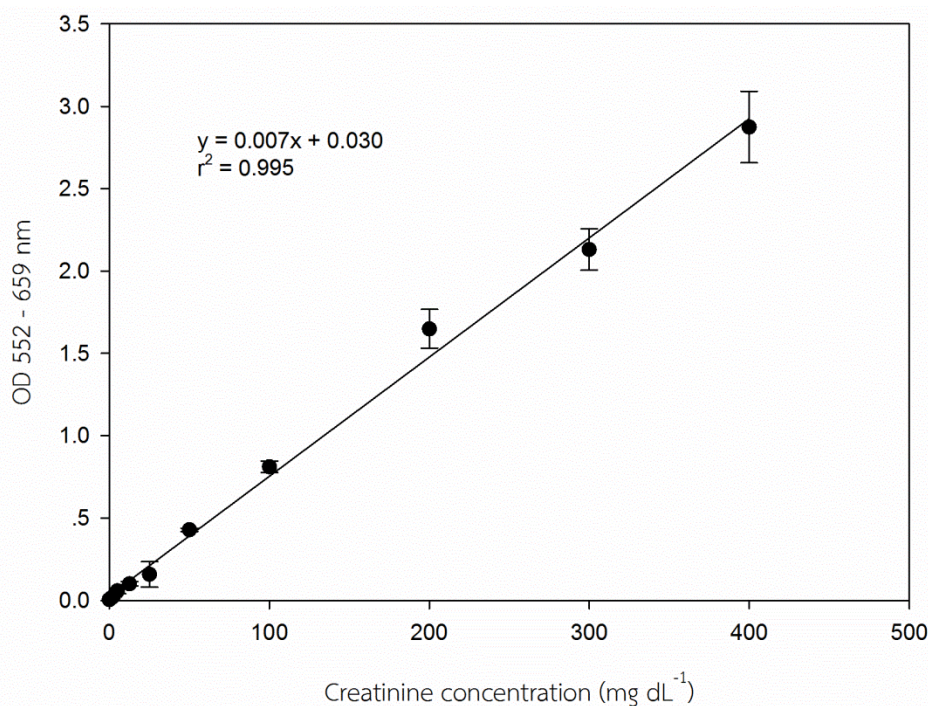
บทที่ 4

ผลการทดลองและวิจารณ์ผลการทดลอง

1. ผลการทดสอบความสามารถในการเกิดปฏิกิริยาของน้ำยา Creatinine plus ver. 2 ในหลอดทดลองและบนกระดาษ

1.1 ผลการทดสอบปฏิกิริยาของน้ำยาในหลอดทดลอง โดยทดสอบความไวในการเกิดสีของน้ำยา โดยวัด OD ที่ 552/659

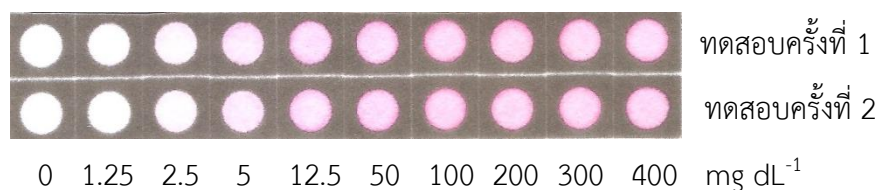
การทดสอบปฏิกิริยาของน้ำยา Creatinine plus ver.2 ที่นำมาประยุกต์ใช้ในงานวิจัยนี้พบว่า เมื่อนำสารมาตรฐานครีเอตินินที่ความเข้มข้นตั้งแต่ 0, 1.25, 2.5, 5, 12.5, 50, 100, 200, 300 และ 400 มิลลิกรัมต่อเดซิลิตร มาทดสอบตามขั้นตอนของเอกสารแนบประกอบน้ำยาด้วยเครื่อง microplate reader (Synergy Mx, BioTek) โดยแต่ละความเข้มข้นทำซ้ำ 2 ครั้ง ช่วงค่าความเป็นเส้นตรงที่น้ำยา Creatinine plus ver.2 สามารถตรวจวัดหาปริมาณครีเอตินินได้คือ 0 – 400 มิลลิกรัมต่อเดซิลิตร และมีความสัมพันธ์เชิงเส้น หรือ $r^2 = 0.995$ ได้ตั้งรูปที่ 4.1 โดยความชันของกราฟมาตรฐานหรือความไวสำหรับการทดสอบนี้คือ 0.007 มิลลิกรัมต่อเดซิลิตร ต่อหน่วยการดูดกลืนแสง ซึ่งช่วงค่าความเป็นเส้นตรงที่ได้จากการทดสอบนี้นำไปสู่การทดสอบการเกิดปฏิกิริยาของสีบนกระดาษกรองต่อไป ทั้งนี้ผลการทดสอบที่ได้ให้ช่วงความสามารถในการตรวจวัดไม่ต่างจากการตรวจวิเคราะห์ด้วยเครื่องวิเคราะห์อัตโนมัติ คือ 1.13 – 452 มิลลิกรัมต่อเดซิลิตร (ข้อมูลจากเอกสารประกอบน้ำยา) ในสภาวะการเจือจางตัวอย่างปัสสาวะด้วยน้ำกลั่น 20 เท่า



รูปที่ 4.1 กราฟมาตรฐานของปริมาณครีเอตินินที่ OD 552/659 นาโนเมตร ของน้ำยา Creatinine plus ver.2

1.2 ผลการศึกษาการเกิดปฏิกิริยาบนกระดาษกรอง

ผลการศึกษาปฏิกิริยาการเกิดสีบนกระดาษกรอง (Whatman no.1) โดยผสมน้ำยา R1 และ R2 ใน สัดส่วน 77 ไมโครลิตร ต่อ 38 ไมโครลิตร เพื่อให้ได้น้ำยาพร้อมใช้งาน (mix reagent) จากนั้น ตีring mix reagent จำนวน 3 ไมโครลิตร ลงบนกระดาษกรอง รอให้น้ำยาที่ตีring ลงไปแห้งสนิทเป็นเวลา 10 นาที แล้วหยดสารมาตรฐานครีเอตินิน 0, 1.25, 2.5, 5, 12.5, 50, 100, 200, 300 และ 400 มิลลิกรัมต่อเดซิลิตร จำนวน 3 ไมโครลิตร ลงบนกระดาษที่ตีring น้ำยาไว้ จากนั้นรอปฏิกิริยาเป็นเวลา 10 นาที เพื่อให้ น้ำยา Creatinine plus ver.2 ทำปฏิกิริยากับสารมาตรฐานครีเอตินินที่ความเข้มข้นต่างๆ และบันทึกผลการทดสอบด้วยเครื่องสแกน พบว่าที่ได้สีของปฏิกิริยาบนกระดาษเริ่มเห็นสีชมพูอ่อนตั้งแต่ความเข้มข้นของครีเอตินิน 5 มิลลิกรัมต่อเดซิลิตร และสีที่เกิดขึ้นเริ่มคงที่ที่ความเข้มข้นครีเอตินิน 100 มิลลิกรัมต่อเดซิลิตร ซึ่งสีที่เกิดขึ้นในช่วงครีเอตินิน 5 - 100 มิลลิกรัมต่อเดซิลิตรให้ความเข้มสีที่ไม่แตกต่างกันมาก (สังเกตด้วยตาเปล่า) ทำให้ยากที่จะสามารถบอกถึงปริมาณของ ครีเอตินินในแต่ละความเข้มข้นได้อย่างชัดเจน ดังรูปที่ 4.2

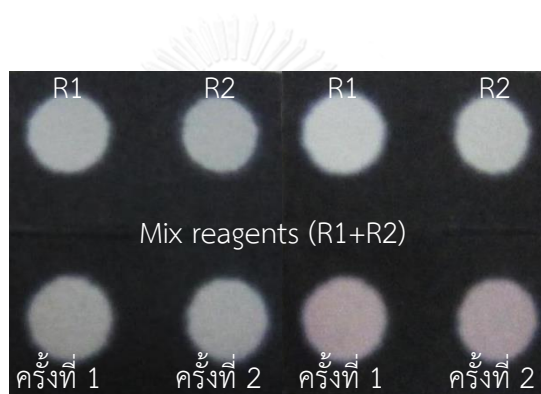


รูปที่ 4.2 ผลการตรวจวัดปฏิกิริยาการเกิดสีบนกระดาษกรอง (Whatman no.1) เมื่อทำปฏิกิริยากับ ครีเอตินีนความเข้มข้นต่างๆ

จากการศึกษาการเกิดปฏิกิริยาของกลุ่มเอนไซม์ในน้ำยา Creatinine plus ver.2 พบว่า การแยกน้ำยา R1 และ R2 ก่อนทำปฏิกิริยากับตัวอย่างตรวจมีความสำคัญในเรื่องของการกำจัดสาร ครีเอตินที่มีอยู่เดิมในตัวอย่างตรวจ ในขั้นตอนการเติมน้ำยา R1 คือ น้ำยา R1 ประกอบไปด้วย เอนไซม์ครีเอทีเนส และซาโคซีนออกซิเดส ซึ่งเอนไซม์ทั้งสองชนิด จะทำปฏิกิริยากับตัวอย่างตรวจ ก่อน เพื่อกำจัดครีเอตินที่มีในตัวอย่างก่อนเกิดเป็น H_2O_2 ซึ่งเอนไซม์คาตาเลสในน้ำยา R1 จะทำหน้าที่ในการกำจัด H_2O_2 ที่เกิดขึ้น โดยเอนไซม์คาตาเลสนี้จะถูกยับยั้งด้วย NaN_3 ในน้ำยา R2 ทำให้ไม่รบกวนปฏิกิริยาของเอนไซม์เปอร์ออกซิเดส โดยเมื่อมีการเติมน้ำยา R2 ที่มีเอนไซม์ครีเอทีเนส และเอนไซม์เปอร์ออกซิเดสเข้าไปในปฏิกิริยา ครีเอตินในตัวอย่างตรวจจะเริ่มทำปฏิกิริยากับกลุ่มของเอนไซม์ทั้ง 4 ชนิด เกิดผลิตภัณฑ์เป็น H_2O_2 และเกิดสารประกอบเชิงซ้อนสีชมพูที่สามารถวัดค่าความเข้มสีได้ต่อไป จากผลการทดสอบข้างต้นและความรู้ทางหลักการเอนไซม์ของน้ำยานำไปสู่การออกแบบแบบที่เหมาะสมในการสร้าง enz-PADs ต่อไป ดังนั้น ในงานวิจัยนี้จึงได้พัฒนาออกแบบอุปกรณ์ตรวจวิเคราะห์บนกระดาษด้วยหลักการเอนไซม์ (enz-PADs) ในการหาปริมาณครีเอตินินในปัสสาวะ โดยทำการแยกพื้นที่ในการดูดซับเอนไซม์ในน้ำยา R1 และ R2 แยกออกจากกัน และอาศัยการเคลื่อนที่ของสารละลายตัวอย่างที่จะเคลื่อนที่ขึ้นมาตามแนวกระดาษหรือ enz-PADs ด้วยแรงแคปิลลารี ซึ่งหลักการเคลื่อนที่นี้จะเป็นการเพิ่มปริมาตรตัวอย่างในการตรวจวัด ซึ่งมีประโยชน์ในการเพิ่มความไวในการตรวจวัดของ enz-PADs ที่พัฒนาขึ้น

ทั้งนี้หากนำน้ำยา Creatinine plus ver.2 มาผสมกันระหว่างน้ำยา R1 และ R2 แล้ว เมื่อเวลาผ่านไปน้ำยาทั้งสองจะสามารถทำปฏิกิริยากันเอง ทำให้เกิดสีชมพูอ่อนเกิดขึ้น เนื่องจากผลการเกิดปฏิกิริยาระหว่างเอนไซม์เปอร์ออกซิเดส ในน้ำยา R1 ที่สามารถรีดิวซ์ HTIB ในน้ำยา R2 โดยมี 4-aminophenazone ที่มีอยู่ในน้ำยา R1 ทำหน้าที่เป็นสาร co-oxidation ของ HTIB ทำให้เกิด

background ของสีขึ้นเองได้ ดังรูปที่ 4.3 แสดงผลการทดสอบเมื่อทำการหยด mix reagent ลงบนกระดาษ สังเกตสีของน้ำยาที่ถูกตรึงที่เปลี่ยนไปเป็นสีชมพูอ่อนเมื่อเวลาผ่านไป 5 ชั่วโมง (รูปซ้าย) และจะเข้มขึ้นอย่างเห็นได้ชัดจนเมื่อทิ้งไว้ข้ามคืน (รูปขวา) ประกอบกับผลการทดสอบเบื้องต้นแสดงให้เห็นว่าการใช้ mix reagent ในการตรึงบนกระดาษทันทีไม่เหมาะสมต่อการสร้างอุปกรณ์ตรวจหาปริมาณครีเอทีนินบนกระดาษกรอง Whatman No.1 เนื่องจากผลการทดสอบเบื้องต้นที่ได้ไม่สามารถแยกความเข้มข้นต่างๆ ของครีเอทีนินได้อย่างชัดเจน และการผสมน้ำยาทิ้งไว้จะทำให้เกิดสีชมพูอ่อนได้เองจึงนำไปสู่การออกแบบอุปกรณ์ตรวจวัดให้มีรูปแบบที่เหมาะสมต่อไป

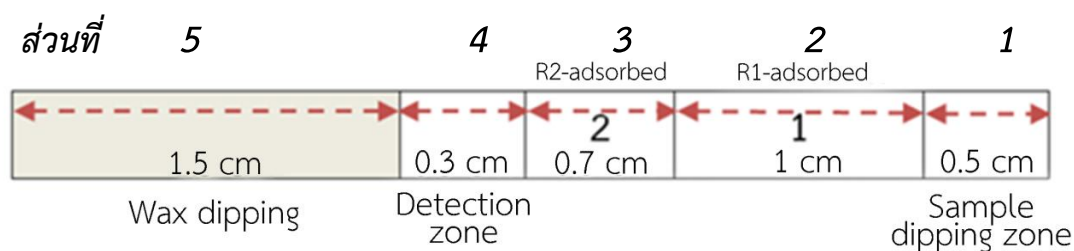


รูปที่ 4.3 ผลการตรึงน้ำยาแบบผสมบนกระดาษ และทิ้งไว้ที่อุณหภูมิห้อง

2. ผลการศึกษาการสร้างอุปกรณ์ตรวจวิเคราะห์บนกระดาษสำหรับตรวจวัดครีเอทีนินด้วยหลักการเอนไซม์

2.1 ผลการออกแบบ และการสร้าง enz-PADs ที่เหมาะสมต่อการตรวจวัด

สำหรับแบบ enz-PADs ที่เหมาะสมสำหรับการตรวจวัดปริมาณครีเอทีนิน ออกแบบได้โดยแบ่งพื้นที่ออกเป็น 5 ส่วน ดังต่อไปนี้ ส่วนที่ 1 คือ sample dipping zone เป็นพื้นที่สำหรับจุ่มลงในหลุมที่มีตัวอย่างตรวจ (4x5 มิลลิเมตร) เพื่อให้ครีเอทีนินทำปฏิกิริยากับน้ำยาที่ถูกตรึงไว้ในพื้นที่ส่วนที่ 2 ที่มีเอนไซม์ครีเอทีเนส และเอนไซม์ซาโคซินออกซิเดสถูกดูดซับไว้ด้วยวิธีทางกายภาพ (physical adsorption) โดยเทคนิคการปิเปตต์น้ำยา R1 ลงบนกระดาษ เพื่อให้ตัวอย่างตรวจได้ทำปฏิกิริยากับครีเอทีนินในตัวอย่างในพื้นที่ R1 (4x10 มิลลิเมตร) ในระยะทาง 10 มิลลิเมตร เป็นเวลาประมาณ 2 นาที โดย H_2O_2 จะถูกกำจัดออกจากปฏิกิริยาด้วยเอนไซม์คาตาเลสที่มีในน้ำยา R1 ก่อน จากนั้นแม้ว่าเอนไซม์คาตาเลสได้เคลื่อนที่ไปยังบริเวณของ R2 ก็จะถูกยับยั้งการทำงานด้วย NaN_3 (64) ที่มีอยู่ในน้ำยา R2 ปฏิกิริยาการวัดครีเอทีนินเกิดสมบูรณ์เมื่อเอนไซม์จาก R1 เคลื่อนที่มายัง R2 (4x7 มิลลิเมตร) ที่มีเอนไซม์ครีเอทีเนส และเอนไซม์เปอร์ออกซิเดส แล้วเกิดสารประกอบเชิงซ้อนที่มีสีในส่วนที่ 4 คือ detection zone เป็นพื้นที่สำหรับการอ่านปฏิกิริยาที่เกิดขึ้น (4x3 มิลลิเมตร) และสารละลายทั้งหมดจะสิ้นสุดและหยุดเคลื่อนที่ที่ส่วนที่ 5 hydrophobic holder zone ซึ่งเป็นส่วนที่จับของ enz-PADs และเป็นส่วนที่กับน้ำหรือไม่ชอบน้ำ (4x15 มิลลิเมตร) จึงสามารถกั้นไม่ให้สารผสมที่เกิดจากปฏิกิริยาไหลผ่าน เพื่อให้การเกิดปฏิกิริยาสมบูรณ์และอยู่ในพื้นที่ตรวจวัดเท่านั้น และสามารถบันทึกผลการทดสอบและแปลผลต่อไป ดังแสดงในรูปที่ 4.4



รูปที่ 4.4 แผนภาพส่วนประกอบต่างๆ บน enz-PADs

ทั้งนี้ พื้นที่สำหรับการดูดซับน้ำยา R1 และ R2 ถูกออกแบบขนาดให้พอเหมาะกับปริมาตรของน้ำยาที่ใช้ และเหมาะสมต่อการป้องกันการสัมผัสกันของน้ำยาทั้งสองเป็นที่เรียบร้อยแล้ว

2.2 ผลการศึกษาชนิดของกระดาษกรองที่เหมาะสมต่อการสร้าง enz-PADs

กระดาษกรองเบอร์ 1, 3 และ 42 ถูกเลือกนำมาใช้ในการทดสอบ เพื่อเลือกชนิดกระดาษกรองที่เหมาะสมในการสร้าง enz-PADs พบว่า กระดาษกรองเบอร์ 3 เหมาะสมในการเกิดปฏิกิริยาของ enz-PADs มากที่สุด ผลการทดสอบดังแสดงในตารางที่ 4.1 เนื่องจากการเกิดสีของปฏิกิริยาในส่วนพื้นที่ตรวจวัดให้ผลที่เรียบเนียนที่สุด อันเนื่องมาจากกระดาษกรองเบอร์ 3 มีขนาดของรูพรุนเท่ากับ 6 ไมโครเมตร ซึ่งเหมาะสมในการเกิดปฏิกิริยามากที่สุด เมื่อเปรียบเทียบกับกระดาษกรองเบอร์ 1 ที่มีขนาดรูพรุนเท่ากับ 11 ไมโครเมตร นั่นคือ ความแตกต่างของขนาดของรูพรุนกระดาษมีผลต่ออัตราการไหลของของเหลว กระดาษกรองเบอร์ 3 มีอัตราการไหลอยู่ที่ 90 วินาทีต่อของเหลวปริมาตร 100 มิลลิลิตร ในขณะที่กระดาษกรองเบอร์ 1 มีอัตราการไหลที่เร็วกว่า คือ 40 วินาทีต่อของเหลวปริมาตร 100 มิลลิลิตร ซึ่งอัตราการไหลของสารที่เร็วกว่าของกระดาษกรองเบอร์ 1 นี้ทำให้การพัฒนาการเปลี่ยนแปลงของสีในปฏิกิริยาบนพื้นที่ตรวจวัดให้ผลการทดสอบในลักษณะหัวจรวด (rocket-like shape) คือ สีของพื้นที่ตรวจวัดจะมีลักษณะสีเข้มติดเฉพาะส่วนของขอบๆ ในขณะที่ตรงกลางจะมีสีซีดจางกว่า ทำให้เมื่อนำภาพที่ได้จากการสแกนไปประมวลผลออกมาเป็นค่าความเข้มของสี มีความคลาดเคลื่อนจากลักษณะที่ปรากฏดังกล่าว การเป็นเนื้อเดียวกันของสีที่เกิดบนส่วนพื้นที่ตรวจวัด อาจจะทำให้ผลดีขึ้นหากเลือกชนิดของกระดาษที่ให้อัตราการไหลของสารที่ช้าลง จึงได้ทดสอบเพิ่มเติมด้วยกระดาษกรองเบอร์ 42 ซึ่งมีขนาดของรูพรุน 2.5 ไมโครเมตร และอัตราการไหลของของเหลว 240 วินาทีต่อ 100 มิลลิลิตร แต่ผลการทดสอบพบว่า การเกิดสีของปฏิกิริยาบนส่วน detection zone ของกระดาษกรองเบอร์ 3 ให้สีที่เรียบเนียนกว่ากระดาษกรองเบอร์ 42 (หนา 200 นาโนเมตร) จากการเปรียบเทียบคุณสมบัติของกระดาษทั้งสองชนิด พบว่า กระดาษกรองเบอร์ 3 มีคุณสมบัติพิเศษ คือ มีความหนา (390 นาโนเมตร) ที่เหมาะสมในการดูดซับสารละลาย (adsorption) ซึ่งในงานวิจัยนี้ อาศัยแรงแคปิลลารีของกระดาษ เพื่อดูดเอาสารละลายตัวอย่างให้เคลื่อนที่ขึ้นมาตามแนวกระดาษ โดยกระดาษกรองเบอร์ 3 มีความสามารถในการดูดซับสารละลายได้ดี จึงทำให้ลดอัตราการเคลื่อนที่ของของเหลวไปยังพื้นที่ตรวจวัดได้ ส่งผลให้เกิดสีหรือสารประกอบสีเชิงซ้อนบนพื้นที่ตรวจวัดเกิดอย่างสมบูรณ์มากขึ้น ทั้งกระดาษกรองเบอร์ 3 (742 บาท*) มีราคาที่ถูกกว่ากระดาษกรองเบอร์ 42 (1400 บาท*) ประมาณ 2 เท่า ดังนั้น กระดาษกรองเบอร์ 3 จึงเหมาะสมที่สุดที่จะนำมาใช้ในการสร้างอุปกรณ์ตรวจวัดครีเอทีนิน บนกระดาษในงานวิจัยนี้ ทั้งนี้ขนาดของพื้นที่ตรวจวัด

รูปสี่เหลี่ยม ขนาด 4x3 มิลลิเมตรบนกระดาษกรองเบอร์ 3 เหมาะสมต่อการเห็นสีของปฏิกิริยาได้ด้วยตาเปล่า และสามารถวัดหาค่าความเข้มข้นของสีเพื่อการแปลผลการทดสอบต่อไปได้

(*) อ้างอิงจากราคากระดาษกรองจาก Sigma-Aldrich® ราคาต่อ 1 กล่อง (100 แผ่น) ขนาดเส้นผ่านศูนย์กลางกระดาษ 90 มิลลิเมตร

ตารางที่ 4.1 ผลการทดสอบของปฏิกิริยาของ enz-PADs ที่สร้างด้วยกระดาษกรอง (Whatman) เบอร์ 1, 3 และเบอร์ 42



		ชนิดของกระดาษที่ทำมาใช้ในการสร้าง enz-PADs								
		กระดาษกรองเบอร์ 1			กระดาษกรองเบอร์ 3			กระดาษกรองเบอร์ 42		
ความเข้มข้นของครีเอทีนีน	0 mg dL ⁻¹									
	2.5 mg dL ⁻¹									
	20 mg dL ⁻¹									

หมายเหตุ: ลูกศร แสดงการเกิดสีบนกระดาษลักษณะหัวจรวด (rocket-like shape)

2.3 ผลการศึกษาสีของปฏิกิริยาที่เกิดขึ้นบนพื้นที่ตรวจวัดของ enz-PADs ที่พัฒนาขึ้น

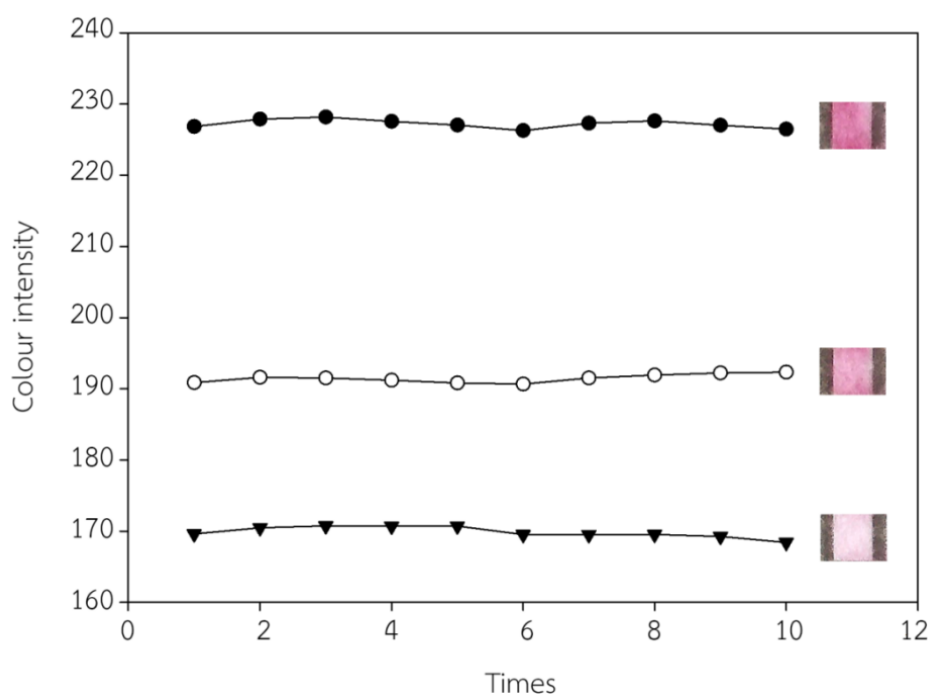
จากผลการทดสอบข้างต้น เมื่อสร้าง enz-PADs ด้วยกระดาษกรองเบอร์ 3 และทดสอบเบื้องต้นกับสารมาตรฐานครีแอนินทีนที่ความเข้มข้นต่างๆ พบว่า สีจากปฏิกิริยาที่เกิดขึ้นยังไม่สม่ำเสมอ ยังคงพบลักษณะหัวจรวด (rocket-like shape) ในบริเวณส่วนของพื้นที่ตรวจวัด โดยเฉพาะอย่างยิ่งเมื่อทำการทดสอบกับสารมาตรฐานครีแอนินทีนที่มีความเข้มข้นสูง การเกิดลักษณะดังกล่าวจะทำให้ผลการวัดความเข้มสีบนพื้นที่ตรวจวัดขัดแย้งกับความเข้มสีที่มองเห็นด้วยตาเปล่า ดังผลการอ่านค่าความเข้มสีในตารางที่ 4.2 เพื่อทดสอบการอ่านค่าความเข้มสีบนพื้นที่ตรวจวัดของที่ให้สีที่เรียบเนียน เปรียบเทียบกับผลการทดสอบที่มีลักษณะหัวจรวด ซึ่งในงานวิจัยนี้วัดความเข้มสีบนพื้นที่เกิดปฏิกิริยาด้วยโปรแกรม Adobe photoshop CS2 จาก histogram panel ของโปรแกรม โดยกำหนดขนาดของพื้นที่การวัดคงที่ที่ 70X90 pixels ซึ่งครอบคลุมพื้นที่ของพื้นที่ตรวจวัดเกือบทั้งหมด ซึ่งความเข้มสีที่อ่านได้เป็นค่าเฉลี่ยของความเข้มสีในพื้นที่ทำการตรวจวัดทั้งหมด โดยผลการวัดค่าความเข้มสีของภาพที่เกิดสีสม่ำเสมอ คือ 82.76 ในขณะที่ภาพที่ให้ลักษณะ rocket-like shape มีความเข้มสี 64.66 ซึ่งเป็นค่าที่แตกต่างกันมาก นำไปสู่การแปลผลความเข้มข้นที่ผิดพลาดต่อไป

ตารางที่ 4.2 เปรียบเทียบค่าความเข้มสีที่วัดได้ระหว่างการเกิดสีของปฏิกิริยาในส่วนของ detection zone ที่เรียบเนียน และเป็น rocket-like shape

ภาพที่ได้จากการสแกน	ความเข้มของสี (colour intensity)		
	Blank	Test	Result
 Detection zone ให้สีของปฏิกิริยาที่เรียบเนียน	249.00	166.24	82.76
 Detection zone ให้สีของปฏิกิริยาเป็น rocket-like shape	249.36	184.7	64.66





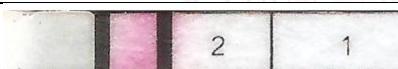
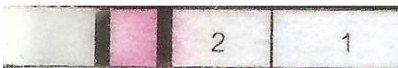

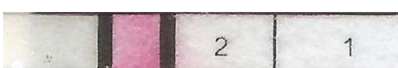


ผู้วิจัยจึงได้ทำการทดสอบเพิ่มเติมเพื่อหาสารที่ใช้ในการดูดซับไว้บนส่วน detection zone ที่เหมาะสมก่อนนำมาใช้ทดสอบตรวจหาปริมาณครีเอทีนินต่อไป จึงทำการทดสอบโดยใช้น้ำกลั่น (distilled water) และสารละลายโพแทสเซียมฟอสเฟสบัฟเฟอร์ (potassium phosphate buffer) pH 7.5 ปริมาตร 2.5 ไมโครลิตร โดยหยดบริเวณพื้นที่ตรวจวัดเปรียบเทียบกับกรณีไม่มีสารใดๆ ดูดซับบน พื้นที่ตรวจวัดก่อน แล้วทำการทดสอบกับสารมาตรฐานครีเอทีนินความเข้มข้น 10 มิลลิกรัมต่อเดซิลิตร ผลการทดสอบ พบว่าการไม่มีสารใดๆ มาดูดซับบนพื้นที่ตรวจวัดก่อนนั้น สีที่เกิดขึ้นไม่สม่ำเสมอจนอย่างเห็นได้ชัดกว่าการที่พื้นที่ตรวจวัดถูกดูดซับด้วยน้ำกลั่น และสารละลายโพแทสเซียมฟอสเฟสบัฟเฟอร์ โดยเมื่อทำการทดสอบความเข้มสีที่เกิดขึ้นในบริเวณต่างๆ ของพื้นที่ตรวจวัดโดยกำหนดขนาดการวัดความเข้มสีที่ 17.5×22.5 pixels จำนวน 16 ช่อง ผลการทดลองพบว่า ความเข้มสีบนพื้นที่ตรวจวัดที่ไม่ดูดซับด้วยสารใดๆ มีความแปรปรวนสูงสุด โดยมี %CV เท่ากับ 5.35% ในขณะที่การใช้น้ำกลั่น หรือสารละลายโพแทสเซียมฟอสเฟสบัฟเฟอร์ มาหยดให้ดูดซับบริเวณพื้นที่ตรวจวัดก่อนการตรวจวัด มีความแปรปรวนใกล้เคียงกัน มี %CV เท่ากับ 54.86% และ 4.63% ตามลำดับ ดังแสดงในตารางที่ 4.3 สีที่เรียบเนียนขึ้นของบนพื้นที่ตรวจวัดที่ถูกดูดซับด้วยน้ำกลั่นและสารละลายโพแทสเซียมฟอสเฟสบัฟเฟอร์ อาจเกี่ยวข้องกับเยื่อของเซลล์ของกระดาษกรองนั้นมีคุณสมบัติการบวมน้ำ (swelling) (62) จึงทำให้กระดาษมีการพองตัวขึ้นเล็กน้อยเมื่อมีการหยดสารละลายลงบนส่วนพื้นที่ตรวจวัด ทำให้เยื่อเซลล์ของกระดาษเรียงตัวกันอย่างเป็นระเบียบมากขึ้น จึงทำให้ปฏิกิริยาของการเกิดสีที่เกิดขึ้นเรียบเนียนขึ้นได้ ยิ่งไปกว่านั้นเมื่อใช้สารละลายโพแทสเซียมฟอสเฟสบัฟเฟอร์ pH.7.5 ในการดูดซับบนพื้นที่ตรวจวัดก่อนใช้งาน พบว่าสีที่เกิดขึ้นเรียบเนียน สีเข้มและชัดเจน (46.18 ± 1.42) กว่าที่ตรงด้วยน้ำกลั่น (44.86 ± 1.60) จากผลการทดสอบ สามารถอธิบายได้ว่าเป็นผลจากค่า pH ที่เหมาะสมของเอนไซม์ในน้ำยาทั้งสอง โดยเอนไซม์ครีเอทีนเนส ค่าความเป็นกรด-เบสที่เหมาะสม (pH optimum) คือ 7 ถึง 9 เอนไซม์ครีเอทีนเนส ค่า pH optimum คือ 7.5 ถึง 8 เอนไซม์ซาโคซินออกซิเดส ค่า pH optimum คือ 8 ถึง 9 (33) และเอนไซม์ เปอร์ออกซิเดส ค่า pH optimum คือ 5 ถึง 9 (65) ทั้งนี้ได้ทำการวัดความแม่นยำของพื้นที่การตรวจวัด โดยกำหนดขอบเขตในการตรวจวัดความเข้มสีออกเป็นสี่เหลี่ยมเล็กๆ (17.5×22.5 pixels) ติดต่อกันจำนวน 16 ช่อง ซึ่งครอบคลุมพื้นที่ทั้งหมดบนพื้นที่ตรวจวัด ดังตารางที่ 4.4 ผลการตรวจวัดความเข้มสีเมื่อ enz-PADs ทำปฏิกิริยากับสารมาตรฐานครีเอทีนินที่ความเข้มข้น 2.5, 10 และ 25 มิลลิกรัมต่อเดซิลิตร ให้ %CV เท่ากับ 2.94, 4.38 และ 6.45 ตามลำดับ ทั้งนี้เมื่อทำการทดสอบวัดความ

แม่นยำในพื้นที่การตรวจวัด (precision of detection zones) โดยทำการกำหนดขอบเขตในการวัดคงที่ที่ขนาด 70×90 pixels ซึ่งเป็นขนาดที่ใช้ในการแปลผลการทดสอบของ enz-PADs ในงานวิจัยนี้ แล้วตรวจวัดซ้ำพื้นที่ตรวจวัด โดยเลื่อนกรอบการวัดความเข้มสีเป็นจำนวน 10 ครั้ง ผลการตรวจวัดความเข้มสีเมื่อ enz-PADs ทำปฏิกิริยากับสารมาตรฐานครีเอตินินที่ความเข้มข้น 2.5, 10 และ 25 มิลลิกรัมต่อเดซิลิตร ให้ %CV เท่ากับ 0.26, 0.19, 0.28 ตามลำดับ ดังแสดงในรูปที่ 4.5 ดังนั้นในงานวิจัยนี้ 100 มิลลิโมลาร์ของสารละลายโพแทสเซียมฟอสเฟสบัฟเฟอร์ pH 7.5 จึงเหมาะสมที่จะเลือกใช้เป็นสารละลายที่ใช้ตรึงพื้นที่ตรวจวัดก่อนทำการทดสอบต่อไป







รูปที่ 4.5 กราฟแสดงผลการตรวจวัดความแม่นยำในการวัดสีในพื้นที่ตรวจวัด (precision of detections zones) (▼) ครีเอตินินความเข้มข้น 2.5 mg dL^{-1} (%CV = 0.26); (○) ครีเอตินินความเข้มข้น 10 mg dL^{-1} (%CV = 0.19); (●) ครีเอตินินความเข้มข้น 25 mg dL^{-1} (%CV = 0.28)

ตารางที่ 4.3 ผลการทดสอบของปฏิกิริยาในส่วนของ detection zone ที่ถูกตรึงด้วยสารต่างๆ ของ enz-PADs ที่สร้างด้วยกระดาษกรองเบอร์ 3

ชนิดสารที่ตรึง	ภาพที่ได้จากการสแกน	ความเข้มของสี (Blank - Test) (n =3) (mean ± sd)	%CV  (ขนาด 17.5x22.5 pixels: 16 ช่อง)
ไม่ตรึงสารใด		45.06 ± 6.74	5.54%
			5.42%
			5.08%
น้ำกลั่น		44.86 ± 1.60	5.00%
			4.88%
			4.69%
โพแทสเซียม ฟอสเฟต บัฟเฟอร์		46.18 ± 1.42	4.08%
			4.87%
			4.93%

ตารางที่ 4.4 ความเข้มสีของพื้นที่ขนาดเล็ก (17.5×22.5 pixels) ติดต่อกันจำนวน 16 ช่อง ซึ่งครอบคลุมพื้นที่ทั้งหมดบน detection zone

Colour intensity (RGB mode)	Creatinine		
	2.5 mg dL ⁻¹	10 mg dL ⁻¹	25 mg dL ⁻¹
			
ช่องที่ 1	227.80	190.78	164.53
ช่องที่ 2	233.46	197.31	172.26
ช่องที่ 3	230.69	198.44	169.56
ช่องที่ 4	218.20	189.47	160.19
ช่องที่ 5	232.81	191.18	163.13
ช่องที่ 6	239.09	203.97	175.39
ช่องที่ 7	238.03	201.80	174.75
ช่องที่ 8	231.80	193.56	155.59
ช่องที่ 9	231.97	189.18	180.79
ช่องที่ 10	239.24	202.94	180.79
ช่องที่ 11	237.41	193.00	167.56
ช่องที่ 12	229.83	177.43	154.43
ช่องที่ 13	229.52	183.87	193.04
ช่องที่ 14	227.95	198.58	186.35
ช่องที่ 15	224.77	192.63	170.83
ช่องที่ 16	215.84	174.75	159.93
Mean ± SD	230.53 ± 6.77	192.43 ± 8.43	170.57 ± 11.00
%CV	2.94	4.38	6.45

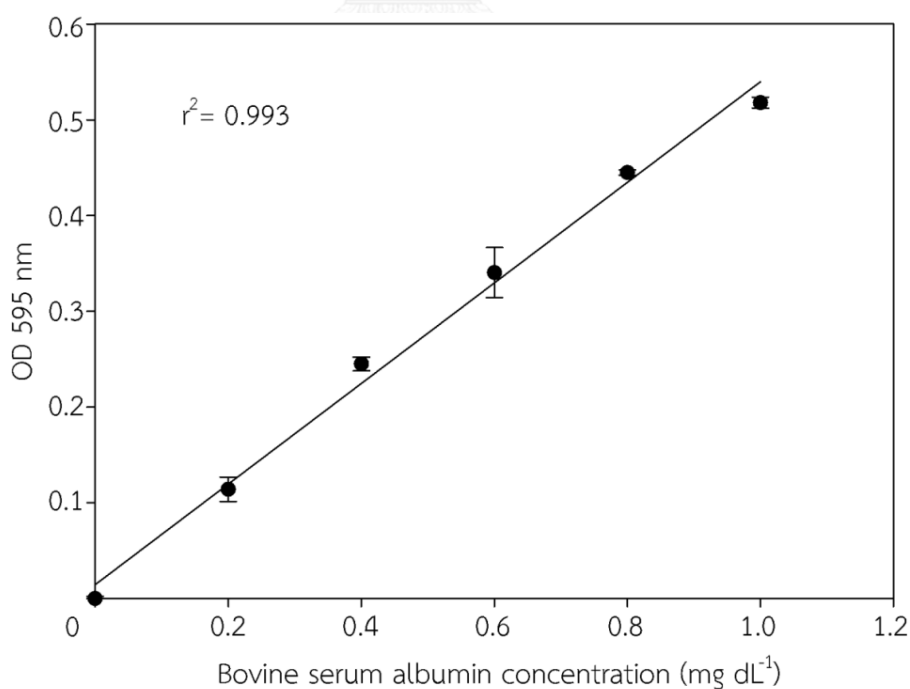
หมายเหตุ: ค่า colour intensity จากตารางเป็นข้อมูลดิบที่ไม่ได้ทำการลบค่า colour intensity ของ blank

3. ผลการทดสอบหาปริมาณโปรตีนรวมและการทำงานของเอนไซม์ของน้ำยา Creatinine plus ver.2

น้ำยา Creatinine plus ver.2 ของบริษัท Roche diagnostic ถูกนำมาวัดหาปริมาณโปรตีนรวมของน้ำยาทั้งสองระหว่างการใช้งานในงานวิจัยนี้ โดยทำการตรวจหาปริมาณโปรตีนรวมเบื้องต้นด้วยน้ำยา Bradford's reagent และตรวจหาปริมาณการทำงานของตัวแทนเอนไซม์ในน้ำยา R1 เอนไซม์ คือ เอนไซม์ครีเอทีเนส และน้ำยา R2 คือ เอนไซม์เปอร์ออกซิเดส ที่ถูกนำมาใช้ในงานวิจัย เพื่อป้องกันปัญหาของความแปรผันของน้ำยาในแต่ละครั้งของการผลิต (lot-to-lot variation)

3.1 ผลการทดสอบหาปริมาณโปรตีนรวมของน้ำยา Creatinine plus ver.2

ผลการทดสอบปริมาณโปรตีนเมื่อเปรียบเทียบกับกราฟมาตรฐานของปริมาณโปรตีนใน BSA ที่ OD 595 นาโนเมตร ด้วย Bradford's reagent ดังรูปที่ 4.6 พบว่า ปริมาณโปรตีนรวมของน้ำยา R1 และ R2 ที่นำมาใช้ในงานวิจัยนี้ คือ 4.76 ± 0.46 มิลลิกรัมต่อมิลลิลิตร และ 0.73 ± 0.05 มิลลิกรัมต่อมิลลิลิตร ตามลำดับ ดังแสดงในตารางที่ 4.5



รูปที่ 4.6 กราฟมาตรฐานแสดงความสัมพันธ์ของปริมาณโปรตีนใน bovine serum albumin ที่ OD 595 nm ด้วย bradford's reagent

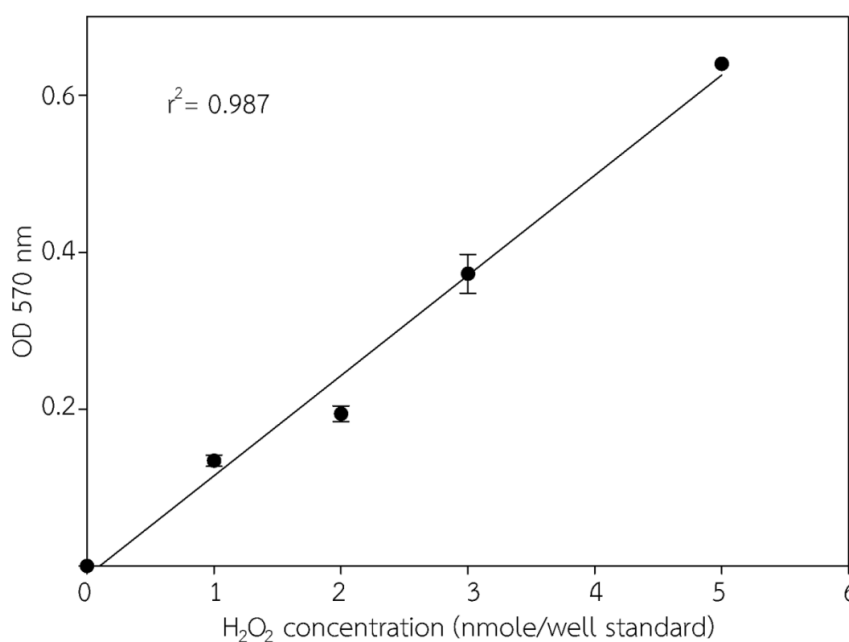
ตารางที่ 4.5 ผลการทดสอบหาปริมาณโปรตีนรวมของน้ำยา Creatinine plus ver.2

ครั้งที่	ระยะเวลาของน้ำยาที่นำมาทดสอบหลังเก็บ	ปริมาณโปรตีนรวม (mg mL ⁻¹) (Bradford's reaction)	
		R1	R2
1	2 สัปดาห์	5.10	0.80
2		5.13	0.71
1	2 เดือน	4.16	0.69
2		4.64	0.74
Total (n = 4)	Mean (mg ml ⁻¹)	4.76	0.73
	SD	0.46	0.05
	%CV	9.61	6.21

3.2 ผลการทดสอบหาการทำงานของเอนไซม์รวมของน้ำยา Creatinine plus ver.2

ผลการตรวจหาปริมาณการทำงานของตัวแทนเอนไซม์ (enzyme activity) ในน้ำยา R1 คือ เอนไซม์ครีเอทีเนส และน้ำยา R2 คือ เอนไซม์เปอร์ออกซิเดส ได้ผลดังนี้ การทำงานของเอนไซม์ครีเอทีเนส ที่อายุ 2 สัปดาห์ คือ 27.46 ± 1.20 ยูนิต์ต่อมิลลิลิตร (%CV = 4.38, $n = 4$) และที่อายุ 2 เดือน มีค่าเท่ากับ 28.01 ± 1.86 ยูนิต์ต่อมิลลิลิตร (%CV = 6.63, $n = 4$) ซึ่งพบว่าการทำงานของเอนไซม์ครีเอทีเนส จากการทดสอบให้ผลใกล้เคียงและสอดคล้องกับข้อมูลในเอกสารประกอบน้ำยา คือ ≥ 20 ยูนิต์ต่อมิลลิลิตร และการทำงานของเอนไซม์ตัวแทนในน้ำยา R2 ที่ได้จากการเปรียบเทียบจากกราฟมาตรฐาน H₂O₂ ดังรูปที่ 4.7 คือ เอนไซม์เปอร์ออกซิเดส อายุน้ำยา 2 สัปดาห์ เมื่อทำการตรวจวัดการทำงานที่ 25 องศาเซลเซียส และ 37 องศาเซลเซียส มีค่าเท่ากับ 28.80 ± 2.15 ยูนิต์ต่อมิลลิลิตร (%CV = 7.47, $n = 2$) และ 37.87 ± 1.28 ยูนิต์ต่อมิลลิลิตร (%CV = 2.31, $n = 2$) ตามลำดับ และที่อายุน้ำยา 2 เดือน เมื่อทำการตรวจวัดการทำงานที่ 25 องศาเซลเซียส และ 37 องศาเซลเซียส มีค่าเท่ากับ 34.87 ± 1.28 ยูนิต์ต่อมิลลิลิตร (%CV = 3.66, $n = 2$) และ 32.28 ± 0.38 ยูนิต์ต่อมิลลิลิตร (%CV = 1.19, $n = 2$) ตามลำดับ ดังแสดงในตารางที่ 6 ซึ่งผลการทดสอบของการหาการทำงานของเอนไซม์เปอร์ออกซิเดสในน้ำยา R2 ให้ผลการทดสอบที่มากกว่าข้อมูลใน

เอกสารประกอบน้ำยาอยู่ประมาณ 30 เท่า ซึ่งเป็นผลจากน้ำยา R2 มีสาร co-oxidation คือ 4-aminophenazone ซึ่งสามารถเสริมปฏิกิริยาออกซิเดชันกับสารจำพวกฟีนอลและใน peroxidase activity kit ที่นำมาใช้ในการทดสอบมีสารตั้งต้นในการตรวจวัด คือ OxiRed™ หรือ 10-acetyl-3,7-dihydroxyphenoxazine จึงทำให้ผลการทดสอบให้ค่าการทำงานของเอนไซม์เปอร์ออกซิเดสได้ค่าที่สูงกว่าความเป็นจริง



รูปที่ 4.7 กราฟมาตรฐานแสดงความสัมพันธ์ของปริมาณ H₂O₂ ที่ OD 570 nm ด้วย peroxidase activity kit

ดังนั้นจึงสรุปได้ว่า น้ำยาที่นำมาใช้ในการทดสอบทดลองงานวิจัยนี้ น้ำยา R1 มีปริมาณโปรตีนรวม 4.76 ± 0.46 มิลลิกรัมต่อมิลลิลิตร และมีปริมาตรการทำงานเอนไซม์รวมของเอนไซม์ครีเอทีเนส (total activity creatinase in R1 reagent) เท่ากับ 27.74 ± 1.48 หนึ่งต่อมิลลิลิตร ($n = 8$) ที่อุณหภูมิ 37 องศาเซลเซียส และน้ำยา R2 มีปริมาณโปรตีนรวม 0.73 ± 0.05 มิลลิกรัมต่อมิลลิลิตร และมีปริมาตรการทำงานเอนไซม์รวมของเอนไซม์เปอร์ออกซิเดส (total activity peroxidase in R2 reagent) เท่ากับ 31.84 ± 3.79 หนึ่งต่อมิลลิลิตร ($n = 4$) ที่อุณหภูมิ 25 องศาเซลเซียส และน้ำยา 34.98 ± 3.17 หนึ่งต่อมิลลิลิตร ($n = 4$) ที่อุณหภูมิ 37 องศาเซลเซียส เมื่อทำการทดสอบด้วย peroxidase activity assay kit (Sigma-Aldrich, Germany) ดังผลสรุปในตารางที่ 4.5 และ 4.6

ตารางที่ 4.6 ผลการทดสอบหาการทำงานของเอนไซม์ของน้ำยา Creatinine plus ver.2

ครั้งที่	ระยะเวลาของน้ำยาที่นำมา ทดสอบหลังเก็บ	การทำงานของเอนไซม์ (U mL ⁻¹) ที่อุณหภูมิ (° c)	
		25	37
Total creatinase enzyme activity ในน้ำยา R1			
1			29.22
2	2 สัปดาห์		26.58
3			27.19
4			26.84
1		-	29.74
2	2 เดือน		29.04
3			25.52
4			27.72
Total (n = 8)	Mean (U mL ⁻¹)		27.73
	SD		1.20
	%CV		5.33
Total peroxidase enzyme activity ในน้ำยา R2			
1	2 สัปดาห์	33.97	32.01
2		35.78	32.55
1	2 เดือน	30.32	37.07
2		27.28	38.30
Total (n = 4)	Mean (U mL ⁻¹)	31.84	34.98
	SD	3.79	3.17
	%CV	11.91	9.06

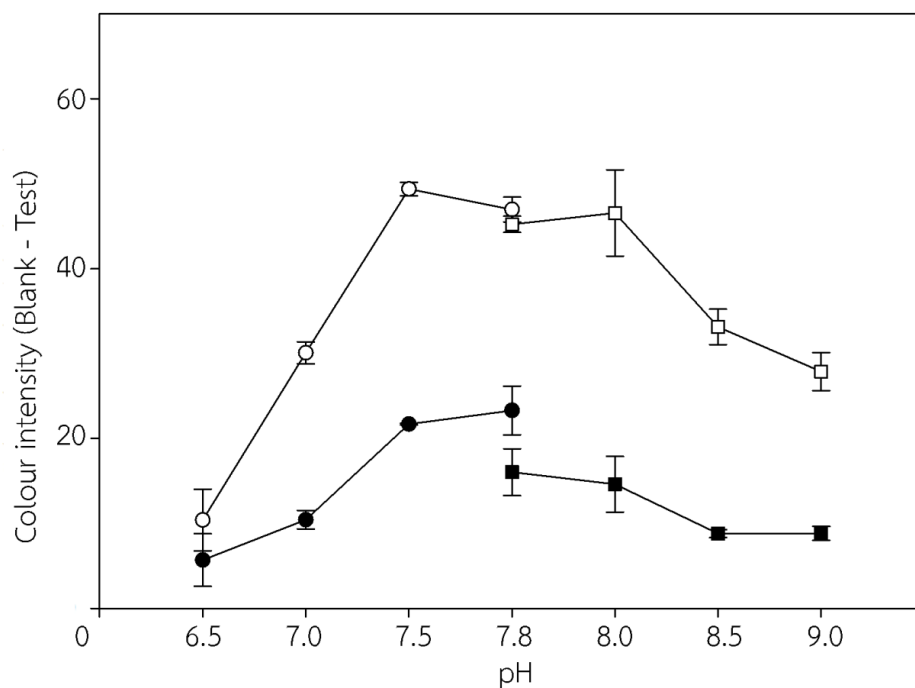
4. ผลการหาสภาวะที่เหมาะสม (optimization) สำหรับการตรวจวัดระดับครีเอทีนิน

4.1 ผลการศึกษาค่าความเป็นกรด-ด่าง (pH) ที่เหมาะสมของตัวอย่างตรวจที่ใช้ในการตรวจด้วย enz-PADs

การตรวจวิเคราะห์หาปริมาณครีเอทีนินด้วยวิธีเอนไซม์ ค่า pH ในปฏิกิริยามีอิทธิพลกับการทำงานของเอนไซม์และการพัฒนาความเข้มของสี เนื่องจาก enz-PADs ที่พัฒนาขึ้น ใช้ปริมาตรของตัวอย่างปัสสาวะในหนึ่งการทดสอบมากกว่าปริมาตรของน้ำยาที่ถูกดูดซับอยู่บนกระดาษอยู่มาก ดังนั้นตัวอย่างปัสสาวะที่จะนำมาทดสอบด้วย enz-PADs นี้ควรจะมีการปรับค่า pH ที่เหมาะสมก่อนนำมาทำการทดสอบ โดยค่าเฉลี่ยของ pH ของปัสสาวะในคนสุขภาพดี มีค่าอยู่ในช่วง 6.5 ถึง 8.0 ดังนั้น ในการทดสอบนี้จึงเลือกใช้บัฟเฟอร์ที่มีค่า pH ในช่วง 6.5 ถึง 9.0 มาใช้ในการทดสอบหาค่า pH ที่เหมาะสมในการตรวจวัดด้วย enz-PADs ที่พัฒนาขึ้น โดยที่ pH ช่วง 6.5 - 7.8 ใช้ 100 มิลลิโมลาร์ของสารละลายทริส-ไฮโดรคลอไรด์บัฟเฟอร์ (Tris-HCl buffer) และที่ pH ช่วง 7.8 - 9.0 ใช้ 100 มิลลิโมลาร์ของสารละลายโพแทสเซียมฟอสเฟสบัฟเฟอร์ (potassium phosphate buffer) ในการเจือจางตัวอย่างก่อนทำการตรวจหาปริมาณครีเอทีนินในสิ่งส่งตรวจด้วยอัตราส่วนตัวอย่างปัสสาวะ 1 ส่วน ในบัฟเฟอร์ 9 ส่วน หรือตัวอย่างปัสสาวะ 1 ส่วน ในบัฟเฟอร์ 19 ส่วน หากค่าความเข้มสีที่ได้เกินช่วงความสามารถในการตรวจวัด และลดอัตราส่วนในการเจือจางลงหาค่าความเข้มสีที่ต่ำกว่าช่วงการตรวจวัดที่สามารถวัดได้หรือช่วงความเป็นเส้นตรงของการตรวจวัดด้วย enz-PADs แล้วทำการเลือกบัฟเฟอร์ที่ค่า pH ที่เหมาะสมต่อปฏิกิริยาการตรวจวัดค่าปริมาณครีเอทีนิน ดังแสดงในรูปที่ 4.8

ผลการทดสอบ พบว่า ค่าความเข้มของสี (blank – test) มีค่าสูงขึ้นเมื่อค่า pH เพิ่มขึ้น แต่อย่างไรก็ตามเมื่อ pH ของตัวอย่างตรวจเพิ่มขึ้นมากกว่า 7.5 (potassium phosphate buffer) การพัฒนาของสีของปฏิกิริยาไม่เพิ่มจากเดิม และเมื่อค่า pH มีค่าสูงกว่า 7.8 (Tris-HCl buffer) ค่าความเข้มของสีที่เกิดจากปฏิกิริยามีค่าลดลง ยกเว้นการทดสอบกับครีเอทีนินความเข้มข้น 5 มิลลิกรัมต่อเดซิลิตรด้วย 100 มิลลิโมลาร์ของสารละลายโพแทสเซียมฟอสเฟสบัฟเฟอร์มีการเพิ่มขึ้นของความเข้มสีเล็กน้อย ซึ่งเกิดจากผลการวัดความเข้มสีที่คลาดเคลื่อนกว่าจุดการทดสอบอื่นๆ สังเกตได้จากค่า SD ที่ค่อนข้างกว้าง ดังแสดงในรูปที่ 4.8 ดังนั้น ในงานวิจัยนี้จึงเลือกใช้ 100 มิลลิโมลาร์ของสารละลายโพแทสเซียมฟอสเฟสบัฟเฟอร์ ที่ pH 7.5 ในการเจือจางตัวอย่างก่อนทำการตรวจวัด

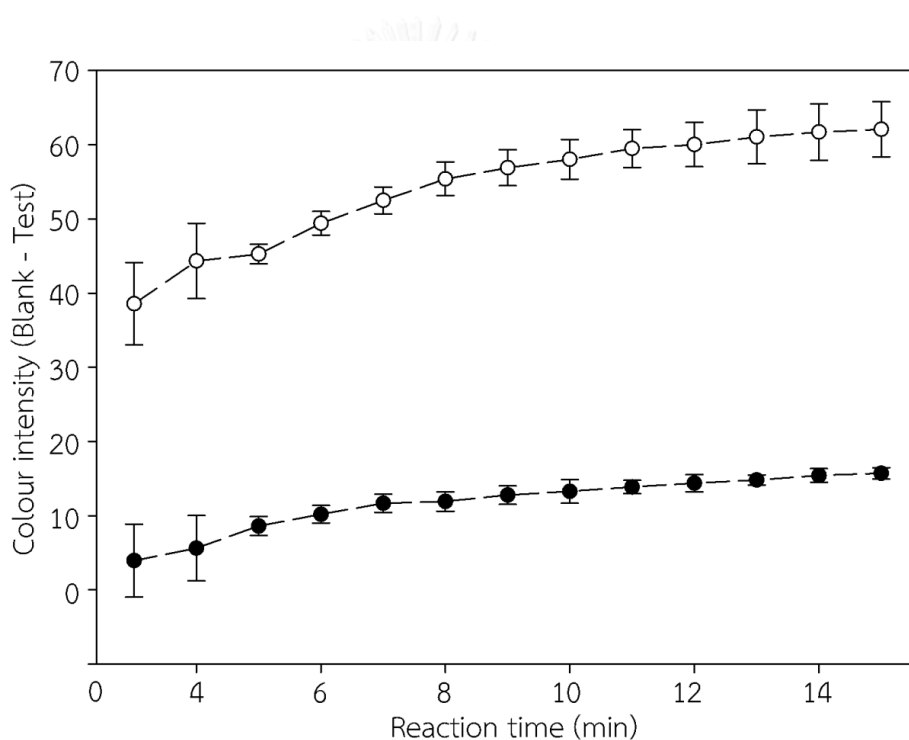
ด้วย enz-PADs เนื่องจากให้ผลการทดสอบของการเกิดสีของปฏิกิริยาในการตรวจวัดที่ดีที่สุด เมื่อทำการทดสอบกับสารมาตรฐานครีเอทีนีนความเข้มข้น 5 และ 20 มิลลิกรัมต่อเดซิลิตร



รูปที่ 4.8 ความสัมพันธ์ระหว่างความเข้มของสี (colour intensity) ของปฏิกิริยาบน enz-PADs ที่พัฒนาขึ้นเมื่อค่าความเป็นกรด-ด่างของตัวอย่างตรวจในปฏิกิริยาเปลี่ยนไป (pH) ; ผลการทดสอบของปฏิกิริยา (●) แทนของครีเอทีนีนความเข้มข้น 5 mg dL⁻¹ ที่เจือจางด้วย 100 mM potassium phosphate buffer (○) แทนครีเอทีนีนความเข้มข้น 20 mg dL⁻¹ ที่เจือจางด้วย 100 mM potassium phosphate buffer (■) แทนครีเอทีนีนความเข้มข้น 5 mg dL⁻¹ ที่เจือจางด้วย 100 mM Tris-HCl buffer (□) แทนครีเอทีนีนความเข้มข้น 20 mg dL⁻¹ ที่เจือจางด้วย 100 mM Tris-HCl buffer

4.2 ผลการศึกษาหาระยะเวลาการอ่านผลที่เหมาะสมของปฏิกิริยาด้วย enz-PADs

เพื่อศึกษาระยะเวลาที่เหมาะสมในการทดสอบด้วย enz-PADs ที่พัฒนาขึ้น โดยการทดสอบตามสภาวะที่เหมาะสมกับสารมาตรฐานครีเอตินินที่ความเข้มข้น 2.5 และ 20 มิลลิกรัมต่อเดซิลิตร ด้วยการจุ่มแถบตรวจลงในหลุมตัวอย่างรอเวลาให้ตัวอย่างไหลอย่างอิสระขึ้นมาปกคลุมส่วนของพื้นที่การตรวจวัด เป็นเวลา 4 นาที จากนั้นนำแถบตรวจขึ้นจากหลุมแล้วจับเวลาต่อ 15 นาที แล้วทำการบันทึกภาพการทดสอบตั้งแต่นาทีที่ 3 ถึงนาทีที่ 15 ทุกๆ 1 นาที จากนั้นวัดค่าความเข้มของสีที่เกิดขึ้นด้วยโปรแกรม photoshop CS2 ซึ่งได้ผลการทดสอบดังนี้



รูปที่ 4.9 ความสัมพันธ์ระหว่างความเข้มของสี (colour intensity) ของปฏิกิริยาที่พัฒนาขึ้นเมื่อระยะเวลาการรอปฏิกิริยาเปลี่ยนไป (reaction time) (●) แทนครีเอตินินความเข้มข้น 2.5 mg dL⁻¹ (○) แทนครีเอตินินความเข้มข้น 20 mg dL⁻¹ โดยแต่ละจุดแสดงถึงค่าเฉลี่ยของการทำซ้ำ 3 ครั้ง และ error bars แสดงถึง standard deviation

จากผลการทดสอบข้างต้น พบว่าสีที่เกิดขึ้นจากปฏิกิริยาบนกระดาษในช่วงระยะเวลา ตั้งแต่ นาทีที่ 3 ถึง 7 มีการพัฒนาของความเข้มของสีขึ้นเล็กน้อยเป็นสัดส่วนโดยตรงกับระยะเวลาในการบันทึกผล และค่อนข้างคงที่หรือไม่เป็นสัดส่วนโดยตรงกับเวลาที่ทำการบันทึกผลตั้งแต่ นาทีที่ 7 เป็นต้นไป ดังแสดงในรูปที่ 4.9 ในการทดสอบนี้ ผู้วิจัยจึงเลือกใช้ระยะเวลาในการทดสอบ คือ 7 นาที เป็นเวลาน้อยที่สุดที่ทำให้เกิดปฏิกิริยาค่อนข้างสมบูรณ์แล้วบนกระดาษ ทั้งยังทำให้ระยะเวลาการตรวจวัดทั้งระบบไม่ยาวนานเกินไปอีกด้วย ดังนั้นรวมทั้งระบบการตรวจวัดปริมาณครีเอทีนินด้วย enz-PADs ใช้ระยะเวลาการเกิดปฏิกิริยา 11 นาที

5. ผลการศึกษาคุณสมบัติของวิธีที่พัฒนาได้ (Characterisation)

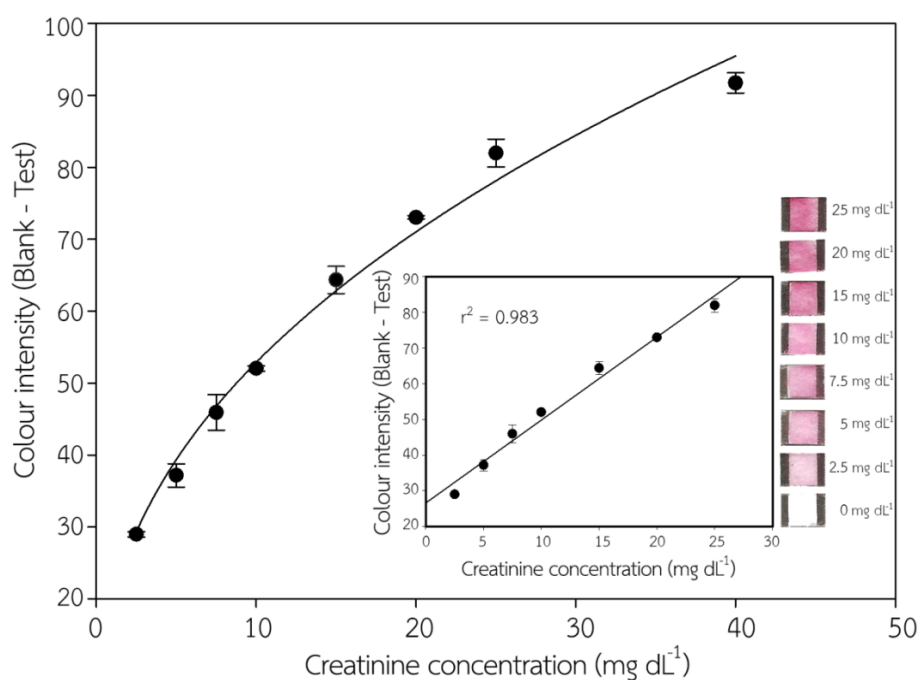
5.1 ผลการทดสอบหาช่วงความเป็นเส้นตรง (Linearity range) ในการตรวจวัด

เพื่อศึกษาความสามารถในการตรวจหาปริมาณครีเอทีนินในตัวอย่างตรวจด้วย enz-PADs ที่พัฒนาขึ้นภายใต้สภาวะที่เหมาะสมดังผลการทดสอบข้างต้น สำหรับการหาช่วงความสามารถในการตรวจวัดนั้น ผู้วิจัยทดสอบใช้ enz-PADs ที่พัฒนาขึ้นทดสอบตรวจสอบมาตรฐานครีเอทีนินที่มีความเข้มข้นต่างๆ ตั้งแต่ 0 – 40 มิลลิกรัมต่อเดซิลิตร โดยแต่ละความเข้มข้นจะทำการตรวจวัดซ้ำ 3 ครั้ง จากผลการทดสอบเมื่อนำไปสร้างกราฟเส้นตรง พบว่า ที่ความเข้มข้นครีเอทีนินตั้งแต่ 2.5 - 25 มิลลิกรัมต่อเดซิลิตร อยู่ในช่วงเส้นตรง มีค่าความสัมพันธ์เชิงเส้น (r^2) เท่ากับ 0.983 ดังแสดงในรูปที่ 4.10

จากกราฟมาตรฐานที่ได้ สามารถสรุปได้ว่า enz-PADs ที่พัฒนาขึ้นสามารถใช้ในการตรวจหาปริมาณครีเอทีนินในตัวอย่างปัสสาวะได้ในช่วง 25 – 250 มิลลิกรัมต่อเดซิลิตร เมื่อทำการเจือจางตัวอย่างปัสสาวะด้วย 100 มิลลิโมลาร์ของสารละลายโพแทสเซียมฟอสเฟสบัฟเฟอร์ด้วยอัตราส่วน 1:10 ซึ่งครอบคลุมค่าสำคัญทางคลินิก นอกจากนี้หากค่าความเข้มของสีที่ได้เกินช่วงการเกิดปฏิกิริยาเป็นเส้นตรง สามารถนำตัวอย่างปัสสาวะนั้นๆ เจือจางด้วยสารละลายโพแทสเซียมฟอสเฟสบัฟเฟอร์ในอัตราส่วนต่างๆ ทำให้ enz-PADs สามารถตรวจหาปริมาณครีเอทีนินได้ช่วงที่กว้างขึ้นอีกด้วย

ทั้งนี้เมื่อเปรียบเทียบกับวิธีอื่นๆ ที่มีการพัฒนาเพื่อตรวจวัดปริมาณครีเอทีนินและรายงานก่อนหน้านั้น วิธีการตรวจหาปริมาณครีเอทีนินที่พัฒนาขึ้น (enz-PADs) ค่าช่วงการตรวจวัดที่มี

ศักยภาพในการตรวจวัดไม่แตกต่างจากวิธีอื่นๆ ที่พัฒนาขึ้น เช่น การตรวจวัดปริมาณครีเอตินินที่อาศัยหลักการเกิดปฏิกิริยาของแจฟฟ์ที่พัฒนาขึ้นโดย Chen และคณะ ได้พัฒนาเครื่องมือตรวจวัดโดยอาศัยหลักการทางเคมีไฟฟ้า (electrochemical sensors based on the Jaffé reaction) ซึ่งมีค่า linear range เท่ากับ 4.19 ถึง 40.72 มิลลิกรัมต่อเดซิลิตร (66) สำหรับวิธี Zone fluidic multichannel kinetic spectrophotometry ที่พัฒนาโดย Ohira และคณะ สามารถตรวจวัดปริมาณครีเอตินินในตัวอย่างที่ทำการเจือจางแล้วได้ในช่วง 0 ถึง 25 มิลลิกรัมต่อเดซิลิตร (67) ในขณะที่การพัฒนาชุดตรวจวัดของไหลจุลภาคขนาดพกพา (portable microfluidic system) ได้ในช่วง 0 ถึง 4 มิลลิกรัมต่อเดซิลิตร (68) นอกจากนี้ Ming Li และคณะได้พัฒนาวิธีการตรวจวัดปริมาณครีเอตินินในปัสสาวะด้วยเทคนิค Stamping surface enhanced Raman scattering (S-SERS) ด้วย nanoporous gold disk (NPGD) สามารถตรวจหาปริมาณครีเอตินินได้ 0.001 ถึง 1.131 มิลลิกรัมต่อเดซิลิตร (69) แต่อย่างไรก็ตามวิธีที่กล่าวมาข้างต้นนั้นจำเป็นต้องใช้เครื่องมือที่มีระบบซับซ้อน และผู้ที่มีความชำนาญในการใช้เครื่องมือและการแปลผลการทดสอบต่อไป



รูปที่ 4.10 กราฟแสดงความสัมพันธ์ระหว่างความเข้มข้นของสารมาตรฐานครีเอตินินกับค่าความเข้มของสีที่เพิ่มขึ้น จากการใช้ enz-PADs (ภาพแทรก คือความเข้มข้นของสารมาตรฐานครีเอตินินที่เกิดปฏิกิริยาเป็นเส้นตรง: $r^2 = 0.983$)

นอกจากนี้ Michael และคณะ พัฒนาการตรวจวัดครีเอตินินด้วย urine dipstick โดยอาศัยหลักการการเกิดสีระหว่าง Copper-creatinine complex ที่มีใช้เอนไซม์เปอร์ออกซิเดสในการย่อย 3,3',5,5'-tetramethylbenzidine (TMB) ที่สามารถตรวจวัดได้ในช่วง 10 ถึง 300 มิลลิกรัมต่อเดซิลิตร แต่อย่างไรก็ตาม dipstick ดังกล่าวมีข้อจำกัดในเรื่องการรบกวนจากฮีโมโกลบิน (45) การตรวจวัดปริมาณครีเอตินินด้วยชุดการตรวจวัดที่ให้ผลการทดสอบแบบให้ผลเร็วด้วยหลักการ enzyme-based bar-code-style lateral-flow assay วัดปริมาณครีเอตินินได้แบบกึ่งปริมาณ ในช่วง 0 – 400 ไมโครโมลาร์ การอ่านผลการทดสอบสามารถอ่านจากจำนวนแถบที่เกิดขึ้นโดยไม่ต้องอาศัยเครื่องมือในการอ่านผลอื่นๆ ระยะเวลาในการอ่านผลการทดสอบ คือ 19 นาที (44) และในปัจจุบันมีเครื่องตรวจวัดระดับครีเอตินินให้ผลเร็ว (portable POCT) เช่น Clinitek® (Siemens) ที่ให้ผลการตรวจวัดควบคู่กับการตรวจวัด microalbumin ที่ให้ผลการทดสอบกึ่งปริมาณ หรือรายงานเป็นช่วงค่าความเข้มข้นของสารโดยปริมาณครีเอตินินในปัสสาวะจะให้ผลการตรวจวัดในช่วง 10 ถึง 300 มิลลิกรัมต่อเดซิลิตร โดยไม่ต้องทำการเจือจางตัวอย่างก่อนทำการตรวจวัด แต่เครื่อง Clinitek® มีข้อจำกัดในเรื่องของราคาที่สูง ประมาณ 108 ถึง 202 บาทต่อการทดสอบ นอกจากนี้หากตัวอย่างที่นำมาตรวจสอบมีปริมาณฮีโมโกลบินหรือไมโอโกลบินมากกว่าหรือเท่ากับ 5 มิลลิกรัมต่อเดซิลิตร อาจทำให้เกิดผลการทดสอบผิดพลาดต่อทั้งการตรวจวัดปริมาณอัลบูมินและครีเอตินินอีกด้วย

แม้ว่า enz-PADs ที่พัฒนาขึ้นได้จะไม่สามารถตรวจวัดค่าครีเอตินินต่ำๆ ได้อย่างเครื่องมืออื่นๆ แต่ความไวของ enz-PADs ก็เป็นที่น่าพึงพอใจและมีประสิทธิภาพเพียงพอต่อการตรวจวัดทางคลินิก นอกจากนี้ช่วงความสามารถในการตรวจวัดยังครอบคลุมทั้งค่าครีเอตินินของคนปกติ และคนเป็นโรคอีกด้วย ดังนั้น enz-PADs ที่พัฒนาได้นี้สามารถใช้สำหรับตรวจวัดปริมาณครีเอตินินในตัวอย่างปัสสาวะจริงได้ ยิ่งไปกว่านั้นการใช้ประโยชน์จาก 96-well microplates ของ enz-PADs สามารถทำการตรวจวัดตัวอย่างได้หลายๆ ตัวอย่างพร้อมๆ กัน เนื่องจาก enz-PADs ที่พัฒนาขึ้นใช้ระยะเวลาในการทดสอบ 11 นาที ดังนั้นในระยะเวลา 1 ชั่วโมงจะสามารถทำการตรวจวัดได้ด้วย enz-PADs ประมาณ 480 ตัวอย่าง (ผลจากการคำนวณ) และสามารถตรวจวัดได้มากยิ่งขึ้นหากทำการตรวจวัดแบบ interval time ทุกๆ 4 นาที โดยความเร็วในการตรวจวัดเร็วพอๆ กับเครื่องวิเคราะห์อัตโนมัติ ที่สามารถทดสอบตัวอย่างได้ถึง 600 ตัวอย่างต่อชั่วโมง ซึ่งความเร็วในการตรวจวัดนี้มี

ความสำคัญต่อการวินิจฉัยผลทางคลินิก และเป็นประโยชน์ในงานภาคสนาม ความถี่ในการตรวจวัดด้วย enz-PADs ให้ผลที่ดีกว่าวิธีทางเคมีไฟฟ้า (electrochemical sensors) และระบบของไหล (flow injection) ในการวิเคราะห์ (1, 66, 68, 70)

5.2 ผลการทดสอบค่าความสามารถในการตรวจหาปริมาณครีเอทีนินต่ำสุดที่สามารถตรวจพบได้ (limit of detection: LOD) ด้วย enz-PADs

ทำการทดสอบหาค่า limit of detection ของการตรวจวัดปริมาณครีเอทีนิน โดยใช้ 100 มิลลิโมลาร์ของสารละลายโพแทสเซียมฟอสเฟตบัฟเฟอร์ ที่ pH 7.5 เป็น blank ทำการตรวจเช่นเดียวกับการตรวจหาปริมาณครีเอทีนินด้วย enz-PADs ที่พัฒนาขึ้น จำนวน 20 ครั้ง และค่าความสามารถในการตรวจหาปริมาณครีเอทีนินต่ำสุดที่สามารถตรวจพบได้ด้วย enz-PADs หรือ limit of detection (LOD) ถูกหาจากสูตร

$$\text{Limit of detection (LOD)} = \frac{3 \times \text{SD}}{S}$$

เมื่อ SD คือ standard derivation ที่ได้จากการวัด blank 20 ครั้ง และ S คือ sensitivity ซึ่งหาได้จากค่าความชันจากการทำกราฟมาตรฐาน ผลการทดลองพบว่า การตรวจวัดหาค่าครีเอทีนินด้วย enz-PADs มีค่า limit of detection เท่ากับ 1.9 mg dL^{-1} ดังแสดงในตารางที่ 4.7

ตารางที่ 4.7 ผลการทดสอบหาค่า limit of detection ของครีเอทีนินด้วย enz-PADs

ค่าทางสถิติ	ค่าความเข้มของสี (blank-test) ของครีเอทีนิน 0 mg/dL^{-1}
SD	1.507
3SD	4.522
Slope	2.324
LOD (mg/dL^{-1})	1.9 (1.945)

จากผลการทดสอบความสามารถต่ำสุดที่ enz-PADs สามารถตรวจวัดปริมาณครีเอตินินได้ในปัสสาวะ (limit of detection) คือ 1.9 มิลลิกรัมต่อเดซิลิตร และเมื่อเปรียบเทียบกับการทำงานวิจัยก่อนหน้านี้แล้ว limit of detection ของ enz-PADs ให้ความไว (sensitivity) ในการตรวจวัดไม่แตกต่างกัน ยกตัวอย่างเช่น การตรวจวัดปริมาณครีเอตินินที่อาศัยหลักการเกิดปฏิกิริยาของแฉงฟี่ที่พัฒนาขึ้นโดย Chen และคณะ ได้พัฒนาเครื่องมือตรวจวัดโดยอาศัยหลักการทางเคมีไฟฟ้า (electrochemical sensors based on the Jaffé reaction) ซึ่งมีค่า limit of detection เท่ากับ 0.97 มิลลิกรัมต่อเดซิลิตร (1) แต่อย่างไรก็ตาม enz-PADs ที่พัฒนาขึ้นมีความไวน้อยกว่าวิธีดังกล่าวอยู่ 2 เท่า สำหรับวิธี zone fluidic multichannel kinetic spectrophotometry ที่พัฒนาโดย Ohira และคณะ ค่าต่ำสุดที่สามารถตรวจวัดได้คือ 0.076 mg dL^{-1} ซึ่งสามารถตรวจวัดครีเอตินินในความเข้มข้นต่ำได้ดีกว่าวิธีที่พัฒนาขึ้นอยู่ 25 เท่า (67) ในขณะที่การพัฒนาชุดตรวจวัดของไหลจุลภาคขนาดพกพา (portable microfluidic system) สามารถตรวจวัดค่าได้ต่ำสุดเท่ากับ 0.33 มิลลิกรัมต่อเดซิลิตร ซึ่งสามารถตรวจวัดปริมาณต่ำสุดได้ดีกว่าวิธี enz-PAD อยู่ 6 เท่า (68) วิธีการตรวจวัดปริมาณครีเอตินินในปัสสาวะที่พัฒนาขึ้นด้วยเทคนิค Stamping surface enhanced Raman scattering (S-SERS) สามารถตรวจวัดค่าครีเอตินินต่ำสุดได้ 0.68 มิลลิกรัมต่อเดซิลิตร (69) แต่อย่างไรก็ตามวิธีที่กล่าวมาข้างต้นนั้นจำเป็นต้องใช้เครื่องมือที่มีระบบซับซ้อน และผู้ที่มีความชำนาญในการใช้เครื่องมือและการแปลผลการทดสอบต่อไป และค่าความสามารถในการตรวจวัดปริมาณครีเอตินินต่ำสุดของ enz-PAD ที่พัฒนาได้ เพียงพอต่อความต้องการในการใช้งานจริงเพื่อการทดสอบและแปลผลทางการแพทย์

5.3 ผลการทดสอบหาสารรบกวนที่รบกวนการตรวจหาปริมาณครีเอตินินด้วย enz-PADs

เนื่องจากปัจจุบันการตรวจหาปริมาณครีเอตินินในตัวอย่างตรวจด้วยวิธีเอนไซม์เป็นที่ยอมรับอย่างกว้างขวางในห้องปฏิบัติการด้านเคมีคลินิกทางการแพทย์ เนื่องจากมีจุดเด่นในแง่ของความจำเพาะที่สูงกว่าวิธีอื่นๆ ที่มีพื้นฐานทางวิธีของแจฟฟี (Jaffé-based assays) และเพื่อเป็นการศึกษาหาสารที่มีผลกระทบในการตรวจหาปริมาณครีเอตินิน สารที่มีการรายงานว่ามีผลกระทบในปฏิกิริยาการตรวจหาปริมาณครีเอตินิน อันได้แก่ กลูโคส (glucose) โพรตีนไข่ขาว (human serum albumin) ฮีโมโกลบิน (haemoglobin) วิตามินซี (ascorbic acid) บิลิรูบิน (bilirubin) กรดยูริก (uric acid) และครีเอทีน (creatinine) ถูกเลือกมาใช้ในการทดสอบโดยทำการเติมสารดังกล่าวลงไปในการตรวจหาปริมาณครีเอตินินเพื่อให้ได้ปริมาณสารครีเอตินินสุดท้ายมีความเข้มข้นที่ 10 มิลลิกรัมต่อเดซิลิตร ผลการทดสอบดังแสดงในตารางที่ 4.7 ที่ได้จากการคำนวณหาค่าเปอร์เซ็นต์การคืนกลับ หรือ % Measurment เทียบกับครีเอตินินก่อนการเติมสารรบกวนแต่ละตัว จากสูตร

$$\% \text{Measurment} = \frac{\text{Creatinine concentration (no added)}}{\text{Creatinine concentration (added)}} \times 100$$

โดยกำหนดค่า %Measurment ในช่วง 95 – 105% ถือว่ายอมรับได้ว่าสารที่นำมาทดสอบไม่รบกวนการตรวจวัดอย่างมีนัยสำคัญ พบว่าในสภาวะการไม่ทำการเจือจางตัวอย่างที่มีความเข้มข้นครีเอตินินสุดท้าย 10 มิลลิกรัมต่อเดซิลิตร เมื่อมีการเติมสารรบกวนให้ได้ความเข้มข้นสุดท้ายให้ได้ โพรตีนไข่ขาวความเข้มข้น 300 มิลลิกรัมต่อเดซิลิตร ฮีโมโกลบินความเข้มข้น 200 มิลลิกรัมต่อเดซิลิตร วิตามินซีความเข้มข้น 100 มิลลิกรัมต่อเดซิลิตร บิลิรูบินความเข้มข้น 50 มิลลิกรัมต่อเดซิลิตร และกรดยูริกความเข้มข้น 30 มิลลิกรัมต่อเดซิลิตร รบกวนการตรวจวัดหาปริมาณครีเอตินินด้วย enz-PADs ที่พัฒนาขึ้น โดยมี %Measurment ในช่วง 77.4 - 121.1% ซึ่งความเข้มข้นที่ลดลงจากการเติมสารบิลิรูบินเพิ่มในสารมาตรฐานครีเอตินินนั้น เกิดจากบิลิรูบินที่ปริมาณความเข้มข้นสูง ๆ (ในงานวิจัยนี้ คือ 50 มิลลิกรัมต่อเดซิลิตร) จะทำลายส่วนหนึ่งของ reactive intermediate forms ในปฏิกิริยาของเอนไซม์เปอร์ออกซิเดสมีผลต่อการรบกวนปฏิกิริยา ทำให้การเกิด chromopore ลดลง และสำหรับกรดยูริกมีผลรบกวนต่อปฏิกิริยาได้ เนื่องจากกรดยูริกสามารถ

ฟอกขาว (bleaching) chromogen ให้สีที่เกิดขึ้นจากปฏิกิริยาการเกิด H_2O_2 จางลงได้ ทำให้อ่านผลของปฏิกิริยาได้ต่ำกว่าความเป็นจริง (71) สำหรับฮีโมโกลบินสามารถเร่งปฏิกิริยา oxidation ต่อ สารตั้งต้นที่เป็นสารประกอบอะโรมาติก (aromatic substrates) ได้ (72) เมื่อทำการตรวจวัดครีเอทีนินด้วย enz-PADs สารฮีโมโกลบินในตัวอย่างตรวจจะสามารถทำปฏิกิริยากับน้ำยาในพื้นที่ R1 ก่อน ซึ่งมี HTIB (chromogen) ซึ่งเป็นสารตั้งต้นที่เป็นสารประกอบอะโรมาติกชนิดหนึ่ง ทำให้สามารถเกิดปฏิกิริยา oxidation ไปก่อนที่จะทำปฏิกิริยากับ 4-aminophenazone แบบ coupling reaction ทำให้สีของปฏิกิริยาเกิดได้น้อยลง นอกจากนี้วิตามินซีมีรายงานว่า เป็นสาร reducing agent (73) ที่สามารถสลาย H_2O_2 ได้ ดังนั้นเมื่อ H_2O_2 ในปฏิกิริยาลดน้อยลง ทำให้สีของปฏิกิริยาเกิดได้น้อยลงนั่นเอง

แต่เมื่อมีการเจือจางสารรบกวนลงให้ได้ความเข้มข้นสุดท้ายของโปรตีนไข่ขาวความเข้มข้น 150 มิลลิกรัมต่อเดซิลิตร ฮีโมโกลบินความเข้มข้น 100 มิลลิกรัมต่อเดซิลิตร วิตามินซีความเข้มข้น 50 มิลลิกรัมต่อเดซิลิตร บิลิรูบินความเข้มข้น 35 มิลลิกรัมต่อเดซิลิตร และกรดยูริกความเข้มข้น 20 มิลลิกรัมต่อเดซิลิตร พบว่าไม่รบกวนต่อการตรวจวัดหาปริมาณครีเอทีนินด้วย enz-PADs ที่พัฒนาขึ้นอย่างมีนัยสำคัญ (%Measurement เท่ากับ 96.3 - 103.9%) นอกจากนี้พบว่ากลูโคสปริมาณสูง คือกลูโคสความเข้มข้น 300 มิลลิกรัมต่อเดซิลิตร ไม่รบกวนปฏิกิริยาตรวจวัด ครีเอทีนินด้วย enz-PADs ดังนั้นสามารถสรุปได้ว่า enz-PADs ที่พัฒนาขึ้นไม่ถูกรบกวนการตรวจหาปริมาณครีเอทีนินด้วยสารรบกวนข้างต้น เนื่องด้วยในการทดสอบตัวอย่างปัสสาวะจริงนั้นจะต้องทำการเจือจางตัวอย่างด้วย 100 มิลลิโมลาร์ของสารละลายโพแทสเซียมฟอสเฟตบัฟเฟอร์ที่ pH 7.5 จำนวน 10 ถึง 20 เท่าก่อนมาทำการตรวจวัดด้วย enz-PADs

ตารางที่ 4.8 ผลการทดสอบสารที่อาจมีผลรบกวนต่อปฏิกิริยาการตรวจหาปริมาณครีเอตินิน

ชนิดของสารรบกวน	ความเข้มข้น ของสารรบกวนสุดท้าย (mg dL ⁻¹)	%Measurment
Glucose	0	100.0 ± 10.0
	300*	96.0 ± 8.5
	150*	95.9 ± 4.3
Human serum albumin	0	100.0 ± 10.0
	300	105.7 ± 10.0
	150*	101.5 ± 3.4
Haemoglobin	0	100.0 ± 5.7
	200	90.3 ± 3.3
	100*	97.2 ± 8.8
Ascorbic acid	0	100.0 ± 0.2
	100	92.2 ± 1.5
	50*	99.7 ± 3.5
Bilirubin	0	100.0 ± 9.4
	50	78.8 ± 8.9
	35*	101.5 ± 10.1
Uric acid	0	100.0 ± 6.9
	30	77.4 ± 6.5
	20*	96.3 ± 9.2

หมายเหตุ (*) แสดงถึงความเข้มข้นของสารที่ไม่รบกวนปฏิกิริยาการตรวจวัด

สำหรับการทดสอบความสามารถในการกำจัดครีเอทีนในตัวอย่างตรวจในบริเวณ R1 ของ enz-PADs ให้ผลการทดสอบดังตารางที่ 4.8 คือเมื่อพิจารณาค่า %Measurment ของการตรวจวัดครีเอทีนด้วย enz-PADs เมื่อมีการเติมสารครีเอทีนเพิ่มลงไปในสารมาตรฐานครีเอทีนและตัวอย่างปัสสาวะที่ครีเอทีนความเข้มข้นสุดท้ายเท่ากับ 1 มิลลิกรัมต่อเดซิลิตร และ 10 มิลลิกรัมต่อเดซิลิตร มีค่า %Measurment อยู่ในช่วง 95 – 105% ที่ถือว่ายอมรับได้ว่าสารที่นำมาทดสอบไม่รบกวนการตรวจวัดอย่างมีนัยสำคัญ ดังแสดงผลการทดสอบในตารางที่ 4.9 ดังนั้นสรุปได้ว่าความสามารถในการกำจัดครีเอทีนในตัวอย่างปัสสาวะของ enz-PAD ที่พัฒนาได้ คือ 10 มิลลิกรัมต่อเดซิลิตร เมื่อปัสสาวะถูกเจือจางด้วย 100 มิลลิโมลาร์ของสารละลายโพแทสเซียมฟอสเฟตบัฟเฟอร์ 10 เท่า ก่อนทำการตรวจวัด

เนื่องจากครีเอทีนสามารถพบได้ในปัสสาวะในเพศชาย 0 – 40 มิลลิกรัมต่อวัน ในขณะที่เพศหญิงพบได้ 0 – 80 มิลลิกรัมต่อวัน (36) และในคนสุขภาพดีปัสสาวะจะถูกขับออกมาปริมาณ 1 – 2 ลิตร (17) ดังนั้นอาจกล่าวได้ว่า ในสภาวะการขับปัสสาวะ 1.5 ลิตรต่อวัน (22) ในเพศชายจะพบครีเอทีนในปัสสาวะประมาณ 0 - 2.7 มิลลิกรัมต่อเดซิลิตร และในเพศหญิงจะพบครีเอทีนในปัสสาวะประมาณ 0 - 5.3 มิลลิกรัมต่อเดซิลิตร ดังนั้น สรุปได้ว่า ปริมาณครีเอทีนที่มีในปัสสาวะของคนปกติในช่วงดังกล่าวไม่รบกวนปฏิกิริยาการตรวจวัดปริมาณครีเอทีนด้วย enz-PADs ที่พัฒนาขึ้น

นอกจากนี้ อุปกรณ์ตรวจวัดบนกระดาษที่พัฒนาขึ้นอาศัยหลักการตรวจหาปริมาณครีเอทีนด้วยเอนไซม์ครีเอทีนเนสและเอนไซม์ครีเอทีนเนสในการหาปริมาณครีเอทีน ซึ่งมักมีสารรบกวนปฏิกิริยา คือบิลิรูบินและวิตามินซี แต่อย่างไรก็ตามในน้ำยาที่นำมาใช้ในการประยุกต์สร้าง enz-PAD มีสารโพแทสเซียมเฮกซะไซยาโนเฟอร์เรต ซึ่งเป็นสารที่ใช้ในการกำจัดบิลิรูบินที่รบกวนปฏิกิริยา และเอนไซม์แอสคอร์เบสออกซิเดส ซึ่งเป็นเอนไซม์ที่ใช้ในการกำจัดวิตามินซีในสารตัวอย่างจึงทำให้ enz-PAD ที่พัฒนาขึ้นไม่ถูกรบกวนปฏิกิริยาการตรวจวัดด้วยสารดังกล่าว และการออกแบบ PAD ให้มีเวลาและระยะทางในการเคลื่อนที่ของตัวอย่างในการสัมผัสกับน้ำยา R1 ที่เหมาะสม ทำให้ครีเอทีนที่อาจมีในตัวอย่างตรวจจะถูกกำจัดด้วยการทำการบ่มปฏิกิริยาด้วยเอนไซม์ครีเอทีนเนสและเอนไซม์ซาโคซินออกซิเดสในพื้นที่ R1 ก่อน เพื่อทำการกำจัดครีเอทีนในตัวอย่างตรวจดังผลข้างต้น ทำให้ enz-PAD ที่พัฒนาขึ้นไม่ถูกรบกวนจากครีเอทีน

ตารางที่ 4.9 การทดสอบความสามารถในการกำจัดครีเอตินในตัวอย่างตรวจในบริเวณ R1 ของ enz-PADs

Creatinine	ผลการทดสอบที่ได้จาก enz-PADs		ความเข้มข้นของ creatinine (mg dL ⁻¹)	% Measurment
	Creatine ที่เติม	Colour intensity (Blank – Test)**		
สารมาตรฐาน ครีเอตินิน (10 mg dL ⁻¹)	0	24.92 ± 3.57	10.00 ± 1.43	100.00%
	1*	25.38 ± 5.76	10.18 ± 2.31	101.83%
	1.5	30.17 ± 1.53	12.11 ± 0.61	121.05%
	2	36.54 ± 2.68	14.66 ± 1.08	146.63%
	2.5	36.84 ± 2.44	14.78 ± 0.98	147.85%
	5	39.36 ± 4.69	15.79 ± 1.88	157.93%
ปัสสาวะ	0	208.04 ± 2.06	118.70 ± 8.25	100.00%
	10*	207.25 ± 1.36	121.87 ± 5.45	102.67%
	15	200.20 ± 1.43	150.16 ± 5.74	126.50%
	20	189.73 ± 3.17	192.16 ± 12.73	161.89%
	25	189.54 ± 5.77	192.92 ± 23.16	162.53%
	50	188.52 ± 3.68	197.04 ± 14.78	166.00%

หมายเหตุ (*) แสดงถึงความเข้มข้นของสารที่ไม่รบกวนปฏิกิริยาการตรวจวัด

(**) ทำซ้ำ 3 ครั้ง

5.4 ผลการทดสอบหาความแม่นยำ (precision) และความสามารถในการทำซ้ำ (reproducibility) ของ enz-PADs

ทำการศึกษาความแม่นยำของ enz-PADs ที่พัฒนาขึ้น โดยนำ enz-PADs มาทดสอบกับสารละลายมาตรฐานครีเอทีนที่มีความเข้มข้น 2 ระดับ ได้แก่ 5 และ 20 มิลลิกรัมต่อเดซิลิตร เป็นตัวอย่าง สำหรับการทดสอบความแม่นยำภายในวันเดียวกัน (with-in day precision) ทำการเตรียม enz-PADs จำนวน 20 ชิ้น ในสภาวะและเวลาเดียวกัน จากนั้นนำ enz-PADs ที่ได้ไปทดสอบภายใน 1 วัน จำนวน 10 ชิ้นต่อหนึ่งความเข้มข้น ($n = 10$) และทำการวัดความเข้มสีที่ได้ด้วยโปรแกรม Adobe Photoshop CS2 ในโหมด RGB จากนั้นทำการเทียบผลจากความเข้มสีที่ได้จากการตรวจวัดสารมาตรฐานครีเอทีนกับกราฟมาตรฐาน เพื่อหาความเข้มข้นต่อไป ค่าที่ได้ดังแสดงในตารางที่ 4.9 คำนวณเป็นผลค่าความแปรปรวน (%CVs) ของการทดสอบด้วยครีเอทีน ความเข้มข้น 5 มิลลิกรัมต่อเดซิลิตร คือ 8.82% และครีเอทีนความเข้มข้น 20 มิลลิกรัมต่อเดซิลิตร คือ 6.86% นอกจากนี้ได้ทำการเตรียม enz-PADs จำนวน 60 ชิ้น ในสภาวะและเวลาเดียวกัน จากนั้นนำ enz-PADs ที่ได้ไปตรวจวัดครีเอทีนในตัวอย่างปัสสาวะจริง 3 ความเข้มข้น (ค่าต่ำ กลาง และสูง) ทดสอบภายใน 1 วัน จำนวน 20 ชิ้นต่อหนึ่งความเข้มข้น ($n = 20$) ผลการทดสอบค่าความแม่นยำของการค่าครีเอทีนความเข้มข้น 12, 170 และ 330 มิลลิกรัมต่อเดซิลิตร คำนวณเป็นผลค่าความแปรปรวน (%CVs) ได้ 14.21%, 6.93% และ 5.86% ตามลำดับ ดังแสดงในตารางที่ 4.10

จากการทดสอบหาความแม่นยำระหว่างวัน (between day precision) จากการเตรียม enz-PADs ในสภาวะเดียวกันในแต่ละวันติดต่อกันจำนวน 3 วัน วันละ 10 ชิ้น ($n = 30$) ต่อความเข้มข้น จากนั้นนำไปทดสอบหาความเข้มข้นของสารมาตรฐานครีเอทีนที่วัดได้ในแต่ละวันจากกราฟมาตรฐาน ความเข้มสีของการทดสอบต่อครีเอทีนความเข้มข้น 5 และ 20 มิลลิกรัมต่อเดซิลิตร ค่าที่ได้ดังแสดงในตารางที่ 4.11 คำนวณเป็นผลค่าความแปรปรวน (%CVs) ของการทดสอบด้วยครีเอทีนความเข้มข้น 5 มิลลิกรัมต่อเดซิลิตร คือ 11.57% และครีเอทีนความเข้มข้น 20 มิลลิกรัมต่อเดซิลิตร คือ 9.39% นอกจากนี้ได้ทำการเตรียม enz-PADs ในสภาวะและเวลาเดียวกันติดต่อกันจำนวน 10 วัน วันละ 3 ชิ้น ($n = 30$) ต่อความเข้มข้น จากนั้นนำ enz-PADs ที่ได้ไปตรวจวัดครีเอทีนในตัวอย่างปัสสาวะจริง 3 ความเข้มข้น (ค่าต่ำ กลาง และสูง) ผลการทดสอบค่าความแม่นยำของการค่าครีเอทีนความเข้มข้น 12, 170 และ 330 มิลลิกรัมต่อเดซิลิตร คำนวณเป็นผลค่า

ความแปรปรวน (%CVs) ได้ 16.55%, 6.44% และ 6.14% ตามลำดับ ดังแสดงในตารางที่ 4.12 จากผลการทดสอบความแม่นยำข้างต้น พบว่า enz-PADs ที่พัฒนาขึ้น มีผลการทดสอบเป็นที่น่าพึงพอใจสำหรับการใช้ในการตรวจวัดหาปริมาณครีเอตินินในปัสสาวะต่อไป

ตารางที่ 4.10 ผลการทดสอบความแม่นยำภายในวันเดียวกัน (within-day precision) ของ enz-PADs เมื่อทำการทดสอบกับสารมาตรฐานครีเอตินิน 2 ความเข้มข้น

การทดสอบ	Within-day precision (n=10)	
	ความเข้มข้นของครีเอตินินที่ใช้ในการทดสอบ (mg dL ⁻¹)	
	ความเข้มข้นที่วัดได้	
ความเข้มข้นจริง	5	20
ครั้งที่ 1	4.36	16.69
ครั้งที่ 2	4.26	16.97
ครั้งที่ 3	4.19	14.42
ครั้งที่ 4	4.38	16.51
ครั้งที่ 5	5.22	16.09
ครั้งที่ 6	5.40	17.40
ครั้งที่ 7	4.76	18.28
ครั้งที่ 8	4.94	18.55
ครั้งที่ 9	4.88	17.19
ครั้งที่ 10	4.57	16.62
ความเข้มข้นครีเอตินิน	5	20
Mean (mg dL ⁻¹)	4.70	16.87
SD	0.41	1.16
%CV	8.82	6.86

ตารางที่ 4.11 ผลการทดสอบความแม่นยำภายในวันเดียวกัน (within-day precision) ของ enz-PADs เมื่อทำการทดสอบกับตัวอย่างปัสสาวะที่มีค่าครีเอตินิน 3 ความเข้มข้น

Within-day precision (n=20)			
การทดสอบ	ความเข้มข้นของครีเอตินินในปัสสาวะที่ใช้ในการทดสอบ (mg dL ⁻¹)		
	ความเข้มข้นที่วัดได้		
ความเข้มข้นจริง	ค่าต่ำ (12)	ค่ากลาง (170)	ค่าสูง (330)
ครั้งที่ 1	12.36	159.74	326.35
ครั้งที่ 2	10.48	174.18	335.13
ครั้งที่ 3	10.90	167.99	330.48
ครั้งที่ 4	12.30	188.15	317.99
ครั้งที่ 5	10.37	189.47	315.03
ครั้งที่ 6	11.89	161.75	339.05
ครั้งที่ 7	15.09	163.76	309.42
ครั้งที่ 8	8.74	161.16	314.92
ครั้งที่ 9	12.68	184.55	373.76
ครั้งที่ 10	12.08	172.12	367.94
ครั้งที่ 11	10.67	166.67	305.50
ครั้งที่ 12	13.57	155.24	312.59
ครั้งที่ 13	9.31	160.42	333.44
ครั้งที่ 14	9.88	197.62	333.65
ครั้งที่ 15	9.54	179.74	347.72
ครั้งที่ 16	12.17	167.09	308.25
ครั้งที่ 17	14.24	156.72	329.21
ครั้งที่ 18	12.25	176.67	340.53
ครั้งที่ 19	11.39	177.04	317.25
ครั้งที่ 20	12.42	178.73	305.50

ตารางที่ 4.11 ผลการทดสอบความแม่นยำภายในวันเดียวกัน (within-day precision) ของ enz-PADs เมื่อทำการทดสอบกับตัวอย่างปัสสาวะที่มีค่าครีเอตินิน 3 ความเข้มข้น (ต่อ)

ความเข้มข้น ครีเอตินิน	ค่าต่ำ (12)	ค่ากลาง (170)	ค่าสูง (330)
Mean (mg dL ⁻¹)	11.62	171.94	328.19
SD	1.65	11.91	19.22
%CV	14.21	6.93	5.86

ตารางที่ 4.12 ผลการทดสอบความแม่นยำระหว่างวัน (between-day precision) ของ enz-PADs เมื่อทำการทดสอบกับสารมาตรฐานครีเอตินิน 2 ความเข้มข้น

การทดสอบ	Between-day precision (3 days, n=30)					
	ความเข้มข้นของครีเอตินินที่ใช้ในการทดสอบ (mg dL ⁻¹)					
	ความเข้มข้นที่วัดได้					
	วันที่ 1		วันที่ 2		วันที่ 3	
ความเข้มข้นจริง	5	20	5	20	5	20
ครั้งที่ 1	4.36	16.69	4.56	18.96	4.97	15.73
ครั้งที่ 2	4.26	16.97	4.57	19.11	4.24	16.66
ครั้งที่ 3	4.19	14.42	5.82	19.11	5.35	18.56
ครั้งที่ 4	4.38	16.51	5.09	19.35	4.40	16.84
ครั้งที่ 5	5.22	16.09	5.57	13.83	5.92	18.03
ครั้งที่ 6	5.40	17.40	4.72	17.44	5.55	18.66
ครั้งที่ 7	4.76	18.28	4.88	19.48	6.12	15.81
ครั้งที่ 8	4.94	18.55	4.41	17.28	3.65	16.36
ครั้งที่ 9	4.88	17.19	4.46	20.42	4.31	19.87
ครั้งที่ 10	4.57	16.62	4.92	19.52	3.49	20.16

ตารางที่ 4.12 ผลการทดสอบความแม่นยำระหว่างวัน (between-day precision) ของ enz-PADs เมื่อทำการทดสอบกับสารมาตรฐานครีเอตินิน 2 ความเข้มข้น (ต่อ)

ความเข้มข้นครีเอตินิน	5	20
Mean (mg dL ⁻¹)	4.89	17.66
SD	0.57	1.66
%CV	11.57	9.39

ตารางที่ 4.13 ผลการทดสอบความแม่นยำระหว่างวัน (between-day precision) ของ enz-PADs เมื่อทำการทดสอบกับตัวอย่างปัสสาวะที่มีค่าครีเอตินิน 3 ความเข้มข้น

Between-day precision (10 days, n=30)				
การทดสอบ		ความเข้มข้นของครีเอตินินในปัสสาวะที่ใช้ในการทดสอบ (mg dL ⁻¹)		
		ความเข้มข้นที่วัดได้		
วันที่	ครั้งที่	ค่าต่ำ (12)	ค่ากลาง (170)	ค่าสูง (330)
1	1	12.36	159.74	326.35
	2	10.48	174.18	335.13
	3	10.90	167.99	330.48
2	4	12.42	152.28	313.12
	5	15.05	167.41	315.98
	6	13.67	150.95	320.32
3	7	11.39	166.35	353.65
	8	10.52	173.81	349.10
	9	14.52	184.66	360.00
4	10	11.17	162.38	314.29
	11	10.88	159.58	340.00
	12	8.93	160.00	344.44

ตารางที่ 4.13 ผลการทดสอบความแม่นยำระหว่างวัน (between-day precision) ของ enz-PADs เมื่อทำการทดสอบกับตัวอย่างปัสสาวะที่มีค่าครีเอตินิน 3 ความเข้มข้น (ต่อ)

		Between-day precision (10 days, n=30)		
การทดสอบ		ความเข้มข้นของครีเอตินินในปัสสาวะที่ใช้ในการทดสอบ (mg dL ⁻¹)		
		ความเข้มข้นที่วัดได้		
วันที่	ครั้งที่	ค่าต่ำ (12)	ค่ากลาง (170)	ค่าสูง (330)
5	13	10.43	173.28	315.98
	14	9.02	178.89	348.57
	15	12.57	178.68	351.96
6	16	11.49	180.32	359.68
	17	13.88	163.49	326.03
	18	11.62	158.84	368.78
7	19	10.75	165.98	299.89
	20	11.87	163.54	306.67
	21	10.88	166.46	312.17
8	22	11.85	154.87	315.13
	23	10.67	150.48	300.42
	24	17.33	178.57	367.41
9	25	14.69	176.46	360.85
	26	16.38	165.13	328.47
	27	10.41	165.98	327.51
10	28	13.63	154.81	346.35
	29	13.42	136.46	349.63
	30	13.12	165.98	355.03

ตารางที่ 4.13 ผลการทดสอบความแม่นยำระหว่างวัน (between-day precision) ของ enz-PADs เมื่อทำการทดสอบกับตัวอย่างปัสสาวะที่มีค่าครีเอตินิน 3 ความเข้มข้น (ต่อ)

ความเข้มข้น ครีเอตินิน	ค่าต่ำ (12)	ค่ากลาง (170)	ค่าสูง (330)
Mean (mg dL ⁻¹)	12.21	165.25	334.78
SD	2.02	10.65	20.54
%CV	16.55	6.44	6.14

5.5 ผลการทดสอบหาความคงตัว (stability) ของ enz-PADs

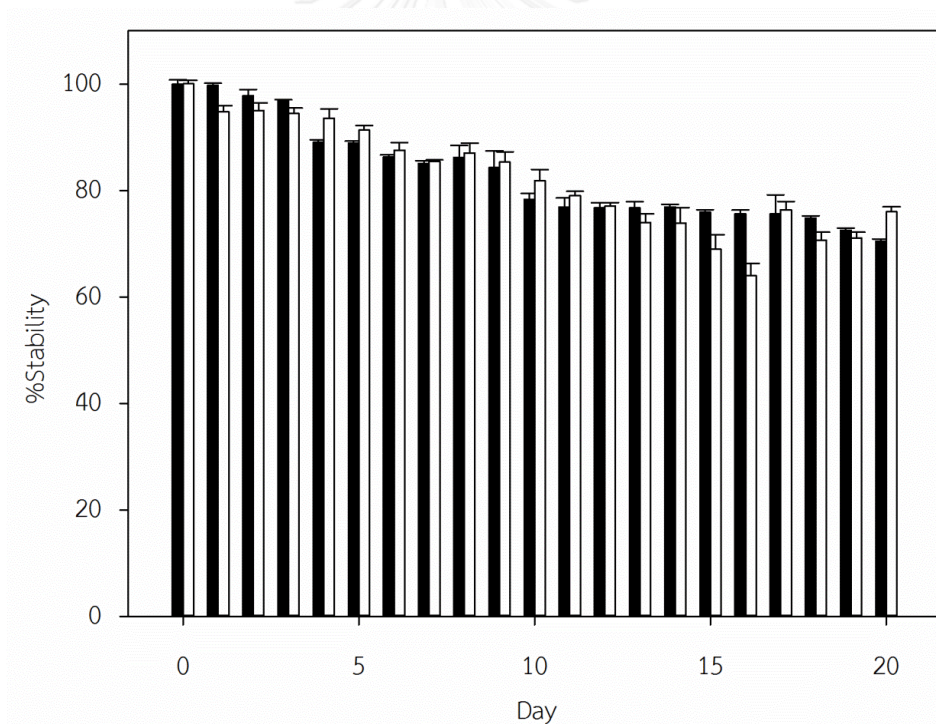
ทำการศึกษาความคงตัวของ enz-PADs ที่พัฒนาขึ้น โดยทำการสร้าง enz-PADs ขึ้นในสภาวะเดียวกัน จำนวน 180 อัน สำหรับใช้ทดสอบหาค่าความคงตัวระยะเวลา 20 วัน วันละ 9 อัน อันประกอบไปด้วย ทดสอบกับตัวอย่าง ได้แก่ สารมาตรฐานครีเอตินินความเข้มข้น 0, 5 และ 20 มิลลิกรัมต่อเดซิลิตร อย่างละ 3 ซ้ำ จากนั้นนำ enz-PADs ที่ได้ปิดผนึกด้วยเครื่องผนึกสุญญากาศ (vacuum sealer) เก็บไว้ในตู้เย็น 2-4 องศาเซลเซียส จนกว่าจะครบกำหนดเวลาในการทดสอบ โดยในแต่ละวันที่ทำการทดสอบจะนำค่าจากการทดสอบ enz-PADs ที่ถูกเตรียมขึ้นใหม่ ทดสอบกับสารมาตรฐานครีเอตินินที่ความเข้มข้น 10 มิลลิกรัมต่อเดซิลิตร ในวันนั้นๆ เป็นค่าเทียบมาตรฐาน เพื่อใช้ในการคำนวณหาค่าความเข้มข้นของตัวอย่างที่ทำการทดสอบ ดังสูตร

$$\text{ความเข้มข้นครีเอตินินในตัวอย่าง (มิลลิกรัมต่อเดซิลิตร)} = \frac{10 \times sCI}{CI}$$

เมื่อ sCI หมายถึง ความเข้มของสีที่ได้จากการทำปฏิกิริยาของตัวอย่าง (Blank – Test) และ CI หมายถึง ความเข้มของสีที่ได้จากการทำปฏิกิริยาของสารมาตรฐานครีเอตินินความเข้มข้น 10 มิลลิกรัมต่อเดซิลิตร (Blank – Test) ที่ทำการเตรียม enz-PADs ขึ้นใหม่ ณ วันนั้นๆ จากนั้นทำการหาเปอร์เซ็นต์ความคงตัวจากสูตร

$$\text{เปอร์เซ็นต์ความคงตัวของ enz-PADs (\%)} = \frac{\text{ความเข้มข้นของครีเอตินินที่วัดได้ในแต่ละวัน} \times 10}{\text{ความเข้มข้นของครีเอตินินที่วัดได้ของ enz-PADs ที่เตรียมใหม่}}$$

พบว่า enz-PADs ที่พัฒนาขึ้น สามารถดูดซับน้ำยาและทำการผนึกถุงระบบสุญญากาศ (vacuum sealer) เก็บไว้ในตู้เย็น 2-4 องศาเซลเซียส ได้นาน 14 วัน หรือ 2 สัปดาห์ โดยประสิทธิภาพในการตรวจวัดปริมาณครีเอทีนินจะลดลงเหลือประมาณร้อยละ 90 เมื่อทำการตรึงน้ำยาทิ้งไว้เป็นเวลา 4 วัน (89.06% เมื่อทำการทดสอบกับสารมาตรฐานครีเอทีนิน 5 มิลลิกรัมต่อเดซิลิตร, 93.57% เมื่อทำการทดสอบกับสารมาตรฐานครีเอทีนิน 20 มิลลิกรัมต่อเดซิลิตร) ประสิทธิภาพลดลงเหลือประมาณร้อยละ 80 เมื่อทำการตรึงน้ำยาทิ้งไว้เป็นเวลา 9 วัน (82.68% เมื่อทำการทดสอบกับสารมาตรฐานครีเอทีนิน 5 มิลลิกรัมต่อเดซิลิตร, 83.20% เมื่อทำการทดสอบกับสารมาตรฐานครีเอทีนิน 20 มิลลิกรัมต่อเดซิลิตร) และประสิทธิภาพลดลงเหลือประมาณร้อยละ 70 เมื่อทำการตรึงน้ำยาทิ้งไว้เป็นเวลา 20 วัน รายละเอียดดังแสดงในตารางที่ ก.3 (ภาคผนวก) และรูปที่ 4.11



รูปที่ 4.11 กราฟแสดงความสัมพันธ์ระหว่างระยะเวลาในการเก็บและเปอร์เซ็นต์ความคงตัวของ enz-PADs ในระยะเวลา 20 วัน (■) แทนครีเอทีนินความเข้มข้น 5 mg dL⁻¹ (□) แทนครีเอทีนินความเข้มข้น 20 mg dL⁻¹

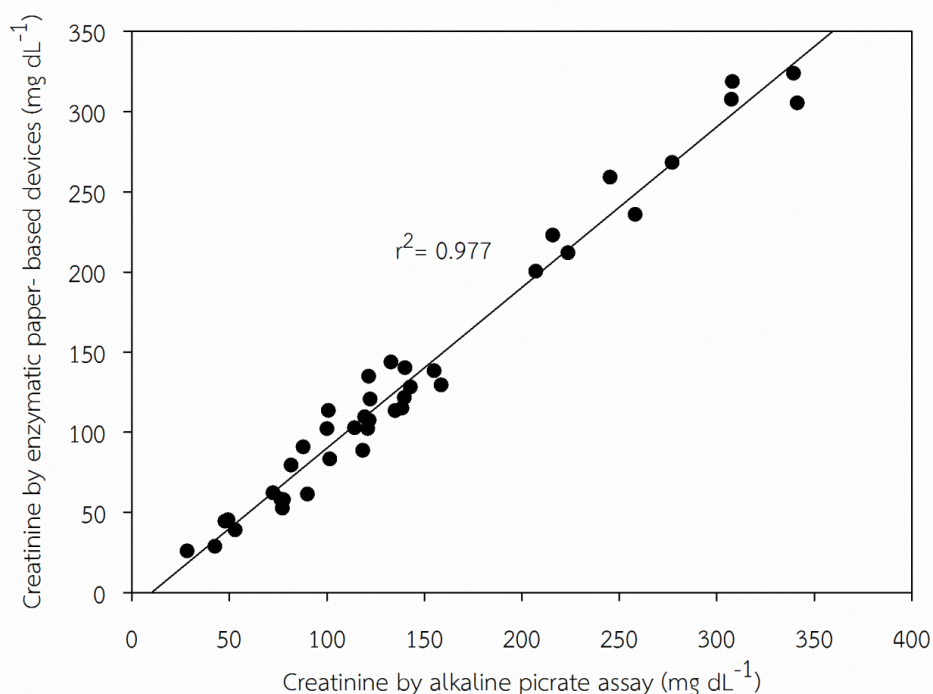
ทั้งนี้ ผลการทดสอบความคงตัวของ enz-PAD พบว่า เมื่อทำการดูดซับน้ำยาเก็บไว้ ผลการทดสอบจะให้ค่าความเข้มข้นที่ลดลงเรื่อยๆ ในแต่ละวัน อาจเป็นผลเนื่องจากรูปร่างที่เปลี่ยนไป (conformation change) ของ active site ของเอนไซม์ หรือการ folding ของเอนไซม์ที่ไม่เหมาะสม เมื่อเอนไซม์ถูกดูดซับไว้บนกระดาษ ทำให้เอนไซม์นั้นๆ มีการทำงานที่ลดต่ำลง ดังนั้น เพื่อประสิทธิภาพในการตรวจวัดครีเอทีนินที่ดี ควรเตรียม enz-PADs แล้วใช้งานทันที หรือเตรียมไว้ไม่เกิน 1 สัปดาห์ เพื่อให้ประสิทธิภาพการทำงานของเอนไซม์ยังคงอยู่มากกว่าร้อยละ 85 หากต้องการให้ enz-PADs มีประสิทธิภาพในการใช้งานเพิ่มขึ้น อาจต้องมีการศึกษาหาสภาวะที่เหมาะสมต่อการทำงานของเอนไซม์ในน้ำยาที่นำมาใช้งานบนกระดาษต่อไป

5.6 ผลการตรวจวัดปริมาณครีเอทีนินในตัวอย่างปัสสาวะเปรียบเทียบกับวิธีอัลคาไลน์พิเครทแบบโคเนติก

เพื่อศึกษาความถูกต้องแม่นยำของ enz-PADs ในการตรวจหาปริมาณครีเอทีนินในปัสสาวะ ทำการเก็บปัสสาวะครั้งแรกในตอนเช้าหลังจากตื่นนอนทันทีของอาสาสมัครที่สุขภาพดี จำนวน 40 ราย ซึ่งทำการเก็บเฉพาะปัสสาวะช่วงกลาง โดยถ่ายปัสสาวะช่วงแรกทิ้งไปก่อน เก็บเฉพาะปัสสาวะช่วงกลาง และถ่ายปัสสาวะช่วงท้ายทิ้งไป นำมาปั่นตกตะกอนด้วยเครื่องปั่นเหวี่ยงที่ 3,000 รอบต่อนาที เป็นเวลา 5 นาที จากนั้นนำเอาส่วนใสมาเจือจาง 10-20 เท่าด้วย 100 มิลลิโมลาร์ของสารละลายโพแทสเซียมฟอสเฟตบัฟเฟอร์ ที่ pH 7.5 ก่อนนำไปตรวจวัดด้วย enz-PADs ผลการการตรวจวัดปริมาณครีเอทีนิน ด้วย enz-PADs นำมาเปรียบเทียบกับวิธีทั่วไปที่ใช้ในห้องปฏิบัติการทางการแพทย์ คือวิธีอัลคาไลน์พิเครทแบบโคเนติก ได้ผลดังแสดงในตารางที่ ก.4 (ภาคผนวก)

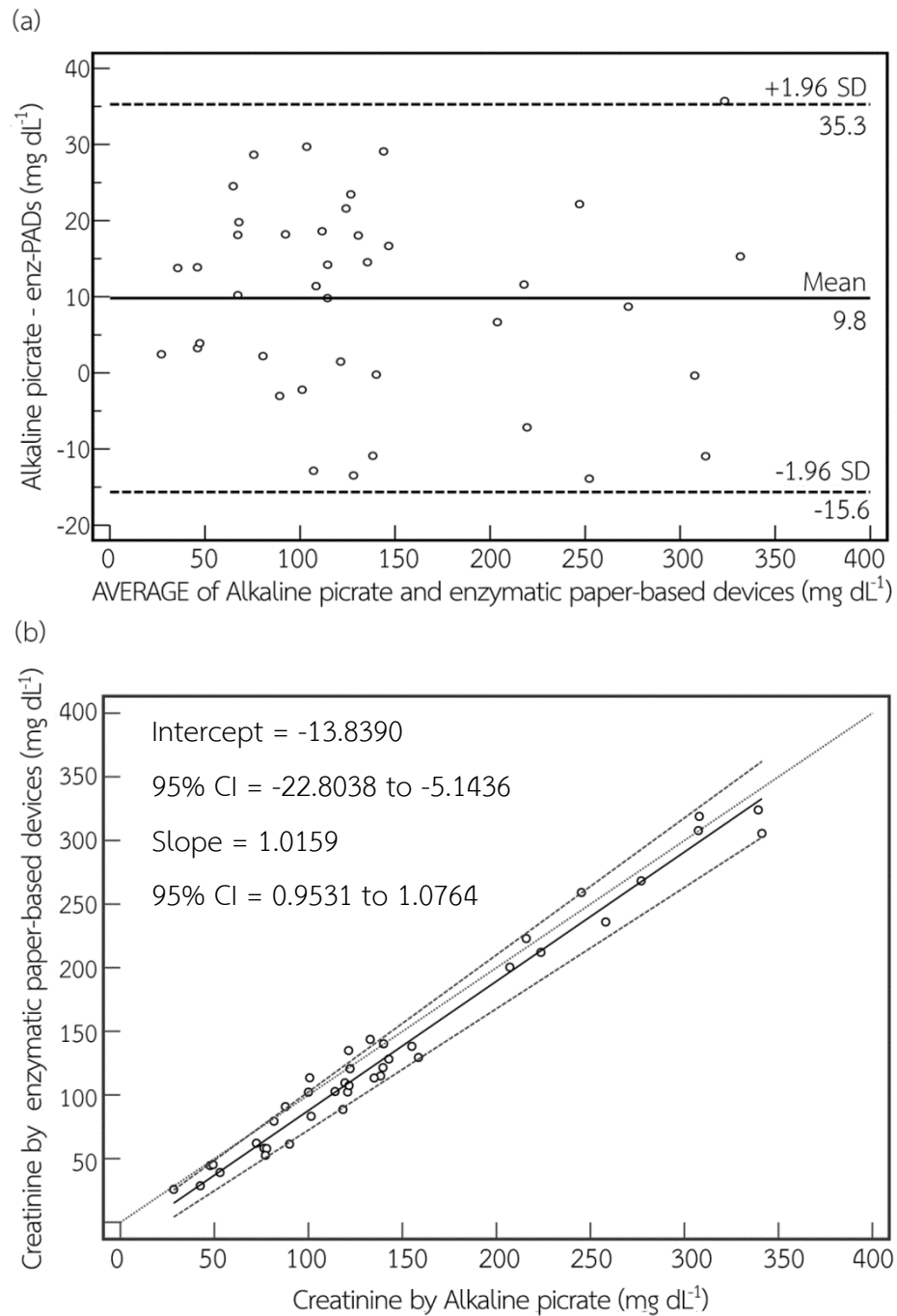
ผลการตรวจวัดทั้งสองวิธี เมื่อนำมาหาความสัมพันธ์ระหว่างค่าครีเอทีนินที่ได้จากวิธีอัลคาไลน์พิเครทแบบโคเนติกและวิธีที่พัฒนาขึ้น (enz-PADs) พบว่าสมการ regression analysis relation คือ $y = 1.002 (\pm 0.025)x - 10.136 (\pm 4.178)$ ($y = Ax+B$) และได้ค่าสัมประสิทธิ์การกำหนด (coefficient of determination) หรือ $r^2 = 0.977$ ซึ่งมีค่าใกล้เคียง 1 ซึ่งเป็นค่าที่ใช้แสดงความแปรผันที่เกิดขึ้นกับตัวแปรตามในที่นี้คือ วิธีที่พัฒนาขึ้น enz-PADs มีผลเนื่องมาจากตัวแปรต้นในที่นี้ คือวิธีอัลคาไลน์พิเครทแบบโคเนติกคิดเป็นร้อยละ 97.7 หมายความว่า อิทธิพลของการตรวจหาปริมาณครีเอทีนินในปัสสาวะด้วยวิธี enz-PADs ต่อวิธีอัลคาไลน์พิเครทแบบโคเนติกคิดเป็น

ร้อยละ 97.7 ที่เหลืออีกร้อยละ 2.7 เป็นผลอันเนื่องมาจากตัวแปรอื่น ดังรูปที่ 4.12 และสมการการประมาณค่า $y = 1.002 (\pm 0.025)x - 10.136 (\pm 4.178)$ มีความเหมาะสมที่จะนำไปใช้งานในการประมาณค่าความต่างระหว่างค่าที่ได้จากการหาปริมาณครีเอตินินในปัสสาวะระหว่าง 2 วิธีได้ สามารถสรุปได้ว่า enz-PADs ที่พัฒนาขึ้นมีความสัมพันธ์เชิงเส้นกับวิธีอัลคาไลน์พิเครทแบบโคเนติก และเมื่อวิเคราะห์ด้วยสถิติ Paired sample T-test พบว่าการทดสอบทั้ง 2 วิธีไม่แตกต่างกันอย่างมีนัยสำคัญทางสถิติ ($p = 0.606$)



รูปที่ 4.12 กราฟแสดงความสัมพันธ์ของปริมาณครีเอตินินที่ตรวจวัดได้โดยวิธีที่พัฒนาขึ้น (enz-PADs) เทียบกับวิธีอัลคาไลน์พิเครทแบบโคเนติก โดยใช้โปรแกรม Sigmaplot $r^2 = 0.977$, $n = 40$ ($y = 1.002 (\pm 0.025)x - 10.174 (\pm 4.178)$)

นอกจากนี้ เมื่อนำผลของการตรวจทั้งสองวิธีมาวิเคราะห์โดยใช้สถิติ Bland and Altman test พบว่าวิธีที่นำเสนอโดยใช้ enz-PADs ไม่มี bias ของการตรวจวัดอย่างมีนัยสำคัญ เนื่องจากผลต่างของวิธี enz-PADs ที่พัฒนาขึ้นกับวิธีอัลคาไลน์ฟิเครทแบบโคเนติก ส่วนมากอยู่ในช่วง ± 1.96 SD ดังแสดงในรูปที่ 4.13 (a) การวิเคราะห์หาความสัมพันธ์ของทั้งสองวิธีโดยใช้สถิติ Passing and Bablok regression สำหรับการตรวจหาปริมาณครีเอตินิน ดังรูปที่ 4.13 (b) ข้างล่าง พบว่าสมการ Passing and Bablok regression คือ $y = 1.0159x - 13.8390$ ($y = Ax + B$) ที่ช่วงค่าความเชื่อมั่น 95% ค่าความชัน (slope) ใช้สำหรับทดสอบสมมติฐานว่า $A = 1$ ซึ่งจะยอมรับสมมติฐานก็ต่อเมื่อช่วงความเชื่อมั่นสำหรับ A มีค่า 1 อยู่ด้วย ผลการทดสอบ พบว่าค่า slope อยู่ในช่วง 0.9531 ถึง 1.0764 ซึ่งมีค่า 1 อยู่ในช่วงดังกล่าว แสดงให้เห็นว่า สามารถยอมรับว่าค่า slope ของสมการไม่แตกต่างจาก 1 อย่างมีนัยสำคัญทางสถิติ สำหรับค่าสถิติแสดงให้เห็นว่าค่าความชัน (1.0159) ไม่แตกต่างอย่างมีนัยสำคัญกับ 1 และค่าจุดตัดแกน y ซึ่งใช้ทดสอบสมมติฐานว่า $B = 0$ ซึ่งจะยอมรับสมมติฐานถ้าช่วงความเชื่อมั่นสำหรับจุดนั้นมีค่าเท่ากับ 0 อยู่ด้วยในผลการทดลอง แต่เนื่องจากค่าจุดตัดแกนอยู่ในช่วง -22.8038 ถึง -5.1436 คือไม่มี 0 อยู่ในช่วงดังกล่าว ดังนั้นจึงสรุปได้ว่าค่าจุดตัดแกน y (-13.8390) จากสมการข้างต้น มีค่าต่างจาก 0 อย่างมีนัยสำคัญทางสถิติ นั่นหมายถึงวิธีที่พัฒนาขึ้น (enz-PADs) มีความต่างในเชิงลบจากวิธีอัลคาไลน์ฟิเครทแบบโคเนติกอยู่ที่ค่าคงที่เท่ากับ 13.8 มิลลิกรัมต่อเดซิลิตร ซึ่งให้ผลสอดคล้องกับการรายงานที่ว่า การตรวจวัดปริมาณครีเอตินินด้วยวิธีเอนไซม์จะให้ค่าต่ำกว่าผลที่ได้จากวิธีอัลคาไลน์ฟิเครทแบบโคเนติก ซึ่งเป็นวิธีที่สามารถถูกรบกวนปฏิกิริยาได้จาก pseudo-chromogen (10)



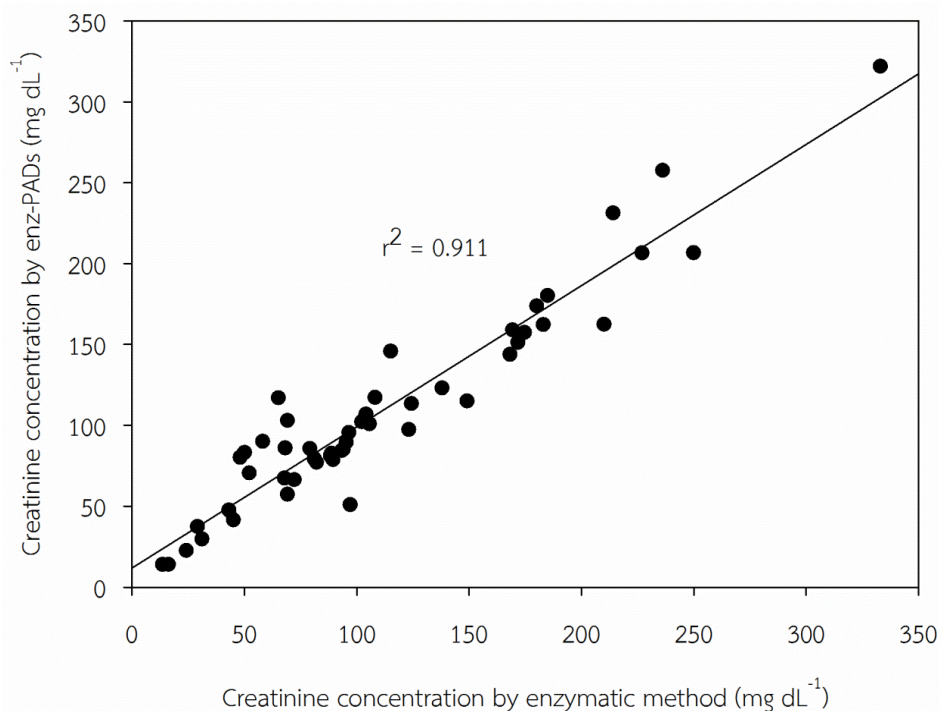
รูปที่ 4.13 ผลการเปรียบเทียบการตรวจวัดปริมาณครีเอตินินของวิธีที่พัฒนาขึ้นด้วยวิธีอัลคาไลน์พิเครทแบบโคเนติ (a) ผลการเปรียบเทียบการตรวจวัดปริมาณครีเอตินินโดยใช้สถิติ Bland and Altman plot (b) ผลการเปรียบเทียบการตรวจวัดปริมาณครีเอตินินโดยใช้สถิติ Passing-bablok regression

5.7 ผลการตรวจวัดปริมาณครีเอตินินในตัวอย่างปัสสาวะด้วย enz-PADs ที่พัฒนาขึ้น เปรียบเทียบกับวิธีเอนไซม์ด้วยเครื่องตรวจวิเคราะห์อัตโนมัติ

เนื่องจาก enz-PADs ที่พัฒนาขึ้น อาศัยหลักการเอนไซม์ในการตรวจวัดหาปริมาณครีเอตินิน จึงมีการศึกษาความถูกต้องแม่นยำของ enz-PADs ในการตรวจหาปริมาณครีเอตินินในปัสสาวะเปรียบเทียบกับวิธีการตรวจหาปริมาณครีเอตินินด้วยวิธีเอนไซม์ (colorimetric enzymatic method) ในที่นี้ได้นำเอาปัสสาวะครั้งแรกในตอนเช้าหลังจากตื่นนอนทันทีของอาสาสมัครที่สุขภาพดีจำนวน 50 ตัวอย่าง นำส่งบริษัท โพรเฟสชันแนล ลาโบราทอรี แมเนจเม้นท์ คอร์ป จำกัด หรือ Prolab เพื่อทดสอบหาค่าครีเอตินินในตัวอย่างปัสสาวะด้วยหลักการเอนไซม์ (น้ำยา Creatinine plus ver.2 ของบริษัท Roche diagnostic) จากนั้นนำตัวอย่างทั้ง 50 ตัวอย่างมาทำการตรวจวัดหาปริมาณครีเอตินินด้วย enz-PADs ที่ได้พัฒนาขึ้น สำหรับผลการตรวจวัดค่าความเข้มของสีที่ได้ที่ต่ำกว่าค่าของ blank จะทำการลดการเจือจางตัวอย่างปัสสาวะนั้นๆ ลงจนสามารถวัดได้ด้วย enz-PADs เมื่อเปรียบเทียบกับกราฟมาตรฐานที่ทำการสร้างภายในวันเดียวกัน จากนั้นนำผลการตรวจวัดปริมาณครีเอตินินที่ได้ไปทำการเปรียบเทียบกับวิธีเอนไซม์ด้วยเครื่องตรวจวิเคราะห์อัตโนมัติ ผลการตรวจวัดแสดงดังตารางที่ ก.5 (ภาคผนวก)

ผลการตรวจวัดปริมาณครีเอตินินด้วยหลักการเอนไซม์ด้วย enz-PADs ที่พัฒนาขึ้นเปรียบเทียบกับวิธีเอนไซม์ด้วยเครื่องวิเคราะห์อัตโนมัติ เมื่อนำมาหาความสัมพันธ์ระหว่างค่าครีเอตินินที่ได้จากวิธีเอนไซม์ (แกน x) และวิธีที่พัฒนาขึ้น (enz-PADs) (แกน y) พบว่าสมการ regression analysis relation คือ $y = 0.873 (\pm 0.0394) x + 11.795 (\pm 5.140)$ ($y = Ax+B$) และได้ค่าสัมประสิทธิ์การกำหนด (coefficient of determination) หรือ $r^2 = 0.911$ ซึ่งมีค่าใกล้เคียง 1 ดังรูปที่ 4.14 ซึ่งเป็นค่าที่ใช้แสดงความแปรผันที่เกิดขึ้นกับตัวแปรตามในที่นี้ คือวิธีที่พัฒนาขึ้น enz-PADs มีผลเนื่องมาจากตัวแปรต้น ในที่นี้คือวิธีเอนไซม์คิดเป็นร้อยละ 91.1 หมายความว่า อิทธิพลของการตรวจหาปริมาณครีเอตินินในปัสสาวะด้วยวิธี enz-PADs ต่อวิธีเอนไซม์คิดเป็นร้อยละ 91.1 ที่เหลืออีกร้อยละ 8.9 เป็นผลอันเนื่องมาจากตัวแปรอื่น และสมการการประมาณค่า $y = 0.873 (\pm 0.0394) x + 11.795 (\pm 5.140)$ มีความเหมาะสมที่จะนำไปใช้งานในการประมาณค่าความต่างระหว่างค่าที่ได้จากการหาปริมาณครีเอตินินในปัสสาวะระหว่าง 2 วิธีได้ สามารถสรุปได้ว่า enz-PADs ที่พัฒนาขึ้นมีความสัมพันธ์เชิงเส้นกับวิธีเอนไซม์และเมื่อวิเคราะห์ด้วยสถิติ Paired

sample *t*-test พบว่าค่าเฉลี่ยของการทดสอบทั้ง 2 วิธีไม่แตกต่างกันอย่างมีนัยสำคัญทางสถิติ ($p = 0.858$)



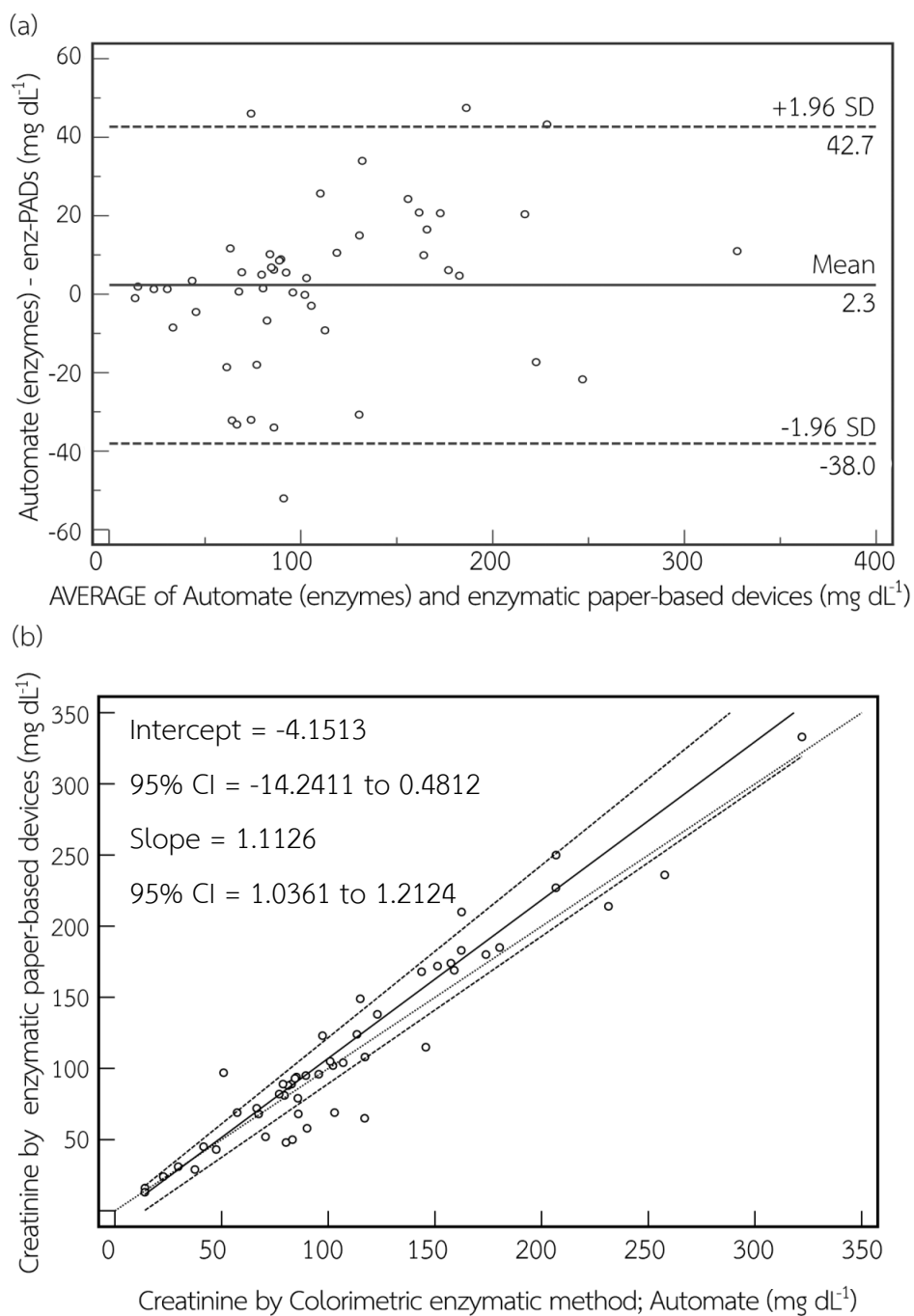
รูปที่ 4.14 กราฟแสดงความสัมพันธ์ของปริมาณครีเอตินินที่ตรวจวัดได้โดยวิธีที่พัฒนาขึ้น (enz-PADs) เทียบกับวิธีเอนไซม์ โดยใช้โปรแกรม Sigmaplot $r^2 = 0.911$, $n = 50$
($y = 0.873 (\pm 0.0394) x + 11.795 (\pm 5.140)$)

ผลการตรวจหาปริมาณครีเอตินินด้วยหลักการเอนไซม์ทั้งสองวิธี คือ enz-PADs ที่พัฒนาขึ้น และวิธีเอนไซม์ด้วยเครื่องวิเคราะห์อัตโนมัติ เมื่อนำมาวิเคราะห์โดยใช้สถิติ Bland and Altman test พบว่าวิธีที่นำเสนอโดยใช้ enz-PADs พบว่า มี bias ของการตรวจวัดเพียง 3 จุดหรือให้ผลการทดสอบที่ไม่สอดคล้องกัน แต่เนื่องจากเป็นตัวอย่างปัสสาวะที่อยู่ในกลุ่มของค่าครีเอตินินของคนปกติ จึงไม่มีผลกระทบต่อการวินิจฉัยโรค ดังนั้น enz-PADs ที่พัฒนาขึ้นจึงสามารถใช้งานได้จริง เนื่องจากผลต่างของวิธี enz-PADs ที่พัฒนาขึ้นกับวิธีเอนไซม์ ส่วนมากอยู่ในช่วง ± 1.96 SD คือ มีเพียง 3 จุดที่อยู่นอกช่วง ± 1.96 SD ดังรูปที่ 4.15 (a) การวิเคราะห์หาความสัมพันธ์ของทั้งสองวิธีโดยใช้สถิติ Passing and Bablok regression สำหรับการตรวจหาปริมาณครีเอตินิน ดังรูปที่ 4.15 (b) ข้างล่าง พบว่า

สมการ Passing and Bablok regression คือ $y = 1.1126x - 4.1513$ ($y = Ax + B$) ที่ช่วงค่าความเชื่อมั่น 95% ค่าความชัน (slope) ใช้สำหรับทดสอบสมมติฐานว่า $A = 1$ ซึ่งจะยอมรับสมมติฐานก็ต่อเมื่อช่วงความเชื่อมั่นสำหรับ A มีค่า 1 อยู่ด้วย แต่เนื่องจากจากผลการทดสอบ พบว่าค่า slope อยู่ในช่วง 1.0361 ถึง 1.2124 คือไม่มี 1 รวมอยู่ด้วย ดังนั้น slope ของสมการจึงแตกต่างจาก 1 อย่างมีนัยสำคัญทางสถิติ นั่นหมายถึงผลการทดสอบสัดส่วนความแตกต่างระหว่างค่าครีเอตินินที่ได้จากสองวิธีข้างต้นไม่เท่ากับ 1 (proportional systematic errors) เหตุที่เป็นเช่นนี้ อาจเนื่องมาจากความแม่นยำในการตรวจวัดด้วยเครื่องวิเคราะห์อัตโนมัติและการตรวจวัดบนกระดาษมีความแตกต่างกันมาก กล่าวคือ เครื่องอัตโนมัติ (cobas c501) ที่ใช้ในการเปรียบเทียบค่าครีเอตินินมีเปอร์เซ็นต์ความแม่นยำ (%CV) ต่อน้ำยา creatinine plus ver.2 ภายในวันเดียวกัน (within-day precision) คือ 0.8% และ 1.8% เมื่อทำการทดสอบกับสาร control level 1 (106 มิลลิกรัมต่อเดซิลิตร) และ control level 2 (232 มิลลิกรัมต่อเดซิลิตร) (ข้อมูลจากเอกสารแนบประกอบน้ำยาของ Creatinine plus ver.2) ในขณะที่ enz-PADs ที่พัฒนาขึ้นมีค่าเปอร์เซ็นต์ความแม่นยำ (%CV) ภายในวันเดียวกัน (within-day precision) คือ 14.21%, 6.93% และ 5.86% เมื่อทำการทดสอบกับตัวอย่างปัสสาวะที่มีปริมาณครีเอตินิน 12, 170 และ 330 มิลลิกรัมต่อเดซิลิตร ตามลำดับ ทำให้ค่าการตรวจวัดปริมาณครีเอตินินด้วย enz-PADs ที่พัฒนาขึ้นได้ค่าการตรวจวัดมีความแม่นยำน้อยกว่าเครื่องวิเคราะห์อัตโนมัติ เนื่องจากการตรวจวัดสีบนกระดาษมีข้อจำกัดในเรื่องของความการกระจายตัวของสีบนกระดาษที่เกิดในปฏิกิริยาการตรวจวัด ประสิทธิภาพในการเกิดสีของ chromogen บนกระดาษที่น้อยกว่าการเกิดปฏิกิริยาในสารละลาย ทำให้ค่าความเข้มสีที่ได้จากการตรวจวัดบนกระดาษมีความหลายหลายมากกว่าการตรวจวัดการดูดกลืนแสงของสารละลายสี ทำให้ผลการเปรียบเทียบสัดส่วนความแตกต่างระหว่างค่าครีเอตินินที่ได้จาก enz-PADs ซึ่งใช้วิธีการวัดความเข้มสีบนกระดาษและวิธีเอนไซม์ด้วยเครื่องวิเคราะห์อัตโนมัติที่อาศัยหลักการการดูดกลืนแสงสีความยาวคลื่นที่จำเพาะของสารละลายสีที่เกิดขึ้นไม่เท่ากับ 1 คือเกิด proportional systematic errors หรือ random error ขึ้น แต่อย่างไรก็ตามการวัดความเข้มสีบนกระดาษเป็นวิธีที่ให้ผลการทดสอบที่รวดเร็ว ง่ายต่อการทดสอบ ทั้งยังไม่ต้องอาศัยเครื่องมือการตรวจวัดที่ซับซ้อนหรือเครื่องมือราคาแพงมาใช้ในการตรวจวัด การตรวจวัดความเข้มสีที่เกิดจากปฏิกิริยาบนกระดาษจึงเหมาะสมต่อการพัฒนา เพื่อใช้ในการตรวจหาสารบ่งชี้ที่ไม่ต้องการความแม่นยำสูงๆ อย่างการตรวจวัดครีเอตินินในปัสสาวะ เป็นต้น

แต่อย่างไรก็ตามค่าจุดตัดแกน y ซึ่งใช้ทดสอบสมมติฐานว่า $B = 0$ ซึ่งจะยอมรับสมมติฐานถ้าช่วงความเชื่อมั่นสำหรับจุดนั้นมีค่าเท่ากับ 0 อยู่ด้วยในผลการทดลอง เนื่องจากค่าจุดตัดแกนอยู่ในช่วง -14.2411 ถึง 0.4812 ซึ่งมี 0 อยู่ในช่วงดังกล่าว ดังนั้นจึงสรุปได้ว่าค่าจุดตัดแกน y (-4.1513) จากสมการข้างต้น มีค่าไม่ต่างจาก 0 อย่างมีนัยสำคัญทางสถิติ จึงสรุปได้ว่า ผลการวัดปริมาณครีเอทีนินด้วย enz-PADs ให้ผลไม่ต่างจากค่าที่วัดได้ด้วยวิธีเอนไซม์ด้วยเครื่องวิเคราะห์อัตโนมัติทางสถิติ

ดังนั้น วิธีการตรวจวัดปริมาณครีเอทีนินด้วย enz-PAD ที่พัฒนานี้ สามารถใช้ในการตรวจวัดปริมาณตัวอย่างปัสสาวะได้จริง โดยให้ผลการตรวจวัดที่สอดคล้องกับวิธีวิธีอัลคาไลน์ฟิเครทแบบโคเนติกที่ใช้ในการตรวจวัดทั่วไปทางห้องปฏิบัติการ ดังนั้นจึงสามารถใช้ enz-PADs ที่พัฒนาขึ้นแทนการตรวจวัดปริมาณครีเอทีนินในปัสสาวะแทนวิธีอัลคาไลน์ฟิเครทแบบโคเนติกได้ และผลการเปรียบเทียบด้วยวิธีเอนไซม์ด้วยเครื่องวิเคราะห์อัตโนมัติ แม้ว่าค่าที่ได้จากการตรวจวัดด้วย enz-PADs ในบางการทดสอบจะให้ค่าที่แตกต่างอยู่มาก ($55.26 - 80.08\%$) แต่ผลการทดสอบเหล่านั้น ไม่ทำให้เกิดการแปลผลผิดพลาดทั้งแบบผลบวกปลอม (false positive) หรือผลลบปลอม (false negative) คือ enz-PADs ให้ผลการทดสอบที่สอดคล้องกับการตรวจด้วยเครื่องวิเคราะห์อัตโนมัติทุกการทดสอบ จึงสามารถใช้งานได้จริง เป็นประโยชน์อย่างมากในการตรวจคัดกรองปริมาณครีเอทีนินในปัสสาวะเพื่อคัดกรองผู้ป่วยโรคไตได้ และตรวจวัดปริมาณครีเอทีนินร่วมกับสารบ่งชี้อื่นๆ ในปัสสาวะ ทั้งอุปกรณ์ที่พัฒนาได้ยังมีขนาดเล็ก สามารถพกพาได้ง่าย เหมาะสำหรับใช้งานในภาคสนาม และในพื้นที่ห่างไกลต่อไป



รูปที่ 4.15 ผลการเปรียบเทียบการตรวจวัดปริมาณครีเอตินินของวิธีที่พัฒนาขึ้นด้วยวิธีเอนไซม์ (a) ผลการเปรียบเทียบการตรวจวัดปริมาณครีเอตินินโดยใช้สถิติ Bland and Altman plot (b) ผลการเปรียบเทียบการตรวจวัดปริมาณครีเอตินินโดยใช้สถิติ Passing-bablok regression

บทที่ 5

สรุปผลการศึกษาวิจัย

สรุปผลการศึกษาวิจัย

งานวิจัยนี้ได้พัฒนาอุปกรณ์ตรวจวิเคราะห์บนกระดาษสำหรับการตรวจวัดครีเอตินินในปัสสาวะด้วยหลักการเอนไซม์ (enzymatic paper-based analytical devices; enz-PADs) ซึ่ง enz-PADs ถูกสร้างขึ้นโดยใช้น้ำยาสำเร็จรูป (Creatinine plus ver.2) ปริมาตรเหลือที่ reagent probe สำหรับดูดย่าน้ำยาไม่สามารถดูดขึ้นมาใช้งานได้ของเครื่องวิเคราะห์อัตโนมัติ โดยออกแบบอุปกรณ์ตรวจวิเคราะห์บนกระดาษสำหรับการตรวจวัดที่อาศัยแรงแคปิลลารี (capillary action) ของกระดาษที่สามารถดูดสารละลายให้มีการเคลื่อนที่ไปยังพื้นที่ที่ออกแบบไว้ได้ เพื่อให้ น้ำยาที่ถูกดูดซับไว้ต่างบริเวณสามารถเคลื่อนที่มาทำปฏิกิริยากันได้อย่างสมบูรณ์ในพื้นที่ที่กำหนด (detection zone) และใช้เทคนิค wax dipping สร้างขอบเขตเพื่อกั้นสารละลายไม่ให้ออกไปยังนอกพื้นที่การตรวจวัดจากแรงแคปิลลารีดังกล่าว ซึ่งสามารถเห็นสีของปฏิกิริยาที่เกิดขึ้นบนพื้นที่ตรวจวัดได้ด้วยตาเปล่า บันทึกผลด้วยเครื่องสแกนและอ่านค่าวัดความเข้มสีที่ได้ด้วยโปรแกรมพื้นฐาน Adobe Photoshop เพื่อนำไปคำนวณหาความเข้มข้นของครีเอตินินในตัวอย่าง (quantitative) เปรียบเทียบกับกราฟมาตรฐานระหว่างความเข้มสีที่วัดได้และความเข้มข้นครีเอตินิน

จากผลการทดลองพบว่า กระดาษกรอง Whatman No.3 มีคุณสมบัติทั้งในเรื่องของอัตราการไหลและความสามารถในการดูดซับสารละลายที่เหมาะสมที่สุดสำหรับการสร้าง enz-PADs ในขั้นตอนการสร้าง enz-PADs ส่วนของพื้นที่ตรวจวัดอาศัยสารละลายโพแทสเซียมฟอสเฟตบัฟเฟอร์ pH 7.5 ในการเตรียมเยื่อเซลลูโลสและ pH ที่เหมาะสมในการเกิดสีของปฏิกิริยา เพื่อประสิทธิภาพในการเกิดสีที่สม่ำเสมอบนพื้นที่ตรวจวัดและเพื่อการแปลผลที่แม่นยำขึ้น จากนั้นตรึงน้ำยา R1 ปริมาตร 5 ไมโครลิตร และ R2 ปริมาตร 2.5 ไมโครลิตรแยกพื้นที่กันแบบ physical adsorption สำหรับตัวอย่างปัสสาวะที่นำมาใช้ในการทดสอบจำเป็นต้องทำการเจือจางด้วย 100 มิลลิโมลาร์ของสารละลายโพแทสเซียมฟอสเฟตบัฟเฟอร์ ที่ pH 7.5 เพื่อปรับให้ตัวอย่างมี pH ที่พอเหมาะต่อการทำงานของกลุ่มเอนไซม์ก่อนนำมาทำการตรวจวัดด้วย enz-PADs ที่พัฒนาขึ้น โดยสามารถตรวจหาปริมาณครีเอตินินได้จากการทำปฏิกิริยาระหว่างกลุ่มเอนไซม์และเกิดผลิตภัณฑ์ คือสาร H_2O_2 ที่ทำ

ปฏิกิริยากับสารตั้งต้น (4-aminophenazone และ HTIB) โดยมีเอนไซม์เปอร์ออกซิเดสเป็นตัวเร่งปฏิกิริยาแล้วเกิดเป็นสารประกอบสีเชิงซ้อนสีชมพู (quinone imine chromogen) ที่สามารถตรวจวัดได้จากการวัดความเข้มสีที่เกิดขึ้นของปฏิกิริยาที่มีความสัมพันธ์โดยตรงกับปริมาณครีเอทีนินในตัวอย่างตรวจ ในการตรวจปริมาณครีเอทีนินในปัสสาวะด้วย enz-PADs ทำได้โดยจุ่ม enz-PADs ลงในสารละลายตัวอย่างที่ถูกใส่ลงในหลุมเล็กๆ ของ 96-wells plate ปริมาตร 50 ไมโครลิตร เป็นเวลา 4 นาที เพื่อให้แรงแคปิลลารีของกระดาษดูดซับสารละลายปัสสาวะเพื่อเคลื่อนที่มาทำปฏิกิริยากับน้ำยาและนำพาน้ำยาที่ถูกดูดซับไว้เคลื่อนที่ไปยังพื้นที่ตรวจวัดแล้วเกิดปฏิกิริยาที่สมบูรณ์ หลังจากนั้นนำ enz-PADs ขึ้นจากหลุมตัวอย่างแล้วรอให้การพัฒนาของสีเกิดขึ้นสมบูรณ์เป็นเวลาอีก 7 นาที รวมเวลาที่การตรวจวัดทั้งสิ้น 11 นาที

ผลการศึกษาคณสมบัติของ enz-PADs ที่พัฒนาได้มีช่วงความเป็นเส้นตรงของการตรวจวัดครีเอทีนินในปัสสาวะ 2.5 - 25 มิลลิกรัมต่อเดซิลิตร ($r^2 = 0.983$) ค่า limit of detection ของการตรวจวัดคำนวณได้เท่ากับ 1.9 มิลลิกรัมต่อเดซิลิตร

การทดสอบสารรบกวนการตรวจวัดครีเอทีนินในปัสสาวะ โดยทำการเติมสารที่สามารถพบได้ในปัสสาวะ และมีการรายงานว่ารบกวนปฏิกิริยาการตรวจวัดได้ลงในสารมาตรฐานครีเอทีนินที่มีความเข้มข้นสุดท้าย 10 มิลลิกรัมต่อเดซิลิตร โดยทำการทดสอบแบบไม่เจือจางตัวอย่างตรวจพบว่ากลูโคสความเข้มข้น 300 มิลลิกรัมต่อเดซิลิตร, โปรตีนไข่ขาวความเข้มข้น 150 มิลลิกรัมต่อเดซิลิตร, ฮีโมโกลบินความเข้มข้น 100 มิลลิกรัมต่อเดซิลิตร, วิตามินซีความเข้มข้น 50 มิลลิกรัมต่อเดซิลิตร, บิลิรูบินความเข้มข้น 35 มิลลิกรัมต่อเดซิลิตร และกรดยูริกความเข้มข้น 20 มิลลิกรัมต่อเดซิลิตร ไม่รบกวนการตรวจวัดอย่างมีนัยสำคัญ โดยมี %Measurment เท่ากับ 96.0%, 101.5%, 97.2%, 99.7%, 101.5% และ 96.3% ตามลำดับ

ผลการทดสอบความสามารถของ enz-PADs ในการกำจัดสารครีเอทีนินที่อาจพบในตัวอย่างปัสสาวะ คือ น้ำยาในพื้นที่ R1 ของ enz-PADs มีประสิทธิภาพในการกำจัดครีเอทีนินได้ที่มีความเข้มข้น 1 มิลลิกรัมต่อเดซิลิตร (%Measurment 101.83%) เมื่อทำการทดสอบกับสารมาตรฐานครีเอทีนินในสถานะไม่เจือจางตัวอย่างตรวจ ซึ่งสอดคล้องกับผลการทดสอบในตัวอย่างปัสสาวะจริงเมื่อทำการ

เจือจางตัวอย่างลง 10 เท่าด้วยสารละลายโพแทสเซียมฟอสเฟตบัฟเฟอร์พบว่า สามารถกำจัดครีเอทีน ได้ที่ความเข้มข้น 10 มิลลิกรัมต่อเดซิลิตร (%Measurement 102.67%)

ผลการทดสอบความแม่นยำของ enz-PADs ที่พัฒนาขึ้นในงานวิจัยนี้พบว่า เมื่อทำการ ทดสอบตรวจวัดครีเอทีนกับสารมาตรฐานครีเอทีนความเข้มข้น 5 และ 20 มิลลิกรัมต่อเดซิลิตร ในสถานะไม่เจือจางตัวอย่างตรวจ ค่า within-day precision ที่ได้เท่ากับ 8.82% และ 6.86% ตามลำดับ (n = 10) และเมื่อทำการทดสอบค่าความแม่นยำในตัวอย่างปัสสาวะจริงความเข้มข้น 12, 170 และ 330 มิลลิกรัมต่อเดซิลิตร ได้เท่ากับ 14.21%, 6.93% และ 5.86% (n=20) ตามลำดับ

ผลการทดสอบค่า between-day precision เท่ากับ 11.57% และ 9.39% สำหรับ ตรวจวัดครีเอทีนความเข้มข้น 5 และ 20 มิลลิกรัมต่อเดซิลิตร ตามลำดับ (3 วัน, n = 30) และผล การทดสอบค่าความแม่นยำของครีเอทีนในปัสสาวะจริงความเข้มข้น 12, 170 และ 330 มิลลิกรัม ต่อเดซิลิตร ได้เท่ากับ 16.55%, 6.44% และ 6.14% (10 วัน, n = 30) ตามลำดับ

ผลการทดสอบค่าความคงตัวของ enz-PADs เมื่อทำการตรึงน้ำยาและทำการผนึกถุงระบบ สูญญากาศ (vacuum sealer) เก็บไว้ในตู้เย็น 2-4 องศาเซลเซียส ได้นาน 20 วัน พบว่า ประสิทธิภาพ ในการตรวจวัดความเข้มข้นของปฏิกิริยาที่ทำการตรวจวัดกับสารมาตรฐานครีเอทีนลดลง 70.47% และ 75.98% เมื่อทำการทดสอบเปรียบเทียบกับสารมาตรฐานครีเอทีน 5 มิลลิกรัมต่อเดซิลิตร และ 20 มิลลิกรัมต่อเดซิลิตร ตามลำดับ

ผลการทดลองเมื่อทำการทดสอบหาปริมาณครีเอทีนในตัวอย่างปัสสาวะด้วย enz-PADs ที่ พัฒนาขึ้นและวิธีอัลคาไลน์พีเคเทแบบโคเนติก จำนวน 40 ตัวอย่าง (n = 40) พบว่าค่าครีเอทีนที่ ทำการตรวจวัดด้วยวิธี enz-PADs และวิธีอัลคาไลน์พีเคเทแบบโคเนติกได้ผลใกล้เคียงกัน เมื่อ วิเคราะห์ด้วยสถิติ Paired sample t-test พบว่าการทดสอบทั้ง 2 วิธีไม่แตกต่างกันอย่างมีนัยสำคัญ ทางสถิติ (p = 0.6075) ทั้งผลการตรวจวัดทั้งสองวิธีมีความสัมพันธ์กันดีที่ค่าสัมประสิทธิ์สหสัมพันธ์ $r^2 = 0.977$ และเมื่อวิเคราะห์ด้วยสถิติ Bland and Altman plot และ Passing-bablok regression ทั้งสองวิธีมีความสัมพันธ์กันไม่มี bias เนื่องจากผลต่างของวิธี enz-PADs ในงานวิจัยนี้กับวิธี อัลคาไลน์พีเคเทแบบโคเนติก ส่วนมากอยู่ในช่วง ± 1.96 SD และค่า slope ไม่แตกต่างอย่างมี นัยสำคัญกับ 1 และค่าจุดตัดแกน y มีค่าต่างจาก 0 อย่างมีนัยสำคัญทางสถิติ นั่นหมายถึงวิธีที่

พัฒนาขึ้น (enz-PADs) มีความต่างในเชิงลบจากวิธีอัลคาไลน์พีเคเททแบบโคเนติกอยู่ที่ค่าคงที่ประมาณ 13.8 มิลลิกรัมต่อเดซิลิตร จึงสามารถสรุปได้ว่าอุปกรณ์ตรวจวิเคราะห์บนกระดาษสำหรับตรวจวัดปริมาณครีเอตินินจากปัสสาวะด้วยหลักการทางเอนไซม์ที่พัฒนาขึ้นนั้นสามารถใช้ตรวจวัดปริมาณครีเอตินินในตัวอย่างปัสสาวะจริงได้

นอกจากนี้ เมื่อทำการทดสอบหาปริมาณครีเอตินินในตัวอย่างปัสสาวะด้วย enz-PADs ที่พัฒนาขึ้นเครื่องวิเคราะห์อัตโนมัติด้วยหลักการเอนไซม์โดยน้ำยา Creatinine plus ver.2 เช่นกัน จำนวน 50 ตัวอย่าง (n = 50) พบว่าวิธี enz-PADs ที่พัฒนาขึ้นมีความเข้มข้นของครีเอตินินได้ผลใกล้เคียงกัน เมื่อวิเคราะห์ด้วยสถิติ Paired sample t-test พบว่าการทดสอบทั้ง 2 วิธีไม่แตกต่างกันอย่างมีนัยสำคัญทางสถิติ (p = 0.8578) ทั้งผลการตรวจวัดทั้งสองวิธีมีความสัมพันธ์สอดคล้องกันดีที่ค่าสัมประสิทธิ์สหสัมพันธ์ $r^2 = 0.911$ และเมื่อวิเคราะห์ด้วยสถิติ Bland and Altman plot พบว่าผลต่างของวิธี enz-PADs ในงานวิจัยนี้กับผลการตรวจวัดด้วยเครื่องวิเคราะห์อัตโนมัติด้วยหลักการทางเอนไซม์ส่วนมากอยู่ในช่วง ± 1.96 SD โดยผลการทดสอบตัวอย่างปัสสาวะ 3 ตัวอย่างที่ให้ผลการทดสอบที่ไม่สอดคล้องกัน แต่เนื่องจากเป็นกลุ่มตัวอย่างที่อยู่ในกลุ่มของค่าครีเอตินินของคนปกติ จึงไม่มีผลกระทบต่อการใช้งานจริง ดังนั้น enz-PADs พัฒนาขึ้นจึงสามารถใช้งานได้จริง และผลการวิเคราะห์ด้วยสถิติ Passing-bablok regression ทั้งสองวิธีมี slope ของสมการแตกต่างจาก 1 อย่างมีนัยสำคัญทางสถิติ นั่นหมายถึงผลการทดสอบสัดส่วนความแตกต่างระหว่างค่าครีเอตินินที่ได้จากสองวิธีข้างต้นไม่เท่ากับ 1 (proportional systematic errors) แต่อย่างไรก็ตามค่าจุดตัดแกน y มีค่าไม่ต่างจาก 0 อย่างมีนัยสำคัญทางสถิติ นั่นหมายถึงค่าปริมาณครีเอตินินที่ได้จากวิธีที่พัฒนาขึ้น (enz-PADs) ไม่มีความต่างจากเครื่องวิเคราะห์อัตโนมัติด้วยหลักการทางเอนไซม์ จึงสามารถสรุปได้ว่าอุปกรณ์ตรวจวิเคราะห์บนกระดาษสำหรับตรวจวัดปริมาณครีเอตินินจากปัสสาวะด้วยหลักการเอนไซม์ที่พัฒนาขึ้นนั้นสามารถใช้ตรวจวัดปริมาณครีเอตินินในตัวอย่างปัสสาวะจริงได้

ดังนั้นในการพัฒนาอุปกรณ์ตรวจวิเคราะห์บนกระดาษสำหรับการตรวจวัดครีเอทีนินในปัสสาวะด้วยหลักการเอนไซม์นี้สามารถใช้งานได้จริง ง่ายต่อการใช้งาน ให้ผลการตรวจวัดที่เร็ว และสามารถตรวจวัดตัวอย่างได้ปริมาณมากในเวลาอันสั้น ยิ่งไปกว่านั้น enz-PADs ที่พัฒนาขึ้นใช้น้ำยาสำหรับการตรวจวัดปริมาณน้อย ทั้งยังใช้น้ำยาที่เหลือจากเครื่องวิเคราะห์อัตโนมัติอีกด้วย จึงทำให้ enz-PADs ที่สร้างขึ้นมีราคาที่ถูกมาก และเป็น การตรวจวัดครีเอทีนินในปัสสาวะที่ไม่จำเป็นต้องใช้เครื่องมือที่มีราคาแพง เป็นอุปกรณ์ตรวจวัดที่ใหม่ และมีผลการทำซ้ำที่ดี ดังนั้นอุปกรณ์ตรวจวัดปริมาณครีเอทีนินบนกระดาษที่พัฒนาขึ้นเป็นอุปกรณ์ตรวจวัดทางเลือกใหม่ที่มีราคาถูก สร้างได้ง่าย และเป็นประโยชน์อย่างมากในการคัดกรองโรคในประเทศที่มีรายได้น้อยหรือกำลังพัฒนาต่อไป นอกจากนี้ยังสามารถใช้หลักการตรวจวัดข้างต้นประยุกต์ใช้ในการสร้าง enz-PADs สำหรับการตรวจวัดสารอื่นๆ ที่ใช้หลักการทางเอนไซม์ได้ต่อไป



รายการอ้างอิง

- (1) Chen, C.-H.; Lin, M. S. A novel structural specific creatinine sensing scheme for the determination of the urine creatinine. Biosensors and Bioelectronics. 31 (2012): 90-94.
- (2) Gamagedara, S.; Shi, H.; Ma, Y. Quantitative determination of taurine and related biomarkers in urine by liquid chromatography-tandem mass spectrometry. Analytical and Bioanalytical Chemistry. 402 (2012): 763-770.
- (3) Hurtado-Sanchez Mdel, C.; Espinosa-Mansilla, A.; Rodriguez-Caceres, M. I.; Martin-Tornero, E.; Duran-Meras, I. Development of a method for the determination of advanced glycation end products precursors by liquid chromatography and its application in human urine samples. Journal of Separation Science. 35 (2012): 2575-2584.
- (4) Siangproh, W.; Teshima, N.; Sakai, T.; Katoh, S.; Chailapakul, O. Alternative method for measurement of albumin/creatinine ratio using spectrophotometric sequential injection analysis. Talanta. 79 (2009): 1111-1117.
- (5) Xin, G.; Wang, M.; Jiao, L.-l.; Xu, G.-b.; Wang, H.-y. Protein-to-creatinine ratio in spot urine samples as a predictor of quantitation of proteinuria. Clinica Chimica Acta. 350 (2004): 35-39.
- (6) Uchida, K.; Gotoh, A. Measurement of cystatin-C and creatinine in urine. Clinica Chimica Acta. 323 (2002): 121-128.
- (7) McGuinn, L. A.; Ghazarian, A. A.; Joseph Su, L.; Ellison, G. L. Urinary bisphenol A and age at menarche among adolescent girls: Evidence from NHANES 2003–2010. Environmental Research. 136 (2015): 381-386.
- (8) Arzideh, F.; Wosniok, W.; Haeckel, R. Reference limits of plasma and serum creatinine concentrations from intra-laboratory data bases of several German and Italian medical centres: Comparison between direct and indirect procedures. Clinica Chimica Acta. 411 (2010): 215-221.
- (9) Husdan, H.; Rapoport, A. Estimation of creatinine by the Jaffe reaction. A comparison of three methods. Clinical Chemistry. 14 (1968): 222-238.

- (10) Panteghini, M. Enzymatic assays for creatinine: time for action. Clinical Chemistry and Laboratory Medicine. 46 (2008): 567-572.
- (11) Pandey, P. C.; Mishra, A. P. Novel potentiometric sensing of creatinine. Sensors and Actuators B: Chemical. 99 (2004): 230-235.
- (12) Lad, U.; Khokhar, S.; Kale, G. M. Electrochemical Creatinine Biosensors. Analytical Chemistry. 80 (2008): 7910-7917.
- (13) Viraraghavan, S.; Blass, K. G. Effect of glucose upon alkaline picrate: a Jaffe interference. Journal of clinical chemistry and clinical biochemistry. 28 (1990): 95-105.
- (14) Pardue, H. L.; Bacon, B. L.; Nevius, M. G.; Skoug, J. W. Kinetic study of the Jaffe reaction for quantifying creatinine in serum: 1. Alkalinity controlled with NaOH. Clinical Chemistry. 33 (1987): 278-285.
- (15) Kroll, M. H.; Roach, N. A.; Poe, B.; Elin, R. J. Mechanism of interference with the Jaffe reaction for creatinine. Clinical Chemistry. 33 (1987): 1129-1132.
- (16) Weber, J. A.; van Zanten, A. P. Interferences in current methods for measurements of creatinine. Clinical Chemistry. 37 (1991): 695-700.
- (17) Dasgupta, A.; Wahed, A. Renal Function Tests. In: Wahed AD, editor. Clinical Chemistry, Immunology and Laboratory Quality Control. San Diego: Elsevier; 2014. p. 197-212.
- (18) Grinstein, M.; Schultheiss, T. M. How to Build a Kidney. In: Moody SA, editor. Principles of Developmental Genetics 2ed. Oxford: Academic Press; 2015. p. 469-485.
- (19) Apilux, A.; Isarankura-Na-Ayudhya, C.; Prachayasittikul, V.; Tantimongcolwat, T. Paper-based Acetylcholinesterase Inhibition Assay Combining a Wet System for Organophosphate and Carbamate Pesticides Detection. Experimental and Clinical Sciences. (2015): In press.
- (20) Noiphung, J.; Talalak, K.; Hongwarittorn, I.; Pupinyo, N.; Thirabowonkitphithan, P.; Laiwattanapaisal, W. A novel paper-based assay for the simultaneous determination of Rh typing and forward and reverse ABO blood groups. Biosensors and Bioelectronics. 67 (2015): 485-489.

- (21) Rodríguez, J.; Berzas, J. J.; Castañeda, G.; Mora, N.; Rodríguez, M. J. Very fast and direct capillary zone electrophoresis method for the determination of creatinine and creatine in human urine. Analytica Chimica Acta. 521 (2004): 53-59.
- (22) Mouton, R.; Holder, K. Laboratory tests of renal function. Anaesthesia & Intensive Care Medicine. 7 (2006): 240-243.
- (23) Sykut-Cegielska, J.; Gradowska, W.; Mercimek-Mahmutoglu, S.; Stockler-Ipsiroglu, S. Biochemical and clinical characteristics of creatine deficiency syndromes. Acta Biochimica Polonica. 51 (2004): 875-882.
- (24) Serafin, V.; Hernández, P.; Agüí, L.; Yáñez-Sedeño, P.; Pingarrón, J. M. Electrochemical biosensor for creatinine based on the immobilization of creatininase, creatinase and sarcosine oxidase onto a ferrocene/horseradish peroxidase/gold nanoparticles/multi-walled carbon nanotubes/Teflon composite electrode. Electrochimica Acta. 97 (2013): 175-183.
- (25) Randviir, E. P.; Banks, C. E. Analytical methods for quantifying creatinine within biological media. Sensors and Actuators B: Chemical. 183 (2013): 239-252.
- (26) Mohabbati-Kalejahi, E.; Azimirad, V.; Bahrami, M.; Ganbari, A. A review on creatinine measurement techniques. Talanta. 97 (2012): 1-8.
- (27) Boeniger, M. F.; Lowry, L. K.; Rosenberg, J. Interpretation of urine results used to assess chemical exposure with emphasis on creatinine adjustments: a review. American Industrial Hygiene Association Journal. 54 (1993): 615-627.
- (28) Xue, F.; Wu, J.; Chu, H.; Mei, Z.; Ye, Y.; Liu, J., et al. Electrochemical aptasensor for the determination of bisphenol A in drinking water. Microchimica Acta. 180 (2013): 109-115.
- (29) Simpson D, J. D., Moore FM. Measurement of creatinine in urine screening for drugs of abuse. Clinical Chemistry. 39 (1993): 698-706.
- (30) Jaffe, M. Ueber den Niederschlag welchen Pikrinsäure in normalen Harn erzeugt und u"ber eine neue reaction des Kreatinins. Zeitschrift für physiologische Chemie. 10 (1886): 391-400.
- (31) Boutten, A.; Bargnoux, A. S.; Carlier, M. C.; Delanaye, P.; Rozet, E.; Delatour, V., et al. Enzymatic but not compensated Jaffe methods reach the desirable

- specifications of NKDEP at normal levels of creatinine. Results of the French multicentric evaluation. Clinica Chimica Acta. 419 (2013): 132-135.
- (32) Cobbaert, C. M.; Baadenhuijsen, H.; Weykamp, C. W. Prime time for enzymatic creatinine methods in pediatrics. Clinical Chemistry. 55 (2009): 549-558.
- (33) Wyss, M.; Kaddurah-Daouk, R. Creatine and creatinine metabolism. Physiological Reviews. 80 (2000): 1107-1213.
- (34) Greenberg, N.; Roberts, W. L.; Bachmann, L. M.; Wright, E. C.; Dalton, R. N.; Zakowski, J. J., et al. Specificity characteristics of 7 commercial creatinine measurement procedures by enzymatic and Jaffe method principles. Clinical Chemistry. 58 (2012): 391-401.
- (35) Jung, K. Creatinine, Urea, and Uric acid. In: Carl A. Burtis ERA, and David E. Bruns, editor. Tietz Fundamentals of Clinical Chemistry. 6 ed. St Louis, Missouri: Saunders/Elsevier; 2008. p. 363-366.
- (36) Burtis, C. A.; Ashwood, E. R.; Bruns, D. E. Tietz fundamentals of Clinical Chemistry. 5 ed. St Louis, Missouri: Saunders/Elsevier; 2001.
- (37) Koyama, M. C. O. K. C.; Akashi, T. C. O. K. C., inventors; Konica Corporation, assignee. Multi-layer analytical element for creatinine analysis patent EP0281000 A2. 1988.
- (38) Welch, M. J.; Cohen, A.; Hertz, H. S.; Ng, K. J.; Schaffer, R.; Van der Lijn, P., et al. Determination of serum creatinine by isotope dilution mass spectrometry as a candidate definitive method. Analytical chemistry. 58 (1986): 1681-1685.
- (39) Tsikas, D.; Wolf, A.; Frölich, J. C. Simplified HPLC Method for Urinary and Circulating Creatinine. Clinical Chemistry. 50 (2004): 201-203.
- (40) de Araújo, W. R.; Salles, M. O.; Paixão, T. R. L. C. Development of an enzymeless electroanalytical method for the indirect detection of creatinine in urine samples. Sensors and Actuators B: Chemical. 173 (2012): 847-851.
- (41) Haufroid, V.; Lison, D. Urinary cotinine as a tobacco-smoke exposure index: a minireview. International Archives of Occupational and Environmental Health. 71 (1998): 162-169.

- (42) Randviir, E. P.; Kampouris, D. K.; Banks, C. E. An improved electrochemical creatinine detection method via a Jaffe-based procedure. Analyst. 138 (2013): 6565-6572.
- (43) Benkert, A.; Scheller, F.; Schossler, W.; Hentschel, C.; Micheel, B.; Behrsing, O., et al. Development of a creatinine ELISA and an amperometric antibody-based creatine sensor with a detection limit in the nanomolar range. Analytical Chemistry. 72 (2000): 916-921.
- (44) Fung, K. K.; Chan, C. P.; Renneberg, R. Development of a creatinine enzyme-based bar-code-style lateral-flow assay. Analytical and Bioanalytical Chemistry. 393 (2009): 1281-1287.
- (45) Pugia, M. J.; Lott, J. A.; Wallace, J. F.; Cast, T. K.; Bierbaum, L. D. Assay of creatinine using the peroxidase activity of copper-creatinine complexes. Clinical Biochemistry. 33 (2000): 63-70.
- (46) Martinez, A. W.; Phillips, S. T.; Butte, M. J.; Whitesides, G. M. Patterned paper as a platform for inexpensive, low-volume, portable bioassays. Angewandte Chemie International Edition. 46 (2007): 1318-1320.
- (47) Martinez, A. W.; Phillips, S. T.; Whitesides, G. M.; Carrilho, E. Diagnostics for the developing world: microfluidic paper-based analytical devices. Analytical Chemistry. 82 (2009): 3-10.
- (48) Bruzewicz, D. A.; Reches, M.; Whitesides, G. M. Low-cost printing of poly (dimethylsiloxane) barriers to define microchannels in paper. Analytical Chemistry. 80 (2008): 3387-3392.
- (49) Fenton, E. M.; Mascarenas, M. R.; López, G. P.; Sibbett, S. S. Multiplex Lateral-Flow Test Strips Fabricated by Two-Dimensional Shaping. ACS Applied Materials & Interfaces. 1 (2008): 124-129.
- (50) Abe, K.; Suzuki, K.; Citterio, D. Inkjet-printed microfluidic multianalyte chemical sensing paper. Analytical chemistry. 80 (2008): 6928-6934.
- (51) Lu, Y.; Shi, W.; Qin, J.; Lin, B. Fabrication and Characterization of Paper-Based Microfluidics Prepared in Nitrocellulose Membrane By Wax Printing. Analytical Chemistry. 82 (2009): 329-335.

- (52) Dungchai, W.; Chailapakul, O.; Henry, C. S. A low-cost, simple, and rapid fabrication method for paper-based microfluidics using wax screen-printing. *Analyst*. 136 (2011): 77-82.
- (53) Songjaroen, T.; Dungchai, W.; Chailapakul, O.; Laiwattanapaisal, W. Novel, simple and low-cost alternative method for fabrication of paper-based microfluidics by wax dipping. *Talanta*. 85 (2011): 2587-2593.
- (54) Songjaroen, T.; Dungchai, W.; Chailapakul, O.; Henry, C. S.; Laiwattanapaisal, W. Blood separation on microfluidic paper-based analytical devices. *Lab on a Chip*. 12 (2012): 3392-3398.
- (55) Chen, X.; Chen, J.; Wang, F.; Xiang, X.; Luo, M.; Ji, X., et al. Determination of glucose and uric acid with bienzyme colorimetry on microfluidic paper-based analysis devices. *Biosensors and Bioelectronics*. 35 (2012): 363-368.
- (56) Noiphung, J.; Songjaroen, T.; Dungchai, W.; Henry, C. S.; Chailapakul, O.; Laiwattanapaisal, W. Electrochemical detection of glucose from whole blood using paper-based microfluidic devices. *Analytica Chimica Acta*. 788 (2013): 39-45.
- (57) Ruecha, N.; Rangkupan, R.; Rodthongkum, N.; Chailapakul, O. Novel paper-based cholesterol biosensor using graphene/polyvinylpyrrolidone/polyaniline nanocomposite. *Biosensors and Bioelectronics*. 52 (2014): 13-19.
- (58) Wang, S.; Ge, L.; Song, X.; Yu, J.; Ge, S.; Huang, J., et al. Paper-based chemiluminescence ELISA: lab-on-paper based on chitosan modified paper device and wax-screen-printing. *Biosensors and Bioelectronics*. 31 (2012): 212-218.
- (59) Cate, D. M.; Dungchai, W.; Cunningham, J. C.; Volckens, J.; Henry, C. S. Simple, distance-based measurement for paper analytical devices. *Lab on a Chip*. 13 (2013): 2397-2404.
- (60) Khan, M. S.; Thouas, G.; Shen, W.; Whyte, G.; Garnier, G. Paper Diagnostic for Instantaneous Blood Typing. *Analytical Chemistry*. 82 (2010): 4158-4164.
- (61) Ballerini, D. R.; Li, X.; Shen, W. An inexpensive thread-based system for simple and rapid blood grouping. *Analytical and Bioanalytical Chemistry*. 399 (2011): 1869-1875.

- (62) Bao, Y.; Ma, J.; Sun, Y. Swelling behaviors of organic/inorganic composites based on various cellulose derivatives and inorganic particles. Carbohydrate Polymers. 88 (2012): 589-595.
- (63) Yatzidis, H.; Garidi, M.; Vassilikos, C.; Mayopoulou, D.; Akilas, A. An improved method for the simple and accurate colorimetric determination of urea with Ehrlich's reagent. Journal of Clinical Pathology. 17 (1964): 163-164.
- (64) Hirao, Y., inventor; Denka Seiken Co., Ltd., assignee. Method of reducing measurement error caused by catalase inhibition by azide patent EP2199404 B1. 2013.
- (65) Schomberg, D., Salzmann, M., and Stephan, D. EC 1.11.1.7. Enzyme Handbook 7. Berlin, Heidelberg: Springer 1993. p. 1-6.
- (66) Chen, J. C.; Kumar, A. S.; Chung, H. H.; Chien, S. H.; Kuo, M. C.; Zen, J. M. An enzymeless electrochemical sensor for the selective determination of creatinine in human urine. Sensors and Actuators B: Chemical. 115 (2006): 473-480.
- (67) Ohira, S. I.; Kirk, A. B.; Dasgupta, P. K. Automated measurement of urinary creatinine by multichannel kinetic spectrophotometry. Analytical Biochemistry. 384 (2009): 238-244.
- (68) Songjaroen, T.; Maturros, T.; Sappat, A.; Tuantranont, A.; Laiwattanapaisal, W. Portable microfluidic system for determination of urinary creatinine. Analytica Chimica Acta. 647 (2009): 78-83.
- (69) Li, M.; Du, Y.; Zhao, F.; Zeng, J.; Mohan, C.; Shih, W.-C. Reagent- and separation-free measurements of urine creatinine concentration using stamping surface enhanced Raman scattering (S-SERS). Biomedical Optics Express. 6 (2015): 849-858.
- (70) Ponghong, K.; Teshima, N.; Grudpan, K.; Vichapong, J.; Motomizu, S.; Sakai, T. Successive determination of urinary bilirubin and creatinine employing simultaneous injection effective mixing flow analysis. Talanta. 133 (2015): 71-76.
- (71) Witte, D. L.; Brown, L. F.; Feld, R. D. Effects of bilirubin on detection of hydrogen peroxide by use of peroxidase. Clinical Chemistry. 24 (1978): 1778-1782.
- (72) Li, D.; Zhang, X.; Loni, Y.; Sunz, X. Inactivation of hemoglobin by hydrogen peroxide and protection by a reductant substrate. Life Science Journal.

- (73) Deutsch, J. C. Ascorbic Acid Oxidation by Hydrogen Peroxide. Analytical Biochemistry. 255 (1998): 1-7.





ภาคผนวก

จุฬาลงกรณ์มหาวิทยาลัย
CHULALONGKORN UNIVERSITY

1. ขั้นตอนการเตรียมบัฟเฟอร์สำหรับการทดลอง

2.1 การเตรียม 100 mM potassium phosphate buffer

Solution A คือ KH_2PO_4 0.5 M (68.04 g L^{-1})

Solution B คือ K_2HPO_4 0.5 M (87.06 g L^{-1})

ในงานวิจัยนี้ใช้ 100 nM potassium phosphate buffer ในการทดสอบหาบัฟเฟอร์ที่เหมาะสมในการเจือจางตัวอย่างปัสสาวะ โดยทำการเตรียมดังตาราง ก.1 โดยใช้สัดส่วนระหว่างสาร A, B และเติมน้ำกลั่นตามตารางจะทำให้ได้ pH ที่ต้องการโดยไม่ต้องปรับ pH ทั้งนี้เมื่อทำการเตรียมแล้วเสร็จ จะทำการวัด pH เพื่อยืนยันค่า pH ที่ได้ต่อไป

ตารางที่ ก. 1 เตรียม phosphate buffer

pH	Solution A (mL)	Solution B (mL)	Distilled water (mL)
6.5	17.54	2.46	80
7	13.7	6.3	80
7.5	7.8	12.2	80
7.8	3.2	16.8	80

2.2 การเตรียม 100 mM Tris-HCl buffer

Solution A คือ Tris 0.2 M (23.23 g L^{-1})

Solution B คือ HCl 1 M

ในงานวิจัยนี้ใช้ 100 nM Tris-HCl buffer ในการทดสอบหาบัฟเฟอร์ที่เหมาะสมในการเจือจางตัวอย่างปัสสาวะ โดยทำการเตรียมดังตาราง ก.2 โดยใช้สัดส่วนระหว่างสาร A, B และเติมน้ำกลั่นตามตาราง ทั้งนี้เมื่อทำการเตรียมแล้วเสร็จ จะทำการวัด pH เพื่อยืนยันค่า pH ที่ได้ต่อไป หาก pH ไม่เป็นไปตามต้องการ ทำการปรับ pH ด้วย Solution A หรือ B ต่อไป

ตารางที่ ก. 2 การเตรียม Tris-HCl buffer

pH	Solution A (mL)	Solution B (mL)	Distilled water (mL)
7.8	50	3.25	46.75
8	50	2.68	47.32
8.5	50	1.65	48.35
9	50	0.5	49.50

2. ขั้นตอนการเตรียมสารในการหาปริมาณการทำงานของเอนไซม์รวมของ creatinase ในน้ำยา R1

2.1 การเตรียม 50 mM phosphate buffer, pH 7.5

Solution A คือ KH_2PO_4 0.5 M (68.04 g L^{-1})

Solution B คือ K_2HPO_4 0.5 M (87.06 g L^{-1})

ในเตรียม 0.1M creatine solution ใช้ 50 mM phosphate buffer, pH 7.5 ในการละลาย creatine anhydrous ทำการเตรียม 50mM phosphate buffer, pH 7.5 ปริมาตร 200 mL โดยใช้สาร A ปริมาตร 3.3 mL, สาร B ปริมาตร 16.7 mL และเติมน้ำกลั่น 180.0 mL ทั้งนี้เมื่อทำการเตรียมแล้วเสร็จ จะทำการวัด pH เพื่อยืนยันค่า pH ที่ได้ หาก pH ไม่เป็นไปตามต้องการ ทำการปรับ pH ด้วย Solution A หรือ B ต่อไป

2.2 การเตรียม 0.1 M creatine solution (substrate solution)

เติม 50 mM phosphate buffer, pH 7.5 ปริมาตร 763 μL ลงใน creatine anhydrous 10 mg เพื่อให้ได้ 0.1 M creatinine solution โดยทำการเตรียมใหม่สำหรับการทดสอบในวันนั้นๆ

2.3 การเตรียม DAB solution

ชั่งสาร *p* - dimethylaminobenzaldehyde (DAB) 2.0 g ละลายใน dimethylsulfoxide (DMSO) 100 mL จากนั้นเติม 37% Hydrochloric acid (HCl) ปริมาตร 15 mL

ตารางที่ ก. 3 ผลการทดสอบค่าความคงตัว (stability) ของ enz-PAD

วันที่	%Stability	
	5	20
0	100.00 ± 0.76	100.00 ± 0.64
1	99.78 ± 0.37	94.80 ± 1.10
2	97.80 ± 1.14	95.02 ± 1.43
3	96.81 ± 0.22	94.44 ± 1.01
4	89.06 ± 0.44	93.57 ± 1.77
5	88.89 ± 0.35	91.34 ± 0.90
6	86.25 ± 0.41	87.58 ± 1.43
7	85.10 ± 0.53	85.49 ± 0.24
8	86.20 ± 2.24	87.03 ± 1.84
9	84.27 ± 3.21	85.35 ± 1.91
10	78.33 ± 1.11	81.86 ± 2.08
11	76.89 ± 1.71	79.04 ± 0.80
12	76.73 ± 0.98	77.06 ± 0.67
13	76.73 ± 1.17	73.99 ± 1.63
14	76.89 ± 0.47	73.87 ± 2.91
15	75.92 ± 0.46	68.95 ± 2.74
16	75.60 ± 0.72	64.02 ± 2.30
17	75.60 ± 3.59	76.40 ± 1.56
18	74.80 ± 0.44	70.69 ± 1.52
19	72.55 ± 0.40	71.05 ± 1.11
20	70.47 ± 0.44	75.98 ± 0.95

หมายเหตุ (**) หมายถึง ทำซ้ำ 3 ครั้ง

ตารางที่ ก. 4 ผลการตรวจวัดปริมาณครีเอทีนินในปัสสาวะเปรียบเทียบระหว่างวิธี Kinetic alkaline picrate method และ Enzymatic paper-based device

Samples (n = 40)	Kinetic alkaline	Enzymatic	% Difference
	picrate method (mg dL ⁻¹ ± SD ^a)	paper-based device (mg dL ⁻¹ ± SD ^b)	
Sample 1	87.79 ± 8.61	90.82 ± 0.88	3.45
Sample 2	341.22 ± 24.83	305.50 ± 7.21	-10.47
Sample 3	76.34 ± 0.00	58.22 ± 5.53	-23.74
Sample 4	142.75 ± 11.88	128.21 ± 10.63	-10.19
Sample 5	81.68 ± 5.40	79.47 ± 6.68	-2.71
Sample 6	140.00 ± 2.18	140.22 ± 12.43	0.15
Sample 7	120.93 ± 6.58	102.33 ± 7.51	-15.38
Sample 8	138.46 ± 6.53	115.00 ± 9.99	-16.94
Sample 9	100.00 ± 8.08	102.21 ± 6.18	2.21
Sample 10	90.00 ± 0.00	61.35 ± 3.99	-31.83
Sample 11	139.68 ± 13.47	121.63 ± 11.41	-12.93
Sample 12	77.78 ± 4.49	57.98 ± 3.25	-25.46
Sample 13	215.87 ± 20.20	223.02 ± 6.43	3.31
Sample 14	307.94 ± 24.69	318.87 ± 7.74	3.55
Sample 15	72.39 ± 1.06	62.18 ± 3.94	-14.10
Sample 16	119.40 ± 0.00	109.57 ± 6.50	-8.23
Sample 17	47.76 ± 2.11	44.51 ± 3.58	-6.80
Sample 18	114.18 ± 5.28	102.77 ± 1.11	-9.99
Sample 19	122.14 ± 1.01	120.65 ± 2.74	-1.22
Sample 20	52.99 ± 1.06	39.12 ± 2.86	-26.18
Sample 21	77.16 ± 4.45	52.62 ± 5.14	-31.80
Sample 22	155.00 ± 1.01	138.32 ± 2.32	-10.76

ตารางที่ ก.4 ผลการตรวจวัดปริมาณครีเอทีนินในปัสสาวะเปรียบเทียบระหว่างวิธี Kinetic alkaline picrate method และ Enzymatic paper-based device (ต่อ)

Samples (n = 40)	Kinetic alkaline	Enzymatic	% Difference
	picrate method (mg dL ⁻¹ ± SD ^a)	paper-based device (mg dL ⁻¹ ± SD ^b)	
Sample 23	28.36 ± 2.11	25.90 ± 2.58	-8.67
Sample 24	42.54 ± 3.17	28.76 ± 1.57	-32.39
Sample 25	101.47 ± 2.08	83.28 ± 4.54	-17.93
Sample 26	207.14 ± 0.00	200.47 ± 4.94	-3.22
Sample 27	49.26 ± 1.04	45.36 ± 5.23	-7.92
Sample 28	121.64 ± 5.28	107.43 ± 10.70	-11.68
Sample 29	100.71 ± 1.01	113.57 ± 2.98	12.76
Sample 30	118.38 ± 3.12	88.66 ± 2.49	-25.11
Sample 31	339.29 ± 5.05	323.98 ± 10.35	-4.51
Sample 32	158.57 ± 4.04	129.47 ± 13.32	-18.35
Sample 33	132.86 ± 2.02	143.74 ± 9.16	8.19
Sample 34	135.00 ± 5.05	113.41 ± 9.90	-15.99
Sample 35	121.43 ± 4.04	134.90 ± 7.61	11.09
Sample 36	223.65 ± 0.96	212.04 ± 8.61	-5.19
Sample 37	258.11 ± 1.91	235.93 ± 8.13	-8.59
Sample 38	277.03 ± 17.20	268.32 ± 6.66	-3.14
Sample 39	307.43 ± 18.16	307.79 ± 7.01	0.12
Sample 40	245.27 ± 12.42	259.16 ± 17.00	5.66
Mean	144.74	134.92	-6.78

หมายเหตุ (*) หมายถึง ทำซ้ำ 2 ครั้ง

(**) หมายถึง ทำซ้ำ 3 ครั้ง

ตารางที่ ก. 5 ผลการตรวจวัดปริมาณครีเอทีนินในปัสสาวะเปรียบเทียบระหว่างวิธี Colorimetric enzymatic method (automatic analyser) และ Enzymatic paper-based device

Samples (n = 50)	Colorimetric		% Difference
	enzymatic method (mg dL ⁻¹) (automatic analyser)	Enzymatic paper-based device (mg dL ⁻¹ ± SD ^a)	
Sample 1	67.73	67.34 ± 0.77	-0.58
Sample 2	249.83	206.74 ± 5.53	-17.25
Sample 3	43.01	47.53 ± 3.54	10.51
Sample 4	169.15	159.06 ± 9.81	-5.97
Sample 5	95.17	± 89.504.41	-5.95
Sample 6	93.84	85.11 ± 8.12	-9.31
Sample 7	72.09	66.43 ± 4.81	-7.85
Sample 8	23.98	± 22.701.11	-5.32
Sample 9	16.14	± 14.070.92	-12.82
Sample 10	124.19	± 113.4710.34	-8.63
Sample 11	96.37	95.55 ± 1.93	-0.85
Sample 12	137.8	123.02 ± 2.48	-10.73
Sample 13	184.89	± 180.3010.55	-2.48
Sample 14	88.62	82.78 ± 2.83	-6.60
Sample 15	174.47	± 157.525.95	-9.71
Sample 16	171.6	± 151.213.95	-11.88
Sample 17	93.18	84.45 ± 6.73	-9.37
Sample 18	102.1	± 102.193.44	0.09
Sample 19	88.16	81.20 ± 8.06	-7.90

ตารางที่ ก.5 ผลการตรวจวัดปริมาณครีเอทีนในปัสสาวะเปรียบเทียบระหว่างวิธี Colorimetric enzymatic method (automatic analyser) และ Enzymatic paper-based device (ต่อ)

Samples (n = 50)	Colorimetric		% Difference
	enzymatic method (mg dL ⁻¹) (automatic analyser)	Enzymatic paper-based device (mg dL ⁻¹ ± sd ^a)	
Sample 20	78.98	± 85.729.09	8.53
Sample 21	89.33	± 78.813.31	-11.78
Sample 22	105.49	100.88 ± 7.91	-4.37
Sample 23	13.45	± 14.021.32	4.26
Sample 24	182.94	162.37 ± 2.20	-11.25
Sample 25	226.84	206.64 ± 8.32	-8.91
Sample 26	65	117.05 ± 4.01	80.08
Sample 27	214	231.32 ± 15.76	8.09
Sample 28	52	70.60 ± 7.06	35.77
Sample 29	115	145.71 ± 7.80	26.71
Sample 30	123	97.32 ± 3.17	-20.88
Sample 31	31	29.69 ± 2.96	-4.22
Sample 32	149	115.01 ± 6.55	-22.81
Sample 33	29	37.49 ± 3.16	29.26
Sample 34	97	50.97 ± 4.18	-47.45
Sample 35	168	143.74 ± 11.19	-14.44
Sample 36	210	162.52 ± 6.43	-22.61
Sample 37	81	79.51 ± 7.50	-1.84
Sample 38	180	173.88 ± 5.07	-3.40

ตารางที่ ก.5 ผลการตรวจวัดปริมาณครีเอทีนในปัสสาวะเปรียบเทียบระหว่างวิธี Colorimetric enzymatic method (automatic analyser) และ Enzymatic paper-based device (ต่อ)

Samples (n = 50)	Colorimetric		% Difference
	enzymatic method (mg dL ⁻¹) (automatic analyser)	Enzymatic paper-based device (mg dL ⁻¹ ± sd ^a)	
Sample 39	82	77.05 ± 4.25	-6.03
Sample 40	108	117.20 ± 9.91	8.51
Sample 41	236	257.71 ± 5.85	9.20
Sample 42	69	102.96 ± 4.51	49.22
Sample 43	48	80.16 ± 6.63	67.00
Sample 44	333	322.01 ± 9.85	-3.30
Sample 45	50	83.21 ± 7.80	66.42
Sample 46	58	90.05 ± 8.87	55.26
Sample 47	104	106.95 ± 4.47	2.84
Sample 48	69	57.32 ± 5.52	-16.93
Sample 49	68	86.00 ± 2.70	26.47
Sample 50	45	41.59 ± 1.20	-7.58
Mean	111.47	109.11	-2.12

หมายเหตุ (***) หมายถึง ทำซ้ำ 3 ครั้ง

ประวัติผู้เขียนวิทยานิพนธ์

นางสาวขวัญฤทัย ตาละลักษณ์ เกิดเมื่อวันที่ 29 มีนาคม 2532 ที่จังหวัดเพชรบุรี สำเร็จ การศึกษาระดับปริญญาวิทยาศาสตรบัณฑิต (เทคนิคการแพทย์) เกียรตินิยมอันดับ 2 จุฬาลงกรณ์ มหาวิทยาลัย ในปีการศึกษา 2554 และเข้าศึกษาต่อระดับบัณฑิตศึกษา หลักสูตรชีวเคมีคลินิก และอนุทางการแพทย์ คณะสหเวชศาสตร์ จุฬาลงกรณ์มหาวิทยาลัย ในปีการศึกษา 2555 ซึ่ง ในขณะที่ศึกษานั้นได้รับทุนอุดหนุนการศึกษาเฉพาะค่าเล่าเรียนจากคณะสหเวชศาสตร์ จุฬาลงกรณ์ มหาวิทยาลัย

ผลงานวิจัย:

(1) Songjaroen, T.; Noiphung, J.; Hongwarittorn, I.; Talalak, K.; Laiwattanapaisal, W. Assay time reduction and thermal stability improvement of a low-cost, wax-dipping paper-based microfluidic device. *Journal of Chemical & Pharmaceutical Research*. 6 (2014).

(2) Noiphung, J.; Talalak, K.; Hongwarittorn, I.; Pupinyo, N.; Thirabowonkitphithan, P.; Laiwattanapaisal, W. A novel paper-based assay for the simultaneous determination of Rh typing and forward and reverse ABO blood groups. *Biosensors and Bioelectronics*. 67 (2015): 485-489.

(3) Talalak, K.; Noiphung, J.; Songjaroen, T.; Chailapakul, O.; Laiwattanapaisal, W. A facile low-cost enzymatic paper-based assay for the determination of urine creatinine. *Talanta*. 144 (2015) 915–921.